



รายงานการวิจัย

ผลของร่องโรเตอร์มาตรฐานของมอเตอร์เหนี่ยวนำสามเฟส

ที่มีต่อการสั่นสะเทือนทางกล

(Effects of the Standard Rotor Slots of Three-phase Induction Motors  
on Mechanical Vibration)

ได้รับทุนอุดหนุนการวิจัยจาก

มหาวิทยาลัยเทคโนโลยีสุรนารี

ผลงานวิจัยเป็นความรับผิดชอบของหัวหน้าโครงการวิจัยแต่เพียงผู้เดียว



## รายงานการวิจัย

# ผลของร่องโรเตอร์มาตรฐานของมอเตอร์เหนี่ยวนำสามเฟส ที่มีต่อการสั่นสะเทือนทางกล (Effects of the Standard Rotor Slots of Three-phase Induction Motors on Mechanical Vibration)

คณะผู้วิจัย

หัวหน้าโครงการ

ศาสตราจารย์ น.ท. ดร.สรารุณี สุจิตจร

สาขาวิชาวิศวกรรมไฟฟ้า

สำนักวิชาวิศวกรรมศาสตร์

มหาวิทยาลัยเทคโนโลยีสุรนารี

ผู้ร่วมวิจัย

นายเผด็จ เผ่าละออ

ได้รับทุนอุดหนุนการวิจัยจากมหาวิทยาลัยเทคโนโลยีสุรนารี ปีงบประมาณ พ.ศ. 2549

ผลงานวิจัยเป็นความรับผิดชอบของหัวหน้าโครงการวิจัยแต่เพียงผู้เดียว

ตุลาคม 2549

## กิตติกรรมประกาศ

ขอขอบคุณมหาวิทยาลัยเทคโนโลยีสุรนารีที่ได้สนับสนุนทุนวิจัยสำหรับโครงการนี้ โดยการวิจัยครั้งนี้ได้รับทุนอุดหนุนการวิจัยจากมหาวิทยาลัยเทคโนโลยีสุรนารี ปีงบประมาณ 2549

## บทคัดย่อ

โครงการวิจัยนี้ นำเสนอแบบจำลองทางคณิตศาสตร์พร้อมการจำลองผลสนามแม่เหล็กและการสันสะเทือนทางกลในมอเตอร์เหนี่ยวนำสามเฟสชนิดกรงกระรอก เพื่อใช้เปรียบเทียบขนาดของการสันสะเทือนทางกลเมื่อพิจารณารูปร่างร่องโรเตอร์แบบต่างๆ ตามมาตรฐาน IEEE ที่มีเกณฑ์ขนาดพื้นที่หน้าตัดของร่องโรเตอร์มีค่าเท่ากัน โดยพิจารณาแหล่งจ่ายไฟที่จ่ายเข้ามอเตอร์เป็นรูปคลื่นไซน์ บริสุทธิ์อื่นเป็นแหล่งจ่ายพื้นฐาน การจำลองผลได้ใช้วิธีไฟไนท์อีลิเมนต์ร่วมกับกระบวนการนิวตัน-ราฟสันเป็นเครื่องมือแก้สมการ ไม่เชิงเส้นที่มีการเปลี่ยนแปลงตามเวลา เพื่อศึกษาถึงแรงแม่เหล็กไฟฟ้าที่กระจายอยู่บนพื้นที่หน้าตัดของมอเตอร์อันเป็นต้นเหตุของการสันสะเทือนทางกลในมอเตอร์ แม้ว่าจะไม่ใช่เหตุผลเดียวก็ตาม การสันสะเทือนมีขนาดค่าที่สุดเมื่อใช้ร่องโรเตอร์ที่มีความลึกตื้นที่สุด เนื่องจากโรเตอร์ที่มีร่องตื้นจะมีโอกาสเกิดเส้นแรงแม่เหล็กรั่วต่ำ ซึ่งเส้นแรงแม่เหล็กรั่วเป็นตัวการให้แรงแม่เหล็กไฟฟ้ามีขนาดและฮาร์มอนิกที่สูงขึ้น

## ABSTRACT

This research presents the development of mathematical models and simulation of magnetic field, and mechanical vibration in a three-phase squirrel-cage induction motor. Its aim is to compare the vibration magnitude when the motor possesses different rotor-slot geometrical shapes. The cross sectional areas of all slot shapes are kept equally constant according to the IEEE standard. Under an assumption of sinusoidal motor excitation, the simulation works employ the FEM and the Newton-Raphson method to solve time varying nonlinear equations. The numerical solutions obtained indicate the electromagnetic force distribution over the motor cross sectional area. Such forces cause mechanical vibration in the motor, however, not a sole reason. The shallowest rotor slot results in the minimum vibration because it introduces the least magnetic flux leakage. This leakage relates to the amount of harmonic and the magnitude of the electromagnetic force.

## สารบัญ

	หน้า
กิตติกรรมประกาศ.....	ก
บทคัดย่อภาษาไทย.....	ข
บทคัดย่อภาษาอังกฤษ.....	ค
สารบัญ.....	ง
สารบัญตาราง.....	ฉ
สารบัญรูป.....	ช
บทที่ 1 บทนำ.....	1
1.1 ความสำคัญและที่มาของปัญหาการวิจัย.....	1
1.2 วัตถุประสงค์ของการวิจัย.....	3
1.3 ข้อตกลงเบื้องต้น.....	3
1.4 ขอบเขตของการวิจัย.....	3
1.5 ประโยชน์ที่ได้รับจากการวิจัย.....	4
1.6 การจัดรูปเล่มรายงานการวิจัย.....	4
บทที่ 2 การคำนวณสนามแม่เหล็กของมอเตอร์เหนี่ยวนำโดยวิธีไฟไนท์อิลิเมนต์.....	5
2.1 บทนำ.....	5
2.2 แบบจำลองทางคณิตศาสตร์ของสนามแม่เหล็ก.....	5
2.3 การคำนวณสนามแม่เหล็กโดยวิธีไฟไนท์อิลิเมนต์.....	7
2.3.1 การแบ่งอิลิเมนต์ของพื้นที่ศึกษา.....	7
2.3.2 ฟังก์ชันการประมาณภายในอิลิเมนต์.....	8
2.3.3 การสร้างสมการของอิลิเมนต์.....	9
2.3.4 การแก้ปัญหาภายใต้สถานะชั่วคราว.....	14
2.3.5 การแก้ปัญหาแบบไม่เป็นเชิงเส้น.....	15
2.3.6 การประกอบสมการอิลิเมนต์ขึ้นเป็นระบบ.....	17
2.3.7 ประยุกต์เงื่อนไขเริ่มต้นและเงื่อนไขขอบเขตพร้อมหาผลเฉลย.....	17
2.3.8 คำนวณค่าตัวแปรอื่นที่ต้องการ.....	18
2.4 สรุป.....	19

## สารบัญ (ต่อ)

	หน้า
บทที่ 3 การคำนวณการสันสะเทือนทางกลของมอเตอร์เหนี่ยวนำโดยวิธีไฟไนต์อิลิเมนต์.....	20
3.1 บทนำ.....	20
3.2 การคำนวณการสันสะเทือน โดยวิธีไฟไนต์อิลิเมนต์.....	20
3.2.1 การแบ่งอิลิเมนต์ของพื้นที่ศึกษา.....	20
3.2.2 ฟังก์ชันการประมาณภายในและสมการของอิลิเมนต์.....	21
3.3 การหาผลเฉลยสำหรับการสันสะเทือน.....	26
3.4 สรุป.....	27
บทที่ 4 โปรแกรมจำลองผลสนามแม่เหล็กและการสันสะเทือนทางกลของมอเตอร์เหนี่ยวนำ.....	28
4.1 บทนำ.....	28
4.2 พารามิเตอร์ของมอเตอร์.....	28
4.3 โครงสร้างของโปรแกรมจำลองผล.....	30
4.3.1 โปรแกรมสร้างกริดอัตโนมัติ.....	30
4.3.2 โปรแกรมคำนวณสนามแม่เหล็ก.....	31
4.3.3 โปรแกรมคำนวณการสันสะเทือน.....	34
4.4 สรุป.....	36
บทที่ 5 การศึกษาและวิเคราะห์ผลของการสันสะเทือนทางกลในมอเตอร์เมื่อพิจารณา รูปร่างร่องโรเตอร์แบบต่างๆ ตามมาตรฐาน IEEE.....	37
5.1 บทนำ.....	37
5.2 ผลของสนามแม่เหล็กและการสันสะเทือนทางกล.....	38
5.3 อภิปรายและสรุป.....	44
บทที่ 6 สรุปและข้อเสนอแนะ.....	47
6.1 สรุป.....	47
6.2 ข้อเสนอแนะงานวิจัยในอนาคต.....	48
บรรณานุกรม.....	50
ภาคผนวก	
การเผยแพร่ผลงานวิจัย.....	54
ประวัติผู้วิจัย.....	55

## สารบัญตาราง

ตารางที่	หน้า
4.1 พารามิเตอร์ทางไฟฟ้าและทางกลของมอเตอร์เหนี่ยวนำสามเฟส.....	29
5.1 ค่า THD ของแรงแม่เหล็กไฟฟ้าเมื่อพิจารณาร่องโรเตอร์ทั้ง 7 แบบ.....	42
5.2 ขนาดของการสั่นสะเทือนในมอเตอร์เมื่อพิจารณาร่องโรเตอร์ทั้ง 7 แบบ.....	44
5.3 อันดับขนาดของการสั่นสะเทือนในมอเตอร์เมื่อพิจารณาร่องโรเตอร์ทั้ง 7 แบบ.....	45



สารบัญรูป

รูปที่	หน้า
2.1 การแบ่งอิลิเมนต์และจุดต่อบนพื้นที่หน้าตัดของมอเตอร์.....	8
3.1 การแบ่งอิลิเมนต์และจุดต่อของมอเตอร์เพื่อคำนวณการสันสะท้อน.....	21
3.2 อิลิเมนต์สามเหลี่ยมเมื่อพิจารณาขนาดพิกัดวงกว้าง.....	22
3.3 อิลิเมนต์สามเหลี่ยมเมื่อพิจารณาขนาดพิกัดเฉพาะถิ่น.....	23
4.1 ภาคตัดส่วนหนึ่งของมอเตอร์เหนี่ยวนำและมิติ (mm).....	28
4.2 ภาคตัดของร่องสเตเตอร์และมิติ (mm).....	30
4.3 แผนภูมิแสดงการทำงานของโปรแกรมคำนวณสนามแม่เหล็ก.....	32
4.4 แผนภูมิแสดงการทำงานของโปรแกรมคำนวณการสันสะท้อน.....	35
5.1 ภาคตัดและมิติ (mm) ของร่องโรเตอร์แบบต่างๆ ทั้ง 7 แบบ ตามมาตรฐาน IEEE.....	38
5.2 เส้นแรงแม่เหล็กเมื่อพิจารณาร่องโรเตอร์แบบที่ 1 เมื่อโรเตอร์หมุนไป.....	39
5.3 แรงแม่เหล็กไฟฟ้าและสเปกตรัมทางขนาดเมื่อพิจารณาร่องโรเตอร์แบบที่ 1 ที่กระทำกับ พื้นสเตเตอร์.....	40
5.4 การกระจายตัวของแรงแม่เหล็กไฟฟ้าเมื่อพิจารณาร่องโรเตอร์แบบที่ 1.....	42
5.5 การบิดเบี้ยวของวงรอบด้านในสเตเตอร์ขณะที่โรเตอร์หมุนเมื่อพิจารณาร่องโรเตอร์แบบที่ 1.....	43

# บทที่ 1

## บทนำ

### 1.1 ความสำคัญและที่มาของปัญหาการวิจัย

การสั่นสะเทือน คือปรากฏการณ์ของการเคลื่อนที่กลับไปกลับมาของวัตถุจากอิทธิพลของแรงกระทำ ซึ่งอาจเป็นแรงกระทำจากภายในที่ก่อให้เกิดการสั่นสะเทือนแบบอิสระ (free vibration) โดยสั่นด้วยความถี่ธรรมชาติ ซึ่งอาจจะมีค่าเดียวหรือหลายค่าก็ได้ ทั้งนี้ขึ้นอยู่กับธรรมชาติของระบบ หรือเป็นแรงกระทำจากภายนอกที่ก่อให้เกิดการสั่นสะเทือนแบบบังคับ (forced vibration) โดยสั่นด้วยความถี่เท่ากับความถี่ของแรงภายนอกที่มากระทำ และถ้าความถี่ของแรงที่มากระทำเท่ากับความถี่ธรรมชาติ จะทำให้เกิดปรากฏการณ์เรโซแนนซ์ (resonance) นั่นคือขนาดของการสั่นสะเทือนจะถูกขยายขึ้นจนทำให้เกิดความเสียหายแก่ระบบได้ โดยทั่วไปการสั่นสะเทือนมักเป็นสิ่งที่ไม่ต้องการ แต่หลีกเลี่ยงไม่ได้ อย่างดีที่สุดคือพยายามจำกัดขนาดของการสั่นสะเทือนให้อยู่ภายในขอบเขตที่ยอมรับได้ สำหรับมอเตอร์เหนี่ยวนำการสั่นสะเทือนทางกลอาจเกิดจากหลายสาเหตุได้แก่ ความไม่สัมพันธ์กันระหว่างจำนวนร่องของสเตเตอร์และโรเตอร์ การเอียงศูนย์กลางของโรเตอร์ทั้งแบบสถิต (static eccentricity) และแบบพลวัต (dynamic eccentricity) และการนำอินเวอร์เตอร์มาใช้ปรับเปลี่ยนค่าความเร็วรอบแล้วส่งผลให้กระแสและแรงดันที่จ่ายเข้ามอเตอร์มีฮาร์มอนิกปะปนอยู่มาก สาเหตุต่างๆ เหล่านี้อาจเกิดขึ้นได้จากการออกแบบและการผลิตที่ไม่ได้มาตรฐาน ความเสื่อมสภาพตามอายุการใช้งาน ธรรมชาติของเทคโนโลยีการขับเคลื่อน หรือเกิดจากปัจจัยภายนอกอื่นๆ ซึ่งสาเหตุต่างๆ เหล่านี้ย่อมส่งผลกระทบต่อการกระจายตัวที่ไม่สมดุลของสนามแม่เหล็กในมอเตอร์ แล้วส่งผลให้เกิดการสั่นสะเทือนขึ้น ทำให้มีการสูญเสียทางกล สมรรถนะในการทำงานและอายุการใช้งานของมอเตอร์ลดลง อย่างไรก็ตาม ณ ปัจจุบันสำหรับประเทศไทย ปัญหาเรื่องการสั่นสะเทือนทางกลที่เกิดขึ้นในมอเตอร์เหนี่ยวนำซึ่งเป็นที่นิยมใช้กันอย่างแพร่หลาย คงยังถูกมองข้ามและขาดการเอาใจใส่อย่างจริงจัง

ปัญหาทางด้านวิศวกรรมศาสตร์ส่วนใหญ่ สามารถใช้การอธิบายด้วยสมการอนุพันธ์ (differential equation) หรือสมการอินทิกรัล (integral equation) สมการอนุพันธ์บางรูปแบบอาจหาผลเฉลยแม่นยำตรงได้ยากหรือทำไม่ได้ จึงจำเป็นต้องใช้วิธีการหาผลเฉลยโดยประมาณ ซึ่งวิธีการหาผลเฉลยโดยประมาณนั้นมีหลายวิธี วิธีที่ได้รับความนิยมกันอย่างกว้างขวางในอดีตที่ผ่านมาคือ วิธีผลต่างสืบเนื่อง (finite difference method) ซึ่งเป็นวิธีการที่ง่ายแก่การศึกษาและการทำความเข้าใจ รวมไปถึงความสะดวกในการเขียนโปรแกรมคอมพิวเตอร์ ส่วนข้อเสียของการใช้วิธีผลต่างสืบเนื่องมีหลายประการเช่น ความไม่สะดวกในการกำหนดเงื่อนไขขอบเขต และที่สำคัญที่สุดคือ ความ

ยากลำบากในการประยุกต์วิธีการนี้เพื่อใช้กับปัญหาที่มีรูปร่างลักษณะที่ซับซ้อน อย่างเช่น โครงสร้างหรือชิ้นส่วนต่างๆ ของเครื่องจักรกลไฟฟ้า สาเหตุของความยากลำบากดังกล่าวมีส่วนก่อให้เกิดวิธีการหาผลเฉลยโดยประมาณวิธีใหม่ที่เรียกว่า วิธีไฟไนต์เอลิเมนต์ (finite element method: FEM) ซึ่งวิธีนี้สามารถนำมาใช้กับปัญหาที่มีรูปร่างลักษณะซับซ้อนใดๆ ก็ได้ โดยสามารถจำลองรูปร่างลักษณะดั้งเดิมที่แท้จริงได้ใกล้เคียงและเที่ยงตรงกว่า วิธีไฟไนต์เอลิเมนต์ มีวิวัฒนาการมาตั้งแต่ต้นปี ค.ศ. 1950 ปัจจุบันเป็นวิธีการคำนวณเชิงตัวเลขวิธีหนึ่งที่ได้รับคามนิยมมาก เนื่องจากปัจจุบันคอมพิวเตอร์มีความเร็วสูงและมีหน่วยความจำขนาดใหญ่ ทำให้สามารถคำนวณงานต่างๆ ด้วยวิธีไฟไนต์เอลิเมนต์ได้ง่ายและรวดเร็วขึ้น ในปัจจุบันได้มีการนำวิธีไฟไนต์เอลิเมนต์มาประยุกต์ใช้กับงานทางด้านวิศวกรรมแทบทุกสาขา เนื่องจากสามารถหาผลเฉลยได้แม้กระทั่งปัญหาที่ไม่เป็นเชิงเส้นและปัญหาที่มีการผันแปรตามเวลา ดังนั้นการวิเคราะห์ผลของการสั่นสะเทือนที่เกิดจากการออกแบบชิ้นงานที่มีรูปร่างลักษณะที่ซับซ้อน ซึ่งอาจจะประกอบขึ้นด้วยวัสดุหลายชนิดที่มีลักษณะสมบัติที่แตกต่างกัน หรือมีค่าเงื่อนไขขอบเขตหลายอย่างผสมกันอยู่ในระบบ จึงมีความจำเป็นอย่างยิ่งที่ต้องนำวิธีไฟไนต์เอลิเมนต์มาใช้ดำเนินการ

งานวิจัยที่นำเสนอนี้ สนใจมอเตอร์เหนี่ยวนำ 3 เฟส 4 ขั้ว ชนิดกรงกระรอก (squirrel cage) โดยดำเนินการศึกษารูปร่างร่องโรเตอร์ (rotor slot) แบบต่างๆ ตามมาตรฐาน IEEE ที่มีผลต่อการสั่นสะเทือนทางกลในมอเตอร์ เนื่องจากงานพัฒนาทางวิศวกรรมในอดีตเน้นการออกแบบร่องโรเตอร์ โดยพิจารณาถึงแต่คุณลักษณะของแรงบิดเอาต์พุตที่จะนำไปใช้งานตามประเภทต่างๆ ได้เหมาะสม โดยอาจมิได้คำนึงถึงการสั่นสะเทือนทางกลที่เกิดขึ้นได้เป็นผลสืบเนื่อง การดำเนินงานวิจัยนี้ อาศัยแบบจำลองทางคณิตศาสตร์ของสนามแม่เหล็กและแบบจำลองทางคณิตศาสตร์ของการสั่นสะเทือนในมอเตอร์เหนี่ยวนำ ซึ่งใช้การจำลองผลโดยวิธีไฟไนต์เอลิเมนต์ทั้งการคำนวณหาสนามแม่เหล็กและการคำนวณหาขนาดของการสั่นสะเทือน เพื่อศึกษาถึงการกระจายตัวของฟลักซ์แม่เหล็ก ณ ตำแหน่งต่างๆ บนพื้นที่หน้าตัดของมอเตอร์เมื่อโรเตอร์หมุนไป เพื่อใช้ในการคำนวณหาแรงแม่เหล็กไฟฟ้าที่มีผลต่อการสั่นสะเทือนในมอเตอร์เหนี่ยวนำ โดยพิจารณามอเตอร์เหนี่ยวนำแบบ 2 มิติ (ระนาบ xy) ซึ่งมีการแปรผันตามเวลา และพิจารณาคุณสมบัติความไม่เป็นเชิงเส้นของวัสดุที่ใช้ทำมอเตอร์ประกอบด้วย การประดิษฐ์ไฟไนต์เอลิเมนต์ขึ้นเป็นโปรแกรมคอมพิวเตอร์ด้วย BORLAND C++<sup>TM</sup> เพื่อคำนวณค่าสนามแม่เหล็กและขนาดของการสั่นสะเทือน โดยรับค่าอินพุตซึ่งเป็นคุณลักษณะของจุดต่อและเอลิเมนต์จากการสร้างกริดอัตโนมัติโดยใช้โปรแกรม MATLAB<sup>TM</sup> และส่งค่าผลลัพธ์ที่ได้ให้โปรแกรม MATLAB<sup>TM</sup> เพื่อแสดงผลด้วยภาพกราฟฟิก

## 1.2 วัตถุประสงค์ของการวิจัย

- สร้างองค์ความรู้ด้านการสันสะเทือนทางกลของมอเตอร์เหนี่ยวนำ ที่เป็นผลจากการออกแบบรูปร่างร่องโรเตอร์แบบต่างๆ ตามมาตรฐานของ IEEE
- พัฒนาโปรแกรมไฟไนท์อีลิเมนต์สำหรับคำนวณค่าสนามแม่เหล็กและขนาดของการสันสะเทือนในมอเตอร์เหนี่ยวนำ
- พัฒนาคณิตศาสตร์ใหม่และบุคลากรทางด้านการวิเคราะห์และออกแบบมอเตอร์เหนี่ยวนำสามเฟสด้วยเทคนิคการคำนวณขั้นสูง

## 1.3 ข้อตกลงเบื้องต้น

- แรงแม่เหล็กไฟฟ้าที่กระทำกับช่องอากาศระหว่างโรเตอร์กับสเตเตอร์เป็นปัจจัยสำคัญที่ส่งผลต่อการสันสะเทือนทางกลในมอเตอร์เหนี่ยวนำ
- มอเตอร์อยู่ในสภาพที่สมบูรณ์ โดยไม่มีการเอียงศูนย์กลางของโรเตอร์ และตามปกติไม่ปรากฏการสันสะเทือนทางกลใดๆ ทั้งสิ้น
- การศึกษารูปร่างร่องโรเตอร์ จะพิจารณาเฉพาะ โรเตอร์แบบกึ่งปิด (semiclosed) ตามมาตรฐานของ IEEE
- กำหนดให้การวางตัวของขดลวดสเตเตอร์เต็มร่องสเตเตอร์ตลอดทั้งชั้นบนและชั้นล่างของร่องสเตเตอร์ เมื่อพิจารณาการพันของขดลวดเป็นแบบสองชั้น (double layer winding)
- ไม่คำนึงถึงบริเวณตัวนำรูปวงแหวน (end ring) ที่ยึดอยู่ที่ปลายทั้งสองด้านของแท่งตัวนำ (rotor bar) และไม่คำนึงถึงร่องเฉียง (skewed slot) ของโรเตอร์
- วัสดุที่ใช้ทำมอเตอร์มีคุณสมบัติความเป็นไอโซทรอปิก (isotropic) และความเป็นเนื้อเดียวกัน (homogeneous) ประกอบกับมอเตอร์ทำงานที่อุณหภูมิห้องคงที่ จึงยังไม่พิจารณาผลจากการขยายตัวของวัสดุ
- พิจารณาเส้นโค้งความสัมพันธ์ของแม่เหล็ก (B-H curve) แบบไม่เป็นเชิงเส้นมีการอิ่มตัว แต่ไม่ปรากฏฮิสเทอรีซิส (hysteresis)

## 1.4 ขอบเขตของการวิจัย

- ใช้ C compiler และ MATLAB เพื่อพัฒนาโปรแกรมไฟไนท์อีลิเมนต์สำหรับวิเคราะห์ปัญหาสนามแม่เหล็กและการสันสะเทือนในมอเตอร์เหนี่ยวนำ
- พิจารณามอเตอร์เหนี่ยวนำ 3φ, 4P ชนิดกรงกระรอก พันขดลวดแบบสองชั้น พิกัด 3 แรงม้า เพื่อศึกษาถึงรูปร่างร่องโรเตอร์แบบต่างๆ ตามมาตรฐานของ IEEE ที่มีผลต่อการสันสะเทือนใน

มอเตอร์ โดยกำหนดให้จำนวนร่องสเตเตอร์และโรเตอร์มีค่าคงที่เท่ากับ 36 ร่อง และ 44 ร่อง ตามลำดับ ซึ่งเป็นจำนวนที่ผ่านการออกแบบอย่างเหมาะสมมาแล้วจากงานวิจัยในอดีต

- วิธีไฟไนท์อิลิเมนต์ที่ใช้ในการวิเคราะห์การสั่นสะเทือนเป็นแบบ 2 มิติ
- พิจารณาการสั่นสะเทือนทางข้าง (lateral vibration) ของมอเตอร์เท่านั้น

### 1.5 ประโยชน์ที่ได้รับจากการวิจัย

- ได้โปรแกรมจำลองผลที่เกิดจากการพัฒนาโปรแกรมไฟไนท์อิลิเมนต์ที่สามารถนำไปประยุกต์ใช้เข้ากับปัญหาจริงในการออกแบบและวิเคราะห์การสั่นสะเทือนในมอเตอร์ ตลอดจนสามารถนำไปใช้เป็น CAI ประกอบการเรียนการสอนด้านสนามแม่เหล็กไฟฟ้า และเครื่องจักรกลไฟฟ้า
- ได้ข้อสรุปอันเป็นประโยชน์เกี่ยวกับลักษณะรูปร่างของร่องโรเตอร์แบบต่างๆ ตามมาตรฐานของ IEEE ที่ส่งผลต่อการสั่นสะเทือนทางกลของมอเตอร์เหนี่ยวนำ

### 1.6 การจัดรูปเล่มรายงานการวิจัย

รายงานการวิจัยนี้ประกอบด้วย 6 บท และ 1 ภาคผนวก บทที่ 1 เป็นบทนำ กล่าวถึงความ เป็นมาและความสำคัญของปัญหา วัตถุประสงค์และเป้าหมายของงานวิจัย รวมทั้งขอบเขตของ งานวิจัย ส่วนบทอื่นๆ ประกอบด้วยเนื้อหาดังต่อไปนี้

บทที่ 2 นำเสนอแบบจำลองทางคณิตศาสตร์ของสนามแม่เหล็กในมอเตอร์ และขั้นตอนต่างๆ ในการประยุกต์ใช้วิธีไฟไนท์อิลิเมนต์เพื่อคำนวณหาค่าสนามแม่เหล็กดังกล่าว

บทที่ 3 มีเนื้อหาว่าด้วย แบบจำลองทางคณิตศาสตร์ของการสั่นสะเทือนทางกลในมอเตอร์ และขั้นตอนต่างๆ ในการประยุกต์ใช้วิธีไฟไนท์อิลิเมนต์เพื่อคำนวณหาค่าการสั่นสะเทือนดังกล่าว

บทที่ 4 อธิบายถึง โปรแกรมการสร้างกริดอัตโนมัติประกอบกับ โปรแกรมจำลองผล สนามแม่เหล็กและการสั่นสะเทือนในมอเตอร์ โดยกล่าวถึงพารามิเตอร์ที่ใช้ในการจำลองผล และ โครงสร้างของโปรแกรมจำลองผล

บทที่ 5 กล่าวถึงผลลัพธ์ของการคำนวณค่าสนามแม่เหล็กและขนาดของการสั่นสะเทือนจาก โปรแกรมที่พัฒนาขึ้น เมื่อพิจารณารูปร่างของร่องโรเตอร์แบบต่างๆ ตามมาตรฐานของ IEEE พร้อมทั้งวิเคราะห์และอธิบายเหตุผลทางกายภาพของร่องโรเตอร์ ว่าส่งผลต่อการสั่นสะเทือนในมอเตอร์ อย่างไร

บทที่ 6 เป็นบทสรุปและข้อเสนอแนะ

ส่วนภาคผนวก เป็นการกล่าวถึงผลงานวิจัยที่ได้รับการตีพิมพ์เผยแพร่

## บทที่ 2

### การคำนวณสนามแม่เหล็กของมอเตอร์เหนี่ยวนำโดยวิธีไฟไนต์เอลิเมนต์

#### 2.1 บทนำ

วิธีไฟไนต์เอลิเมนต์ เป็นวิธีการคำนวณเชิงตัวเลขวิธีหนึ่งที่มีความนิยมมาก เนื่องจากปัจจุบันคอมพิวเตอร์มีความเร็วสูงและมีหน่วยความจำขนาดใหญ่ ทำให้สามารถคำนวณงานต่างๆ ด้วยวิธีไฟไนต์เอลิเมนต์ได้ง่ายและรวดเร็วขึ้น การคำนวณสนามแม่เหล็กในมอเตอร์เหนี่ยวนำที่มีความซับซ้อน จึงมีความจำเป็นอย่างยิ่งที่ต้องนำวิธีไฟไนต์เอลิเมนต์มาใช้ในการแก้ปัญหา ดังนั้นในบทนี้จึงได้นำเสนอแบบจำลองทางคณิตศาสตร์ของสนามแม่เหล็กในมอเตอร์เหนี่ยวนำ และประยุกต์วิธีไฟไนต์เอลิเมนต์เพื่อใช้ในการคำนวณหาสนามแม่เหล็กนี้

#### 2.2 แบบจำลองทางคณิตศาสตร์ของสนามแม่เหล็ก

ในการคำนวณหาสนามแม่เหล็ก (magnetic field:  $\mathbf{B}$ ) สามารถดำเนินการได้โดยเลี้ยงไปคำนวณหาศักย์เชิงเวกเตอร์แม่เหล็ก (magnetic vector potential:  $\mathbf{A}$ ) ก่อน เนื่องจากสามารถคำนวณได้ง่ายกว่า โดยสนามแม่เหล็ก  $\mathbf{B}$  สามารถคำนวณได้ด้วยการเคิร์ลศักย์เชิงเวกเตอร์แม่เหล็ก  $\mathbf{A}$  ซึ่งสามารถแสดงได้ดังนี้

$$\mathbf{B} = \nabla \times \mathbf{A} \quad (2-1)$$

การคำนวณสนามแม่เหล็กในมอเตอร์เหนี่ยวนำจึงเริ่มจากการหาแบบจำลองทางคณิตศาสตร์ของสนามแม่เหล็ก ซึ่งตั้งต้นจากการศึกษาสนามแม่เหล็กไฟฟ้าที่เปลี่ยนแปลงค่าตามเวลา (William, 1989) โดยศึกษาได้จากกฎของฟาราเดย์ (Faraday's law) ที่กล่าวว่า สนามแม่เหล็กที่แปรผันตามเวลาจะเหนี่ยวนำให้เกิดสนามไฟฟ้า (electric field:  $\mathbf{E}$ ) ซึ่งแสดงได้ดังนี้

$$\nabla \times \mathbf{E} = -\frac{\partial \mathbf{B}}{\partial t} \quad (2-2)$$

แทนสมการที่ (2-1) ลงในสมการที่ (2-2) จะได้

$$\nabla \times \mathbf{E} = -\frac{\partial}{\partial t} \nabla \times \mathbf{A} \quad (2-3)$$

และจากกฎของแอมแปร์ (Ampere's law) ที่ใช้กับสนามที่แปรตามเวลา เมื่อสมมติให้ความหนาแน่นกระแสกระจัด (displacement current density) มีค่าเป็นศูนย์ (Demerdash and Gillott, 1974) และ (Fu, 1999) เนื่องจากแหล่งจ่ายมีค่าความถี่ต่ำ สามารถแสดงได้ดังนี้

$$\nabla \times \mathbf{H} = \mathbf{J}_0 + \mathbf{J}_e \quad (2-4)$$

เมื่อ  $\mathbf{H}$  คือความเข้มสนามแม่เหล็ก (magnetic field intensity),  $\mathbf{J}_0$  คือความหนาแน่นของกระแสด้านนอก (external current density) และ  $\mathbf{J}_e$  คือความหนาแน่นของกระแสวน (eddy current density) ซึ่งได้จากกฎของโอห์ม โดยที่

$$\mathbf{J}_e = \sigma \mathbf{E} \quad (2-5)$$

เมื่อ  $\sigma$  คือสภาพนำทางไฟฟ้า (electrical conductivity) และจากความสัมพันธ์ของสมการที่ (2-3) จึงได้

$$\mathbf{J}_e = -\sigma \frac{\partial}{\partial t} \mathbf{A} \quad (2-6)$$

นำสมการที่ (2-1) และ (2-6) แทนค่าลงไปในสมการที่ (2-4) จะได้

$$\nabla \times \left( \frac{1}{\mu} \nabla \times \mathbf{A} \right) + \sigma \frac{\partial}{\partial t} \mathbf{A} = \mathbf{J}_0 \quad (2-7)$$

โดย  $\mathbf{B} = \mu \mathbf{H}$  เมื่อ  $\mu$  คือความซาบซึมได้ของแม่เหล็ก (magnetic permeability) มีค่าเท่ากับ  $\mu_0 \mu_r$  โดยที่  $\mu_0$  คือความซาบซึมได้ของสุญญากาศ มีค่าเท่ากับ  $4\pi \times 10^{-7}$  H/m และ  $\mu_r$  คือความซาบซึมได้สัมพัทธ์ (relative permeability) ซึ่งจะขึ้นอยู่กับวัสดุตัวกลาง และจากการศึกษาคุณสมบัติของ  $\mathbf{A}$  พบว่า  $\nabla \cdot \mathbf{A} = 0$  ประกอบกับการใช้เอกลักษณ์ของเวกเตอร์ จึงได้สมการของศักย์เชิงเวกเตอร์แม่เหล็ก ดังสมการที่ (2-8)

$$\nabla^2 \mathbf{A} - \mu \sigma \frac{\partial}{\partial t} \mathbf{A} = -\mu \mathbf{J}_0 \quad (2-8)$$

ดังนั้นแบบจำลองทางคณิตศาสตร์ของสนามแม่เหล็กในมอเตอร์เหนี่ยวนำสามเฟส ซึ่งกระแสเหนี่ยวนำในวงจรโรเตอร์จะขึ้นอยู่กับค่าสลิป  $s$  ของมอเตอร์ด้วย เมื่อพิจารณามอเตอร์ในสองมิติตามระนาบพิกัด  $xy$  ซึ่งแปรผันตามเวลา จึงสามารถคำนวณได้จากสมการที่ (2-9) โดยสมการจะปรากฏอยู่ในรูปสมการอนุพันธ์ย่อย (partial differential equation: PDE) อันดับสอง (Vassent, Meunier, and Foggia, 1991), (Nagwa, Anthony, and Graham, 1992) และ (Fu, 1999) ดังนี้

$$\frac{\partial}{\partial x} \left( \frac{1}{\mu} \frac{\partial A}{\partial x} \right) + \frac{\partial}{\partial y} \left( \frac{1}{\mu} \frac{\partial A}{\partial y} \right) - s\sigma \left( \frac{\partial A}{\partial t} \right) + J_0 = 0 \quad (2-9)$$

จากสมการที่ (2-9) ซึ่งเป็นการสมมติให้สนามแม่เหล็กวางตัวตามพื้นที่หน้าตัดในระนาบพิกัด  $xy$  ของมอเตอร์ ดังนั้นการพิจารณาเทอมของ  $A$  และ  $J_0$  จะปรากฏเฉพาะส่วนประกอบของแกน  $z$  เท่านั้น

### 2.3 การคำนวณสนามแม่เหล็กโดยวิธีไฟไนต์เอลิเมนต์

สืบเนื่องจากสมการเชิงอนุพันธ์เพื่อใช้ในการคำนวณหาสนามแม่เหล็กของมอเตอร์เหนี่ยวนำ ดังแสดงในสมการที่ (2-9) หาผลเฉลยแม่นยำได้ยาก ดังนั้นการหาค่าผลเฉลยโดยประมาณด้วยวิธีไฟไนต์เอลิเมนต์จึงถูกนำมาใช้ในที่นี้ ซึ่งประกอบไปด้วยขั้นตอนการดำเนินงานต่างๆ ดังนี้

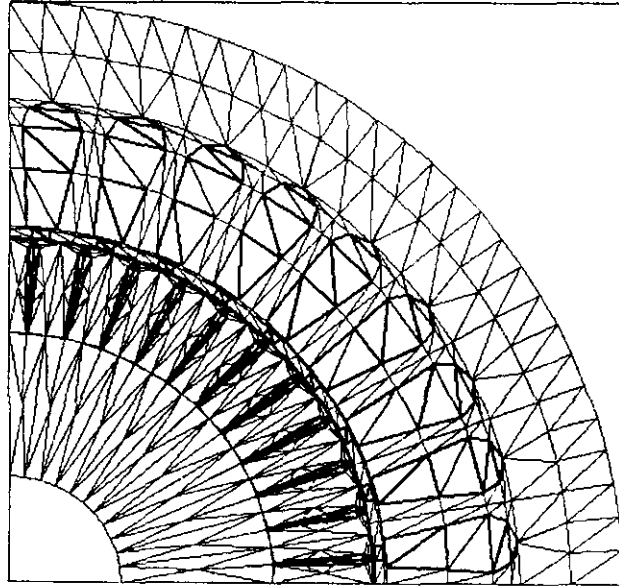
#### 2.3.1 การแบ่งเอลิเมนต์ของพื้นที่ศึกษา

ขั้นตอนแรกจะเริ่มจากการแบ่งพื้นที่หน้าตัดของมอเตอร์ออกเป็นเอลิเมนต์รูปสามเหลี่ยมสามจุดต่อ โดยสมมติลักษณะการกระจายของผลลัพธ์โดยประมาณ ณ ตำแหน่งใดๆ บนเอลิเมนต์เป็นแบบเชิงเส้น การแบ่งเอลิเมนต์และจุดต่อของมอเตอร์ ได้ใช้โปรแกรม MATLAB ที่พัฒนาขึ้น โดยมีจำนวนจุดต่อและเอลิเมนต์เท่ากับ 2,688 จุด และ 5,224 เอลิเมนต์ ตามลำดับ ดังแสดงด้วยรูปที่ 2.1 ซึ่งเป็นตัวอย่างการแบ่งเอลิเมนต์และจุดต่อบนพื้นที่หน้าตัดเพียง 1/4 ของมอเตอร์ โดยมอเตอร์มีจำนวนร่องของสเตเตอร์และโรเตอร์ทั้งหมดเท่ากับ 36 และ 44 ร่อง ตามลำดับ และการพันขลวดสเตเตอร์เป็นแบบสองชั้น (double layer winding)

ในงานวิจัยนี้การแบ่งพื้นที่หน้าตัดของมอเตอร์ออกเป็นเอลิเมนต์ จะพิจารณาแยกพื้นที่กันออกเป็น 3 ส่วน ได้แก่ ส่วนของพื้นที่สเตเตอร์ ส่วนของพื้นที่โรเตอร์ และส่วนของพื้นที่ช่องอากาศระหว่างสเตเตอร์และโรเตอร์ โดยส่วนของพื้นที่สเตเตอร์การแบ่งเอลิเมนต์จะกระทำเพียงครั้งเดียว ทั้งนี้เพราะส่วนของสเตเตอร์ถูกยึดอยู่กับที่ ในส่วนของพื้นที่โรเตอร์การแบ่งเอลิเมนต์ดำเนินการเพียงครั้งเดียวเช่นกัน แต่เมื่อพิจารณาถึงตำแหน่งพิกัดของจุดต่อบนพื้นที่แล้ว จะต้องคำนึงถึงมุมของโรเตอร์ที่หมุนเปลี่ยนแปลงไปด้วย ในส่วนของพื้นที่ช่องอากาศจะถูกแบ่งออกเป็น



ชั้นๆ โดยปริมาณชั้นจะขึ้นอยู่กับความละเอียดในการพิจารณา โดยชั้นที่ติดกับโรเตอร์ การแบ่งอิลิเมนต์ในชั้นนี้จะมีการเปลี่ยนแปลงไปให้สอดคล้องตามการหมุนของโรเตอร์ ดังนั้นการพิจารณาตำแหน่งพิกัดของจุดต่อบริเวณพื้นที่นี้ จะต้องพิจารณาอย่างระมัดระวังและรอบคอบเป็นพิเศษ



รูปที่ 2.1 การแบ่งอิลิเมนต์และจุดต่อบนพื้นที่หน้าตัดของมอเตอร์

### 2.3.2 ฟังก์ชันการประมาณภายในอิลิเมนต์

ขั้นตอนนี้เป็นทางเลือกรูปแบบของฟังก์ชันการประมาณภายในอิลิเมนต์ โดยเมื่อสมมติลักษณะการกระจายของผลเฉลยบนอิลิเมนต์เป็นแบบเชิงเส้น จะได้

$$A(x, y) = A_i N_i + A_j N_j + A_k N_k \quad (2-10)$$

โดยที่  $N_n$ ,  $n = i, j, k$  คือฟังก์ชันการประมาณภายในอิลิเมนต์ และ  $A_n$ ,  $n = i, j, k$  คือผลลัพธ์ของศักย์เชิงเวกเตอร์แม่เหล็กในแต่ละจุดต่อ  $(i, j, k)$  ของอิลิเมนต์ ซึ่ง

$$N_n = \frac{a_n + b_n x + c_n y}{2\Delta_e} \quad (2-11)$$

โดยที่

$$\begin{aligned}
a_i &= x_j y_k - x_k y_j, & b_i &= y_j - y_k, & c_i &= x_k - x_j \\
a_j &= x_k y_i - x_i y_k, & b_j &= y_k - y_i, & c_j &= x_i - x_k \\
a_k &= x_i y_j - x_j y_i, & b_k &= y_i - y_j, & c_k &= x_j - x_i
\end{aligned}
\tag{2-12}$$

และ  $\Delta_e$  คือพื้นที่ของแต่ละอิเลิเมนต์ ซึ่งหาได้จากดีเทอร์มิแนนต์ของสัมประสิทธิ์ดังนี้

$$\Delta_e = \frac{1}{2} \begin{vmatrix} 1 & x_i & y_i \\ 1 & x_j & y_j \\ 1 & x_k & y_k \end{vmatrix}
\tag{2-13}$$

### 2.3.3 การสร้างสมการของอิเลิเมนต์

ขั้นตอนนี้เป็นการสร้างสมการของอิเลิเมนต์ให้สอดคล้องกับสมการเชิงอนุพันธ์ดังแสดงในสมการที่ (2-9) ซึ่งขั้นตอนนี้ถือว่าเป็นขั้นตอนที่สำคัญที่สุดของวิธีไฟไนต์อิเลิเมนต์ อย่างไรก็ตาม อิเลิเมนต์รูปสามเหลี่ยม รูปแบบทั่วไปของสมการของอิเลิเมนต์สำหรับปัญหาที่มีการเปลี่ยนแปลงตามเวลา สามารถแสดงได้ดังนี้ (Huebner, Dewhurst, Smith, and Byrom, 2001)

$$[M]\{\dot{A}\} + [K]\{A\} = \{F\}
\tag{2-14}$$

โดย  $\{A\}$  คือเวกเตอร์ของศักย์เชิงเวกเตอร์แม่เหล็กซึ่งเป็นตัวไม่ทราบค่าที่จุดต่อ และ  $\{\dot{A}\}$  คือเวกเตอร์ของอนุพันธ์อันดับหนึ่งของศักย์เชิงเวกเตอร์แม่เหล็ก สมการที่ (2-14) นี้สามารถประดิษฐ์ขึ้นได้โดยตรงจากสมการเชิงอนุพันธ์ โดยการประยุกต์วิธีการถ่วงน้ำหนักเศษตกค้าง (method of weighted residuals) ซึ่งถูกจัดให้เป็นวิธีที่นิยมที่สุดในการประยุกต์ใช้กับปัญหาต่างๆ ในปัจจุบัน และวิธีนี้ยังสามารถจำแนกแยกย่อยออกไปได้อีกเช่น วิธีของกาลเลอร์กิน (Galerkin) ซึ่งเมทริกซ์ที่เกิดขึ้นจากวิธีนี้ ปกติแล้วจะมีความสมมาตร จึงก่อให้เกิดประโยชน์อย่างมากในการประดิษฐ์โปรแกรมคอมพิวเตอร์เพื่อใช้กับปัญหาขนาดใหญ่อย่างเช่นปัญหาในงานวิจัยนี้

การสร้างสมการของอิเลิเมนต์ด้วยการถ่วงน้ำหนักเศษตกค้างมีหลักการดังนี้คือ หากแทนผลเฉลยโดยประมาณลงในสมการที่ (2-9) จะไม่ได้ค่าเท่ากับศูนย์ แต่จะมีค่าเท่ากับ  $R$  ดังแสดงด้วยสมการที่ (2-15)

$$\frac{\partial}{\partial x} \left( \frac{1}{\mu} \frac{\partial A}{\partial x} \right) + \frac{\partial}{\partial y} \left( \frac{1}{\mu} \frac{\partial A}{\partial y} \right) - s\sigma \left( \frac{\partial A}{\partial t} \right) + \mathbf{J}_0 = R
\tag{2-15}$$

ซึ่ง  $R$  เรียกว่าเศษตกค้าง (residual) เป็นค่าผิดพลาดที่เกิดขึ้นจากการใช้ผลเฉลยโดยประมาณ ซึ่งไม่ใช่ผลเฉลยแน่นอนตรงของปัญหาเศษตกค้าง  $R$  ที่เกิดขึ้นควรมีค่าต่ำที่สุด เพื่อผลเฉลยโดยประมาณที่เกิดขึ้นจะมีค่าเที่ยงตรงมากที่สุด และในงานวิจัยนี้ วิธีการถ่วงน้ำหนักเศษตกค้างได้ใช้วิธีของกาลอร์คิน (Preston, Reece, and Sangha, 1988) และ (Kim, Kwon, and Park, 1999) ซึ่งวิธีนี้สามารถกระทำได้โดยการคูณเศษตกค้าง  $R$  ด้วยฟังก์ชันน้ำหนัก (weighting function:  $W$ ) แล้วอินทิเกรตตลอดทั้งโดเมนของอิลิเมนต์ ( $\Omega$ ) และกำหนดผลที่ได้ให้เท่ากับศูนย์ นั่นคือ

$$\int_{\Omega} W_n R d\Omega = 0 \quad , \quad n = 1, 2, 3 \quad (2-16)$$

สำหรับอิลิเมนต์รูปสามเหลี่ยม จุดที่ไม่รู้ค่ามี 3 จุดซึ่งได้แก่จุดต่อทั้งสาม ดังนั้นจึงต้องการ 3 สมการในการแก้หาจุดที่ไม่รู้ค่า นั้นหมายถึงในสมการที่ (2-16) จะต้องมามีค่า  $n = 1, 2, 3$  และโดยปกติเราจะเลือก  $W_n = N_n$  ซึ่งเรียกว่าบับ โนฟ-กาลอร์คิน (Bubnov-Galerkin) ดังนั้นเมื่อแทน  $R$  ด้วยสมการที่ (2-15) ลงในสมการที่ (2-16) จึงได้

$$\int_{\Omega} N_n \left( \frac{\partial}{\partial x} \left( \frac{1}{\mu} \frac{\partial \mathbf{A}}{\partial x} \right) + \frac{\partial}{\partial y} \left( \frac{1}{\mu} \frac{\partial \mathbf{A}}{\partial y} \right) - \text{sc} \left( \frac{\partial \mathbf{A}}{\partial t} \right) + \mathbf{J}_0 \right) d\Omega = 0 \quad (2-17)$$

$$\int_{\Omega} N_n \left( \frac{\partial}{\partial x} \left( \frac{1}{\mu} \frac{\partial \mathbf{A}}{\partial x} \right) + \frac{\partial}{\partial y} \left( \frac{1}{\mu} \frac{\partial \mathbf{A}}{\partial y} \right) \right) d\Omega - \int_{\Omega} N_n \text{sc} \left( \frac{\partial \mathbf{A}}{\partial t} \right) d\Omega + \int_{\Omega} (N_n \mathbf{J}_0) d\Omega = 0 \quad (2-18)$$

พิจารณาการอินทิเกรตทีละพจน์ของสมการที่ (2-18) สำหรับพจน์แรกซึ่งเป็นพจน์อนุพันธ์อันดับสองใช้วิธีการอินทิเกรตทีละส่วน (integrate by parts) โดยจะใช้ทฤษฎีบทของเกาส์ (Gauss's theorem) ซึ่งมีรูปแบบดังนี้

$$\int_{\Omega} u(\nabla \cdot \mathbf{V}) d\Omega = \int_{\Gamma} u(\mathbf{V} \cdot \mathbf{n}) d\Gamma - \int_{\Omega} (\nabla u \cdot \mathbf{V}) d\Omega \quad (2-19)$$

ซึ่ง  $\Gamma$  คือขอบเขตของอิลิเมนต์  $\Omega$  และ  $\mathbf{n}$  คือเวกเตอร์หนึ่งหน่วยที่ตั้งฉากกับขอบเขตของอิลิเมนต์  $\Gamma$  ดังนั้นจากสมการที่ (2-18) เมื่อ  $n = 1, 2, 3$  จึงสามารถเขียนได้เป็น

$$\int_{\Gamma} N_n \left( \frac{1}{\mu} \frac{\partial \mathbf{A}}{\partial x} n_x + \frac{1}{\mu} \frac{\partial \mathbf{A}}{\partial y} n_y \right) d\Gamma - \int_{\Omega} \left( \frac{\partial N_n}{\partial x} \frac{1}{\mu} \frac{\partial \mathbf{A}}{\partial x} + \frac{\partial N_n}{\partial y} \frac{1}{\mu} \frac{\partial \mathbf{A}}{\partial y} \right) d\Omega - \int_{\Omega} N_n \sigma \left( \frac{\partial \mathbf{A}}{\partial t} \right) d\Omega + \int_{\Omega} N_n \mathbf{J}_0 d\Omega = 0 \quad (2-20)$$

พิจารณาพจน์แรกทางด้านซ้ายมือของสมการที่ (2-20) ซึ่งเป็นพจน์ที่เกี่ยวข้องกับขอบเขตของอิลิเมนต์  $\Gamma$  ที่มีคุณสมบัติทางกายภาพคือปริมาณกระแสตลอดขอบนอกของอิลิเมนต์นั้นๆ หนึ่ง อิลิเมนต์นั้นๆ อาจวางตัวอยู่ในหรืออยู่ติดขอบนอกของพื้นที่ศึกษา หากอิลิเมนต์ที่พิจารณาอยู่ตรงตำแหน่งขอบนอกของพื้นที่ศึกษาเงื่อนไขแบบนอยมันน์ (Neumann condition) จะถูกนำมาใช้ในงานวิจัยนี้เพื่อเป็นเงื่อนไขตรงขอบนอกของพื้นที่ศึกษา เงื่อนไขนี้เป็นการกำหนดค่าอนุพันธ์อันดับหนึ่งของตัวแปรตามที่ขอบเขตนั้น ซึ่งในปัญหาของงานวิจัยนี้ มีเงื่อนไขขอบเขตแสดงได้ดังสมการที่ (2-21) (Nagwa, Anthony, and Graham, 1992) นั่นคือศักย์เชิงเวกเตอร์แม่เหล็ก  $\mathbf{A}$  มีค่าคงที่ตลอดตามขอบของพื้นที่ศึกษา หรือหมายถึงไม่มีการไหลของกระแสไฟฟ้าผ่านบริเวณขอบนอกของมอเตอร์เหนี่ยวนำ (ปริมาณกระแสที่ไหลผ่านขอบเท่ากับศูนย์) และหากอิลิเมนต์ที่พิจารณาอยู่วางตัวอยู่ในพื้นที่ศึกษาโดยมีอิลิเมนต์อื่นๆ ล้อมรอบค่าปริมาณกระแสที่ไหลผ่านจุดต่อภายในจุดต่อหนึ่งของอิลิเมนต์นี้ต้องอยู่ในสภาวะสมดุลกับปริมาณกระแสจากอิลิเมนต์ที่อยู่ล้อมรอบ ดังนั้นปริมาณกระแสที่ไหลเข้าและออกจุดต่อจึงต้องหักล้างกันหมดเท่ากับศูนย์เพื่อทำให้เกิดสภาวะการไหลของกระแสที่สมดุล ดังนั้นจึงได้สมการไฟไนท์อิลิเมนต์ดังแสดงด้วยสมการที่ (2-22) และเนื่องจากสมการที่ (2-22) มีทั้งหมด 3 สมการ เราสามารถเขียนสมการไฟไนท์อิลิเมนต์นี้ให้อยู่ในรูปแบบทริกซ์ได้ดังสมการที่ (2-23)

$$\frac{\partial \mathbf{A}}{\partial \mathbf{n}} = 0 \quad (2-21)$$

$$\int_{\Omega} \left( \frac{\partial N_n}{\partial x} \frac{1}{\mu} \frac{\partial \mathbf{A}}{\partial x} + \frac{\partial N_n}{\partial y} \frac{1}{\mu} \frac{\partial \mathbf{A}}{\partial y} \right) d\Omega + \int_{\Omega} N_n \sigma \left( \frac{\partial \mathbf{A}}{\partial t} \right) d\Omega = \int_{\Omega} N_n \mathbf{J}_0 d\Omega \quad (2-22)$$

$$\int_{\Omega} \left( \left[ \frac{\partial N}{\partial x} \right]_{3 \times 1} \frac{1}{\mu} \frac{\partial \mathbf{A}}{\partial x} + \left[ \frac{\partial N}{\partial y} \right]_{3 \times 1} \frac{1}{\mu} \frac{\partial \mathbf{A}}{\partial y} \right) d\Omega + \int_{\Omega} [N]_{3 \times 1} \sigma \left( \frac{\partial \mathbf{A}}{\partial t} \right) d\Omega = \int_{\Omega} [N]_{3 \times 1} \mathbf{J}_0 d\Omega \quad (2-23)$$

และจากสมการที่ (2-10) จึงได้ลักษณะการกระจายของศักย์เชิงเวกเตอร์แม่เหล็ก  $\mathbf{A}$  โดยประมาณในแต่อิลิเมนต์เป็น

$$A(x, y) = [N]_{1 \times 3} [A]_{3 \times 1}$$

$$\text{ดังนั้น } \frac{\partial A}{\partial x} = \left[ \frac{\partial N}{\partial x} \right]_{1 \times 3} [A]_{3 \times 1} \quad \text{และ} \quad \frac{\partial A}{\partial y} = \left[ \frac{\partial N}{\partial y} \right]_{1 \times 3} [A]_{3 \times 1}$$

และสมการไฟไนท์อีลิเมนต์จึงกลายเป็น

$$\int_{\Omega} \left( \left[ \frac{\partial N}{\partial x} \right]_{3 \times 1} \frac{1}{\mu} \left[ \frac{\partial N}{\partial x} \right]_{1 \times 3} + \left[ \frac{\partial N}{\partial y} \right]_{3 \times 1} \frac{1}{\mu} \left[ \frac{\partial N}{\partial y} \right]_{1 \times 3} \right) d\Omega [A]_{3 \times 1} + \int_{\Omega} [N]_{3 \times 1} \sigma [N]_{1 \times 3} d\Omega [A]_{3 \times 1} = \int_{\Omega} [N]_{3 \times 1} J_0 d\Omega \quad (2-24)$$

หรือเขียนสมการไฟไนท์อีลิเมนต์สำหรับแต่ละอีลิเมนต์ที่ประกอบด้วย 3 สมการได้ดังนี้

$$[M]_{3 \times 3} \{A\}_{3 \times 1} + [K]_{3 \times 3} \{A\}_{3 \times 1} = \{F\}_{3 \times 1} \quad (2-25)$$

โดย  $[M]_{3 \times 3}$  = เมทริกซ์การนำทางไฟฟ้า  
 $[K]_{3 \times 3}$  = เมทริกซ์ความขบข้มได้ของแม่เหล็ก  
 $\{F\}_{3 \times 1}$  = โหลดแวกเตอร์กระแสที่ผลิตขึ้นเอง

เมทริกซ์การนำทางไฟฟ้า:  $[M]_{3 \times 3}$

$$\text{จาก } [M]_{3 \times 3} = \int_{\Omega} [N]_{3 \times 1} \sigma [N]_{1 \times 3} d\Omega \quad (2-26)$$

จากสมการที่ (2-11) ฟังก์ชันการประมาณภายในแสดงได้ดังนี้

$$N_n = \frac{a_n + b_n x + c_n y}{2\Delta_e} \quad n = i, j, k \quad (2-27)$$

จากสมการที่ (2-27) และหาค่าสภาพนำทางไฟฟ้า  $\sigma$  มีค่าคงที่ ดังนั้นสมการที่ (2-26) จึงกลายเป็น

$$[M]_{3 \times 3} = \sigma \int N_n N_m dx dy \quad n, m = i, j, k \quad (2-28)$$

สมการที่ (2-28) นี้สามารถคำนวณได้ง่ายโดยใช้สูตรการอินทิเกรตรอบพื้นที่ขอบเขตทั้งหมดของอิลิเมนต์รูปสามเหลี่ยม (Rao,1999) ดังแสดงด้วยสมการที่ (2-29)

$$\int N_i^\alpha N_j^\beta N_k^\gamma dx dy = \frac{\alpha! \beta! \gamma!}{(\alpha + \beta + \gamma + 2)!} \cdot 2\Delta_e \quad (2-29)$$

สมการที่ (2-28) สามารถแบ่งการพิจารณาออกเป็น 2 กรณีคือ  $N_n = N_m$  และ  $N_n \neq N_m$  จึงได้เมทริกซ์การนำทางไฟฟ้า  $[M]_{3 \times 3}$  ดังแสดงด้วยสมการที่ (2-30) ซึ่งจะสังเกตเห็นว่าเมทริกซ์  $[M]_{3 \times 3}$  จะมีค่าคงที่ขึ้นอยู่กับรูปร่างของอิลิเมนต์

$$[M]_{3 \times 3} = \frac{s\sigma\Delta_e}{12} \begin{bmatrix} 2 & 1 & 1 \\ 1 & 2 & 1 \\ 1 & 1 & 2 \end{bmatrix} \quad (2-30)$$

เมทริกซ์ความขบขิมได้ของแม่เหล็ก:  $[K]_{3 \times 3}$

$$\text{จาก } [K]_{3 \times 3} = \int_{\Omega} \left( \left[ \frac{\partial N}{\partial x} \right]_{3 \times 1} \frac{1}{\mu} \left[ \frac{\partial N}{\partial x} \right]_{1 \times 3} + \left[ \frac{\partial N}{\partial y} \right]_{3 \times 1} \frac{1}{\mu} \left[ \frac{\partial N}{\partial y} \right]_{1 \times 3} \right) d\Omega \quad (2-31)$$

และจากฟังก์ชันการประมาณภายใน ในสมการที่ (2-27) จึงได้

$$\frac{\partial N_n}{\partial x} = \frac{b_n}{2\Delta_e} \quad \text{และ} \quad \frac{\partial N_n}{\partial y} = \frac{c_n}{2\Delta_e} \quad n = i, j, k \quad (2-32)$$

แทนความสัมพันธ์ของสมการที่ (2-32) ลงในสมการที่ (2-31) จะได้

$$[K]_{3 \times 3} = \frac{1}{\mu} \int \left( \frac{b_n}{2\Delta_e} \frac{b_m}{2\Delta_e} + \frac{c_n}{2\Delta_e} \frac{c_m}{2\Delta_e} \right) dx dy \quad n, m = i, j, k \quad (2-33)$$

$$[K]_{3 \times 3} = \frac{v}{4\Delta_e} \begin{bmatrix} b_i b_i + c_i c_i & b_i b_j + c_i c_j & b_i b_k + c_i c_k \\ b_j b_i + c_j c_i & b_j b_j + c_j c_j & b_j b_k + c_j c_k \\ b_k b_i + c_k c_i & b_k b_j + c_k c_j & b_k b_k + c_k c_k \end{bmatrix} = \frac{v}{4\Delta_e} \begin{bmatrix} S_{ii} & S_{ij} & S_{ik} \\ S_{ji} & S_{jj} & S_{jk} \\ S_{ki} & S_{kj} & S_{kk} \end{bmatrix} \quad (2-34)$$

โดยที่  $\nu = \frac{1}{\mu}$  คือ สภาพต้านทานแม่เหล็ก (magnetic reluctivity) เพื่อง่ายต่อการโปรแกรม คอมพิวเตอร์ เมทริกซ์ความขบข้มได้ของแม่เหล็ก  $[K]_{3 \times 3}$  สามารถเขียนใหม่ได้ดังนี้

$$[K]_{3 \times 3} = \nu \Delta_e [B]_{3 \times 2}^T [B]_{2 \times 3} \quad (2-35)$$

$$\text{โดยที่ } [B] = \frac{1}{2\Delta_e} \begin{bmatrix} b_i & b_j & b_k \\ c_i & c_j & c_k \end{bmatrix}$$

โหลดเวกเตอร์กระแสที่ผลิตขึ้นเอง:  $\{F\}_{3 \times 1}$

$$\text{จาก } \{F\}_{3 \times 1} = \int_{\Omega} [N]_{3 \times 1} \mathbf{J}_0 d\Omega \quad (2-36)$$

และจากฟังก์ชันการประมาณภายในดั่งสมการที่ (2-27) ดังนั้นสมการที่ (2-36) จึงกลายเป็น

$$\{F\}_{3 \times 1} = \mathbf{J}_0 \int N_n dx dy \quad n = i, j, k \quad (2-37)$$

สมการที่ (2-37) นี้สามารถคำนวณได้โดยใช้สูตรดั่งสมการที่ (2-29) จึงได้โหลดเวกเตอร์กระแสที่ผลิตขึ้นเองแสดงได้ดังนี้

$$\{F\}_{3 \times 1} = \frac{\mathbf{J}_0 \Delta_e}{3} \begin{bmatrix} 1 \\ 1 \\ 1 \end{bmatrix} \quad (2-38)$$

#### 2.3.4 การแก้ปัญหาภายใต้สถานะชั่วคราว

ปัญหาในงานวิจัยนี้เป็นปัญหาแบบไม่เชิงเส้นในสถานะชั่วคราว โดยค่าศักย์เชิงเวกเตอร์แม่เหล็ก  $\mathbf{A}$  จะเปลี่ยนแปลงไปตามเวลาและอิลิเมนต์เมทริกซ์  $[K]_{3 \times 3}$  จะไม่คงตัวโดยแปรผันไปตาม  $\mathbf{A}$  ทั้งนี้เนื่องจากค่าสภาพต้านทานแม่เหล็ก  $\nu$  มีค่าไม่คงที่เปลี่ยนแปลงไปตามเส้นโค้งความสัมพันธ์ของแม่เหล็ก (magnetization curve) ส่วนเวกเตอร์  $\{F\}_{3 \times 1}$  จะมีการเปลี่ยนแปลงไปตามเวลาด้วยเช่นกัน ทั้งนี้เนื่องจากแหล่งจ่ายไฟฟ้าเป็นกระแสสลับ ซึ่งการแก้ปัญหาแบบไม่เชิงเส้นในสถานะชั่วคราวเช่นนี้ทำได้ค่อนข้างยากและซับซ้อน โดยการแก้สมการที่ (2-25) จากข้างต้น จะต้อง

อาศัยการผสมผสานกันระหว่างวิธีการแก้ปัญหภายใต้อาณัติของตัวแปรที่ใช้วิธีความสัมพันธ์เวียนบังเกิด (recurrence relations) และวิธีการแก้ปัญหแบบไม่เชิงเส้นที่ใช้วิธีการทำซ้ำ (iterative technique) เพื่อให้ได้ค่าผลลัพธ์ที่ถูกต้อง

การแก้ปัญหภายใต้อาณัติของตัวแปรจะใช้วิธีความสัมพันธ์เวียนบังเกิด โดยจะมีลักษณะของผลลัพธ์ขึ้นอยู่กับค่า  $\beta$  ที่เลือกใช้ ดังแสดงในสมการที่ (2-39) โดย  $\Delta t$  คือค่าของช่วงเวลา (time step) โดยถ้าเลือกใช้  $\beta = 0$  จะเป็นวิธีของออยเลอร์ (Euler) ถ้า  $\beta = 1/2$  เป็นวิธีของแครงก์-นิโคลสัน (Crank-Nicolson) ถ้า  $\beta = 2/3$  เป็นวิธีของกาเลอร์คิน (Galerkin) และถ้า  $\beta = 1$  จะเรียกว่าวิธีผลต่างสืบเนื่องย้อนหลัง (backward difference) ในงานวิจัยนี้เลือกใช้วิธีผลต่างสืบเนื่องย้อนหลังดังสมการที่ (2-40) เนื่องจากวิธีนี้ประกันการลู่เข้าของผลลัพธ์ และผลลัพธ์จะมีการเปลี่ยนแปลงอย่างต่อเนื่อง

$$\beta \{ \dot{A} \}^{t+\Delta t} + (1-\beta) \{ \dot{A} \}^t = \frac{\{ A \}^{t+\Delta t} - \{ A \}^t}{\Delta t} \quad (2-39)$$

$$\{ \dot{A} \}^{t+\Delta t} = \frac{\{ A \}^{t+\Delta t} - \{ A \}^t}{\Delta t} \quad (2-40)$$

จากการเลือกใช้วิธีผลต่างสืบเนื่องย้อนหลัง สมการที่ (2-25) จึงพัฒนามาเป็นสมการที่ (2-41) จากนั้นแทนค่าสมการที่ (2-40) ลงในสมการที่ (2-41) จึงได้ผลลัพธ์ของสมการไฟไนต์อิลิเมนต์เมื่อพิจารณาปัญหาในสถานะชั่วคราว ดังสมการที่ (2-42)

$$[M] \{ \dot{A} \}^{t+\Delta t} + [K] \{ A \}^{t+\Delta t} = \{ F \}^{t+\Delta t} \quad (2-41)$$

$$\left( \frac{1}{\Delta t} [M] + [K] \right) \{ A \}^{t+\Delta t} = \frac{1}{\Delta t} [M] \{ A \}^t + \{ F \}^{t+\Delta t} \quad (2-42)$$

### 2.3.5 การแก้ปัญหแบบไม่เชิงเส้น

การแก้ปัญหแบบไม่เชิงเส้นจำเป็นต้องใช้วิธีการทำซ้ำ ซึ่งวิธีการทำซ้ำที่นิยมใช้กันมากคือวิธีการของนิวตัน-ราฟสัน (Newton-Raphson) (ปราโมทย์ เดชะอำไพ, 2544) และ (Preston, Reece, and Sangha, 1988) เนื่องจากเป็นวิธีที่เริ่มจากค่าเริ่มต้นเพียงค่าเดียวและนำไปสู่ผลลัพธ์ได้อย่างรวดเร็ว เมื่อแทนค่าอิลิเมนต์เมทริกซ์  $[M]_{3 \times 3}$ ,  $[K]_{3 \times 3}$  และเวกเตอร์  $\{ F \}_{3 \times 1}$  ลงในสมการที่ (2-42) จึงได้



$$\begin{bmatrix} \frac{2\sigma\Delta_e}{12\Delta t} + \frac{vS_{ii}}{4\Delta_e} & \frac{\sigma\Delta_e}{12\Delta t} + \frac{vS_{ij}}{4\Delta_e} & \frac{\sigma\Delta_e}{12\Delta t} + \frac{vS_{ik}}{4\Delta_e} \\ \frac{\sigma\Delta_e}{12\Delta t} + \frac{vS_{ji}}{4\Delta_e} & \frac{2\sigma\Delta_e}{12\Delta t} + \frac{vS_{jj}}{4\Delta_e} & \frac{\sigma\Delta_e}{12\Delta t} + \frac{vS_{jk}}{4\Delta_e} \\ \frac{\sigma\Delta_e}{12\Delta t} + \frac{vS_{ki}}{4\Delta_e} & \frac{\sigma\Delta_e}{12\Delta t} + \frac{vS_{kj}}{4\Delta_e} & \frac{2\sigma\Delta_e}{12\Delta t} + \frac{vS_{kk}}{4\Delta_e} \end{bmatrix} \begin{bmatrix} A_i^{t+\Delta t} \\ A_j^{t+\Delta t} \\ A_k^{t+\Delta t} \end{bmatrix} \quad (2-43)$$

$$- \frac{\sigma\Delta_e}{12\Delta t} \begin{bmatrix} 2 & 1 & 1 \\ 1 & 2 & 1 \\ 1 & 1 & 2 \end{bmatrix} \begin{bmatrix} A_i^t \\ A_j^t \\ A_k^t \end{bmatrix} - \frac{\Delta_e}{3} \begin{bmatrix} J_0^{t+\Delta t} \\ J_0^{t+\Delta t} \\ J_0^{t+\Delta t} \end{bmatrix} = 0$$

ให้  $G$  แทนแถวแรกของพจน์ต่างๆ ที่ปรากฏทางฝั่งซ้ายของสมการที่ (2-43) ซึ่งเขียนแสดงได้ดังสมการที่ (2-44) จากนั้นประยุกต์ใช้วิธีนิวตัน-ราฟสัน โดยการหาอนุพันธ์ของ  $G$  เทียบกับแต่ละจุดต่อของศักย์เชิงเวกเตอร์แม่เหล็ก  $A_i$ ,  $A_j$  และ  $A_k$  ดังสมการที่ (2-45) ซึ่งเป็นการหาอนุพันธ์ของ  $G$  เทียบกับ  $A_i$  โดยอาศัยกฎลูกโซ่ (chain rule) ประกอบ

$$G = \frac{\sigma\Delta_e}{12\Delta t} (2A_i^{t+\Delta t} + A_j^{t+\Delta t} + A_k^{t+\Delta t}) + \frac{v^{t+\Delta t}}{4\Delta_e} (S_{ii}A_i^{t+\Delta t} + S_{ij}A_j^{t+\Delta t} + S_{ik}A_k^{t+\Delta t}) \quad (2-44)$$

$$- \frac{\sigma\Delta_e}{12\Delta t} (2A_i^t + A_j^t + A_k^t) - \frac{J_0^{t+\Delta t}\Delta_e}{3}$$

$$\frac{\partial G}{\partial A_i^{t+\Delta t}} = \frac{2\sigma\Delta_e}{12\Delta t} + \frac{v^{t+\Delta t}}{4\Delta_e} S_{ii} + \quad (2-45)$$

$$\frac{1}{4\Delta_e} (S_{ii}A_i^{t+\Delta t} + S_{ij}A_j^{t+\Delta t} + S_{ik}A_k^{t+\Delta t}) \left( \frac{\partial v}{\partial B^2} \right)^{t+\Delta t} \left( \frac{\partial B^2}{\partial A_i} \right)^{t+\Delta t}$$

ค่าของ  $\frac{\partial v}{\partial B^2}$  หาได้จากเส้นโค้งความสัมพันธ์ของแม่เหล็กระหว่าง  $v - B^2$  (แปลงจาก B-H curve) ซึ่งการประมาณค่าของข้อมูลในช่วงนี้ จะใช้วิธีการประมาณค่าของเส้นโค้งกำลังสาม (cubic spline interpolation)

จากการประมาณฟังก์ชันด้วยอนุกรมเทย์เลอร์ของวิธีนิวตัน-ราฟสัน จึงได้แถวแรกของสมการอิลิเมนต์เป็น

$$G = -\frac{\partial G}{\partial A_i^{t+\Delta t}} \Delta A_i^{t+\Delta t} - \frac{\partial G}{\partial A_j^{t+\Delta t}} \Delta A_j^{t+\Delta t} - \frac{\partial G}{\partial A_k^{t+\Delta t}} \Delta A_k^{t+\Delta t} \quad (2-46)$$

โดยที่  $\Delta A^{t+\Delta t} = A^{t+\Delta t} - A^{t+\Delta t}$  ซึ่ง  $m$  คือจำนวนรอบการทำซ้ำของวิธีนิวตัน-ราฟสัน ดำเนินการในทำนองเดียวกันโดยให้  $H$  และ  $I$  แทนพจน์ทางฝั่งซ้ายซึ่งปรากฏในแถวที่ 2 และ 3 ของสมการที่ (2-43) ตามลำดับ จึงได้ผลลัพธ์ของสมการไฟไนท์อิลลิเมนต์สำหรับแต่ละอิลลิเมนต์เมื่อพิจารณาปัญหาแบบไม่เชิงเส้นในสถานะชั่วคราว แสดงได้ดังสมการที่ (2-47)

$$\begin{bmatrix} \frac{\partial G}{\partial A_i^{t+\Delta t}} & \frac{\partial G}{\partial A_j^{t+\Delta t}} & \frac{\partial G}{\partial A_k^{t+\Delta t}} \\ \frac{\partial H}{\partial A_i^{t+\Delta t}} & \frac{\partial H}{\partial A_j^{t+\Delta t}} & \frac{\partial H}{\partial A_k^{t+\Delta t}} \\ \frac{\partial I}{\partial A_i^{t+\Delta t}} & \frac{\partial I}{\partial A_j^{t+\Delta t}} & \frac{\partial I}{\partial A_k^{t+\Delta t}} \end{bmatrix}_{3 \times 3} \begin{bmatrix} \Delta A_i^{t+\Delta t} \\ \Delta A_j^{t+\Delta t} \\ \Delta A_k^{t+\Delta t} \end{bmatrix}_{3 \times 1} = - \begin{bmatrix} G \\ H \\ I \end{bmatrix}_{3 \times 1} \quad (2-47)$$

หรือเขียนสมการที่ (2-47) ให้อยู่ในรูปของสมการ  $[J]_{3 \times 3} [\Delta A]_{3 \times 1} = [f]_{3 \times 1}$  โดยที่  $[J]$  คือยาโคเบียนเมตริกซ์ (jacobian matrix)

### 2.3.6 การประกอบสมการอิลลิเมนต์ขึ้นเป็นระบบ

ขั้นตอนนี้เป็นกรนำสมการของแต่ละอิลลิเมนต์ที่ได้มาประกอบกันเป็นสมการรวมของระบบ โดยจากขั้นตอนในหัวข้อที่ 2.3.1 หากเราแบ่งลักษณะรูปร่างของปัญหาออกเป็นอิลลิเมนต์ย่อยซึ่งประกอบด้วย  $n$  จุดต่อ จึงก่อให้เกิดระบบสมการรวมซึ่งประกอบด้วยสมการย่อยจำนวนทั้งสิ้น  $n$  สมการ ดังนั้นจึงได้สมการรวมของงานวิจัยนี้เมื่อพิจารณาปัญหาแบบไม่เชิงเส้นในสถานะชั่วคราว คือ  $[J]_{n \times n} [\Delta A]_{n \times 1} = [f]_{n \times 1}$  การแก้สมการเมตริกซ์รวมของระบบ ได้นำความกว้างแถบหรือแบนด์วิดท์ (bandwidth: BW) ของเมตริกซ์มาร่วมพิจารณาด้วย ซึ่งถือว่าเป็นปัจจัยหลักในการลดระยะเวลาการคำนวณของโปรแกรม

### 2.3.7 ประยุกต์เงื่อนไขเริ่มต้นและเงื่อนไขขอบเขตพร้อมหาผลเฉลย

ขั้นตอนการหาค่าผลเฉลยของค่าศักร์เชิงเวกเตอร์แม่เหล็ก  $\mathbf{A}$  เริ่มจากการกำหนดเงื่อนไขเริ่มต้นให้แก่มอเตอร์ในแต่ละรอบที่มอเตอร์หมุนไป และเงื่อนไขขอบเขตบริเวณต่างๆ โดยงานวิจัยนี้มีค่าเงื่อนไขเริ่มต้นในรอบแรกที่พิจารณาการหมุนของมอเตอร์คือ  $\mathbf{A}(t=0) = 0$  ส่วนการหมุนรอบถัดไปจะใช้คำตอบจากรอบที่แล้วเป็นเงื่อนไขเริ่มต้น เพื่อประหยัดเวลาในการหาคำตอบที่ถูกต้อง ส่วนค่าเงื่อนไขขอบเขต จะกำหนดให้ขอบในที่ติดกับเพลลาและขอบนอกของมอเตอร์มีค่า  $\mathbf{A} = 0$  (Brunelli, Casadei, Reggiani and Serra, 1983) และ (Fu, 1999)

### 2.3.8 จำนวนค่าตัวแปรอื่นที่ต้องการ

เมื่อทราบค่าศักย์เชิงเวกเตอร์แม่เหล็ก  $\mathbf{A}$  ที่จุดต่อต่างๆ แล้ว จึงสามารถคำนวณหาค่าต่างๆ ที่สัมพันธ์กันต่อไปได้ โดยสนามแม่เหล็ก  $\mathbf{B}$  สามารถคำนวณได้จากการเคิร์ลค่าศักย์เชิงเวกเตอร์แม่เหล็ก ( $\mathbf{B} = \nabla \times \mathbf{A}$ ) ดังนั้นเมื่อพิจารณามอเตอร์ใน 2 มิติ ตามระนาบพิกัด  $xy$  จึงได้ค่าสนามแม่เหล็กในแนวแกน  $x$  ( $B_x$ ) และค่าสนามแม่เหล็กในแนวแกน  $y$  ( $B_y$ ) ดังแสดงด้วยสมการที่ (2-48) และ (2-49) ตามลำดับ

$$B_x = \frac{\partial A_z}{\partial y} = \frac{c_i A_i + c_j A_j + c_k A_k}{2\Delta_e} \quad (2-48)$$

$$B_y = -\frac{\partial A_z}{\partial x} = -\left( \frac{b_i A_i + b_j A_j + b_k A_k}{2\Delta_e} \right) \quad (2-49)$$

การแปลงระบบพิกัดจากพิกัดฉากไปเป็นพิกัดทรงกระบอก (cylindrical coordinate) เพื่อใช้คำนวณหาค่าสนามแม่เหล็กในแนวรัศมี (radial flux density,  $B_r$ ) และสนามแม่เหล็กในแนวสัมผัส (tangential flux density,  $B_t$ ) ที่กระทำกับช่องอากาศของมอเตอร์ตรงส่วนของฟันสเตเตอร์ในแต่ละซี่ที่มีมุม  $\phi$  เปลี่ยนแปลงไป สามารถแสดงได้ดังนี้

$$B_r = B_x \cos \phi + B_y \sin \phi \quad (2-50)$$

$$B_t = -B_x \sin \phi + B_y \cos \phi \quad (2-51)$$

เมื่อคำนวณหาค่า  $B_r$  และ  $B_t$  แล้ว จากนั้นจึงใช้สมการความเค้นของแมกซ์เวลล์หาค่าแรงแม่เหล็กไฟฟ้าที่กระทำกับช่องอากาศ ซึ่งจะมีผลต่อการสั่นสะเทือนในมอเตอร์เหนี่ยวนำ (Ishibashi, Noda, and Mochizuki, 1998) และ (Sakamoto, Hirata, Kobayashi, and Kajiwara, 1999) โดยที่

$$F_r = \frac{1}{2\mu_0} (B_r^2 - B_t^2) \quad (2-52)$$

$$F_t = \frac{1}{\mu_0} (B_r B_t) \quad (2-53)$$

ซึ่ง  $F_r$  และ  $F_t$  คือแรงแม่เหล็กไฟฟ้าในแนวรัศมีและแนวสัมผัสตามลำดับ โดยขนาดของการสั่นสะเทือนที่เกิดจากแรงแม่เหล็กไฟฟ้าในแนวสัมผัสจะมีค่าน้อยมากเมื่อเทียบกับแนวรัศมี ดังนั้น การพิจารณาแรงแม่เหล็กไฟฟ้าที่กระทำกับช่องอากาศของมอเตอร์ในงานวิจัยนี้ จึงพิจารณาเฉพาะในแนวรัศมีเท่านั้น (Tarnhuvud, and Reichert, 1988) และ (Neves, Carlson, Sadowski, and Bastos, 1998)

## 2.4 สรุป

ในบทนี้ ได้นำเสนอแบบจำลองทางคณิตศาสตร์ของสนามแม่เหล็กในมอเตอร์เหนี่ยวนำ สามเฟส เมื่อพิจารณามอเตอร์ในสถานะชั่วคราว ประกอบกับวัสดุที่ใช้ทำมอเตอร์มีความไม่เป็นเชิงเส้นสูง ซึ่งแบบจำลองทางคณิตศาสตร์จะปรากฏอยู่ในรูปของสมการอนุพันธ์ย่อยอันดับสอง การประยุกต์วิธีไฟไนต์เอลิเมนต์เพื่อกำหนดค่าฟลักซ์แม่เหล็กได้ใช้วิธีการถ่วงน้ำหนักเศษตักข้างของกาลเลอร์คิน รายละเอียดต่างๆ ในบทนี้ จะนำไปสู่การประดิษฐ์โปรแกรมไฟไนต์เอลิเมนต์เพื่อใช้เป็นโปรแกรมจำลองผลระบบที่จะได้กล่าวถึงในบทที่ 4 ต่อไป

## บทที่ 3

### การคำนวณการสันสะท้อนทางกลของมอเตอร์เหนี่ยวนำโดยวิธีไฟไนท์อิลิเมนต์

#### 3.1 บทนำ

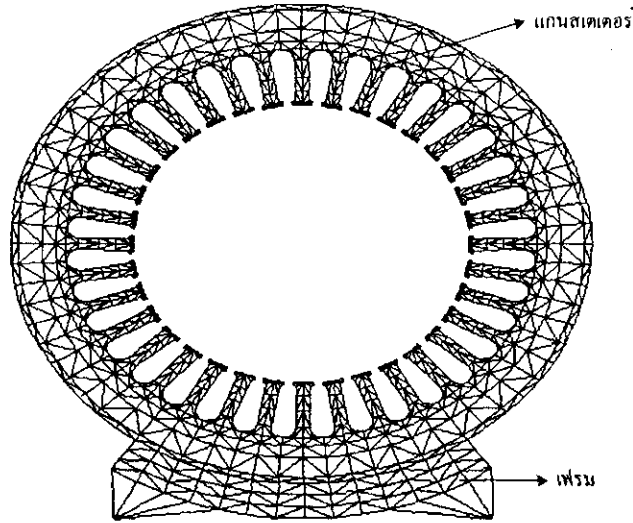
การคำนวณขนาดของการสันสะท้อนทางกลของมอเตอร์เหนี่ยวนำสามเฟสในขณะที่โรเตอร์หมุน โดยแสดงผลของการสันสะท้อนในรูปของการกระจัดที่ผิดเพี้ยนไปจากรูปร่างดั้งเดิมของมอเตอร์ ก่อนข้างดำเนินการได้ยาก เนื่องจากผลลัพธ์ของการกระจัดอย่างละเอียดที่ครอบคลุมตลอดทั้งพื้นที่หน้าตัดของมอเตอร์ต้องอาศัยการคำนวณที่มีความซับซ้อนสูง ซึ่งปัจจุบันคอมพิวเตอร์มีสมรรถนะสูงและมีหน่วยความจำขนาดใหญ่ จึงสามารถคำนวณการสันสะท้อนทางกลของมอเตอร์ในทุกๆ ตำแหน่งด้วยวิธีไฟไนท์อิลิเมนต์ได้ ดังนั้นในบทนี้จึงได้ประยุกต์วิธีไฟไนท์อิลิเมนต์เพื่อใช้ในการคำนวณหาขนาดของการสันสะท้อนนี้

#### 3.2 การคำนวณการสันสะท้อนโดยวิธีไฟไนท์อิลิเมนต์

การคำนวณขนาดของการสันสะท้อนในมอเตอร์ จะอาศัยวิธีไฟไนท์อิลิเมนต์เพื่อสร้างสมการการเคลื่อนที่ โดยพิจารณาการสันในรูปของฟังก์ชันการกระจัด ซึ่งการดำเนินงานจะมีขั้นตอนคล้ายคลึงกับการคำนวณค่าสนามแม่เหล็กด้วยวิธีไฟไนท์อิลิเมนต์จากบทที่ 2 ที่ผ่านมา โดยมีขั้นตอนการดำเนินงานต่างๆ ดังนี้

##### 3.2.1 การแบ่งอิลิเมนต์ของพื้นที่ศึกษา

เริ่มจากการแบ่งพื้นที่หน้าตัดของมอเตอร์ออกเป็นอิลิเมนต์รูปสามเหลี่ยมสามจุดต่อ โดยสมมติลักษณะการกระจายของผลลัพธ์โดยประมาณ ณ ตำแหน่งใดๆ บนอิลิเมนต์เป็นแบบเชิงเส้น การแบ่งอิลิเมนต์และจุดต่อของมอเตอร์ ได้ใช้โปรแกรม MATLAB ที่พัฒนาขึ้น โดยมีจำนวนจุดต่อและอิลิเมนต์เท่ากับ 1,343 จุด และ 1,822 อิลิเมนต์ ตามลำดับ ดังแสดงด้วยรูปที่ 3.1 ซึ่งจากรูปการคำนวณการสันสะท้อนได้แบ่งพื้นที่การพิจารณาออกเป็น 2 ส่วน ได้แก่ ส่วนของแกนสเตเตอร์และส่วนของเฟรม โดยการสันสะท้อนบนแกนสเตเตอร์จะถูกส่งผ่านไปยังเฟรม (Henneberger, Sattler, Hadrys, and Shen, 1992), (Durantay, Laurent, Messin, and Kromer, 1999) และ (Ishibashi, Kamimoto, Noda, and Itomi, 2003)



รูปที่ 3.1 การแบ่งอิลิเมนต์และจุดต่อของมอเตอร์เพื่อคำนวณการสั่นสะเทือน

### 3.2.2 ฟังก์ชันการประมาณภายในและสมการของอิลิเมนต์

การสร้างสมการการเคลื่อนที่ของอิลิเมนต์ เมื่อพิจารณาการสั่นของมอเตอร์ในฟังก์ชันของการกระจัด โดยสมมติให้พื้นที่หน้าตัดของมอเตอร์ไม่มีความหนาหรืออาจพิจารณาในรูปของแผ่นบาง (thin plate) (Rao, 1999) สมการการเคลื่อนที่ของอิลิเมนต์สามารถแสดงได้ดังสมการที่ (3-1) ซึ่งเป็นสมการไฟไนท์อิลิเมนต์สำหรับแต่ละอิลิเมนต์ที่มี 6 สมการประกอบรวมกัน

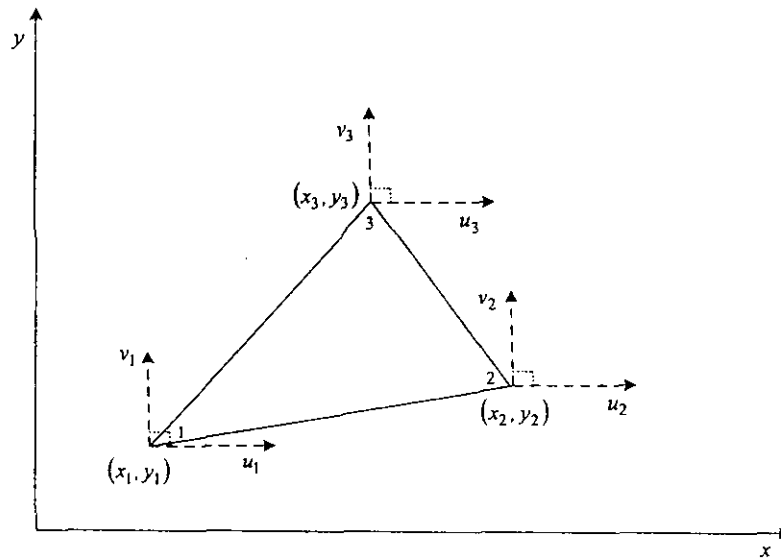
$$[M]_{6 \times 6} \{ \ddot{d} \}_{6 \times 1} + [C]_{6 \times 6} \{ \dot{d} \}_{6 \times 1} + [K]_{6 \times 6} \{ d \}_{6 \times 1} = \{ F \}_{6 \times 1} \quad (3-1)$$

- โดย  $[M]_{6 \times 6}$  = เมทริกซ์มวล (mass matrix)  
 $[C]_{6 \times 6}$  = เมทริกซ์ความหน่วง (damping matrix)  
 $[K]_{6 \times 6}$  = เมทริกซ์ความแข็งของสปริง (stiffness matrix)  
 $\{ F \}_{6 \times 1}$  = เวกเตอร์ของแรงหรือโมเมนต์ที่มากระทำ  
 $\{ d \}_{6 \times 1}$  = เวกเตอร์การกระจัดเพื่อใช้หาอนุพันธ์ย่อยอันดับหนึ่ง  $\{ \dot{d} \}_{6 \times 1}$  และสอง  $\{ \ddot{d} \}_{6 \times 1}$  เทียบกับเวลา หรืออีกนัยหนึ่งคือเวกเตอร์ความสัมพันธ์ของความเร็วและความเร่งตามลำดับ

ซึ่งแรงที่กระทำกับช่องอากาศของมอเตอร์ เกิดจากการนำแรงแม่เหล็กไฟฟ้าตรงกลางซึ่งในแต่ละซี่ของสเตเตอร์ที่ติดกับช่องอากาศ คูณด้วยพื้นที่ในบริเวณที่มีแรงกระทำ ซึ่งแรงแม่เหล็กไฟฟ้าดังกล่าวเป็นผลลัพธ์จากการคำนวณดังที่ได้อธิบายไว้ในบทที่ 2 และในที่นี้ได้กำหนดค่าให้แรงกระทำกับแผ่น

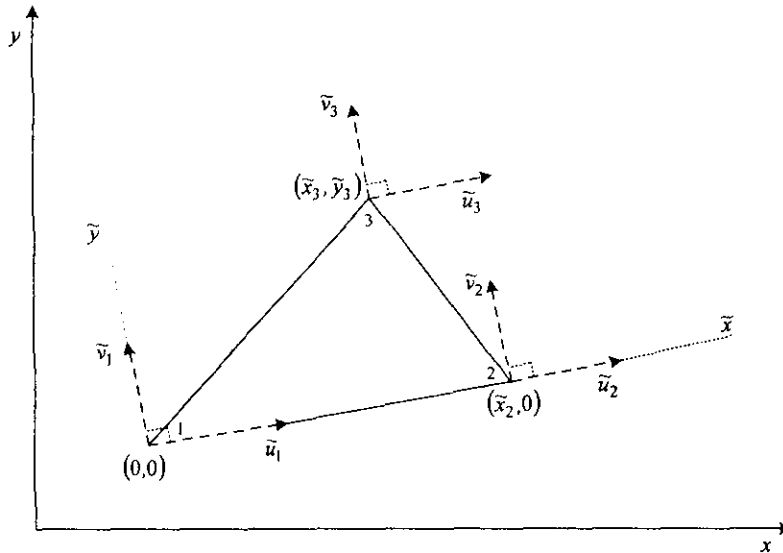
บางซึ่งมีความหนาแน่นน้อยมาก ส่วนเวกเตอร์การกระจัดที่แสดงในสมการที่ (3-2) เป็นการแสดงระยะกระจัดบนจุดต่อหมายเลข 1, 2 และ 3 ในทิศทางทวนเข็มนาฬิกาต่อหนึ่งอิเลเมนต์ โดย  $u$  และ  $v$  แทนระยะกระจัดในแนวแกน  $x$  และ  $y$  ตามลำดับ ดังแสดงในรูปที่ 3.2 ซึ่งการแสดงระนาบพิกัดในลักษณะเช่นนี้ จะเรียกว่าระนาบพิกัดวงกว้าง (global coordinate)

$$\{d\} = \{u_1 \quad v_1 \quad u_2 \quad v_2 \quad u_3 \quad v_3\}^T \quad (3-2)$$



รูปที่ 3.2 อิเลเมนต์สามเหลี่ยมเมื่อพิจารณาในระนาบพิกัดวงกว้าง

การพิจารณาการกระจัดของแต่ละอิเลเมนต์ที่มีลักษณะการวางตัวในแต่ละอิเลเมนต์ที่แตกต่างกัน จะต้องพิจารณารวางตัวของทุกๆ อิเลเมนต์ให้อยู่ในรูปแบบเดียวกันเสียก่อน ซึ่งดำเนินการได้โดยแปลงระนาบพิกัดวงกว้างให้เป็นระนาบพิกัดเฉพาะถิ่น (local coordinate) (Rao, 1999) ดังแสดงด้วยรูปที่ 3.3 ซึ่งดำเนินการได้โดย กำหนดให้ที่จุดต่อหมายเลข 1 ของทุกๆ อิเลเมนต์มีพิกัดเฉพาะถิ่น  $(\tilde{x}_1, \tilde{y}_1)$  อยู่ที่จุดกำเนิด  $(0,0)$  โดยที่แกน  $\tilde{x}$  ของทุกๆ อิเลเมนต์บนระนาบพิกัดเฉพาะถิ่นจะวางตัวตามฐานของสามเหลี่ยมระหว่างจุดต่อหมายเลข 1 และ 2 และแกน  $\tilde{y}$  จะตั้งฉากกับแกน  $\tilde{x}$  ดังนั้นจุดต่อหมายเลข 2 ของทุกๆ อิเลเมนต์จึงมีพิกัดเฉพาะถิ่น  $(\tilde{x}_2, \tilde{y}_2)$  เป็น  $(\tilde{x}_2, 0)$  และ  $(\tilde{x}_3, \tilde{y}_3)$  คือจุดต่อหมายเลข 3 ของพิกัดเฉพาะถิ่น โดยมี  $\tilde{u}$  และ  $\tilde{v}$  ที่จุดต่อหมายเลขต่างๆ แทนระยะกระจัดในแนวแกน  $\tilde{x}$  และ  $\tilde{y}$  ตามลำดับ เมื่อสร้างสมการอิเลเมนต์ในระนาบพิกัดเฉพาะถิ่นเพื่อพิจารณาฟังก์ชันการประมาณภายในอิเลเมนต์แล้ว จากนั้นจึงแปลงกลับไปเป็นสมการอิเลเมนต์ในระนาบพิกัดวงกว้าง  $(x,y)$  ดังเดิม



รูปที่ 3.3 อิลิเมนต์สามเหลี่ยมเมื่อพิจารณาระนาบพิกัดเฉพาะถิ่น

การพิจารณาฟังก์ชันการประมาณภายในอิลิเมนต์ ยังคงพิจารณาลักษณะการกระจายของผลเฉลยบนอิลิเมนต์เป็นแบบเชิงเส้นเช่นเดียวกับที่เคยกล่าวมาแล้วในบทที่ 2 ซึ่งลักษณะการกระจายของผลเฉลยบนอิลิเมนต์เมื่อพิจารณาระนาบพิกัดเฉพาะถิ่น สามารถแสดงได้ดังสมการที่ (3-3) และ (3-4)

$$u(\tilde{x}, \tilde{y}) = \tilde{u}_1 N_1 + \tilde{u}_2 N_2 + \tilde{u}_3 N_3 \quad (3-3)$$

$$v(\tilde{x}, \tilde{y}) = \tilde{v}_1 N_1 + \tilde{v}_2 N_2 + \tilde{v}_3 N_3 \quad (3-4)$$

โดยที่  $N_n$ ,  $n = 1, 2, 3$  คือฟังก์ชันการประมาณภายในอิลิเมนต์ และ  $\tilde{u}_n$ ,  $\tilde{v}_n$  เมื่อ  $n = 1, 2, 3$  คือผลลัพธ์ของการกระจัดในแนวแกน  $\tilde{x}$  และ  $\tilde{y}$  ในแต่ละจุดต่อ (1, 2, 3) ของอิลิเมนต์ตามลำดับ ซึ่ง

$$N_n = \frac{a_n + \beta_n \tilde{x} + \gamma_n \tilde{y}}{2\Delta_e} \quad (3-5)$$

โดยที่



$$\begin{aligned}
a_1 &= \tilde{x}_2 \tilde{y}_3 - \tilde{x}_3 \tilde{y}_2, & \beta_1 &= \tilde{y}_2 - \tilde{y}_3, & \gamma_1 &= \tilde{x}_3 - \tilde{x}_2 \\
a_2 &= \tilde{x}_3 \tilde{y}_1 - \tilde{x}_1 \tilde{y}_3, & \beta_2 &= \tilde{y}_3 - \tilde{y}_1, & \gamma_2 &= \tilde{x}_1 - \tilde{x}_3 \\
a_3 &= \tilde{x}_1 \tilde{y}_2 - \tilde{x}_2 \tilde{y}_1, & \beta_3 &= \tilde{y}_1 - \tilde{y}_2, & \gamma_3 &= \tilde{x}_2 - \tilde{x}_1
\end{aligned} \tag{3-6}$$

และ  $\Delta_e$  คือพื้นที่ของแต่ละอิเลเมนต์ ซึ่งคำนวณได้ดังนี้

$$\Delta_e = \frac{1}{2} \begin{vmatrix} 1 & \tilde{x}_1 & \tilde{y}_1 \\ 1 & \tilde{x}_2 & \tilde{y}_2 \\ 1 & \tilde{x}_3 & \tilde{y}_3 \end{vmatrix} = \frac{1}{2} [\tilde{x}_2(\tilde{y}_3 - \tilde{y}_1) + \tilde{x}_1(\tilde{y}_2 - \tilde{y}_3) + \tilde{x}_3(\tilde{y}_1 - \tilde{y}_2)] \tag{3-7}$$

จากสมการไฟไนต์อิเลเมนต์ในสมการที่ (3-1) สามารถคำนวณอิเลเมนต์เมทริกซ์ความแข็งของสปริงและอิเลเมนต์เมทริกซ์มวลได้ดังที่จะอธิบายต่อจากนี้ไป ซึ่งในงานวิจัยนี้จะไม่พิจารณาถึงอิเลเมนต์เมทริกซ์ความหน่วงเนื่องจากมีผลต่อการสั่นสะเทือนทางกลของมอเตอร์ค่อนข้างน้อย (Henneberger, Sattler, Hadrys, and Shen, 1992)

เมทริกซ์ความแข็งของสปริง:  $[K]_{6 \times 6}$

ดำเนินการโดยพิจารณาการวางตัวของอิเลเมนต์ในระนาบพิกัดเฉพาะถิ่นเพื่อให้ทุกๆ อิเลเมนต์มีการวางตัวอยู่ในรูปแบบเดียวกันก่อน ซึ่งเมทริกซ์ความแข็งของสปริงเฉพาะถิ่น (local stiffness matrix,  $[\tilde{K}]$ ) เกิดจากผลรวมของเมทริกซ์ความแข็งของสปริงเนื่องจากความเค้นในแนวฉาก (normal stress,  $[\tilde{K}_n]$ ) และเมทริกซ์ความแข็งของสปริงเนื่องจากความเค้นเฉือน (shear stress,  $[\tilde{K}_s]$ ) ดังแสดงได้ในสมการที่ (3-8), (3-9) และ (3-10) ตามลำดับ

$$[\tilde{K}] = [\tilde{K}_n] + [\tilde{K}_s] \tag{3-8}$$

$$[\tilde{K}_n] = \frac{hE}{4\Delta_e(1-\nu^2)} \begin{bmatrix} \beta_1^2 & \nu\beta_1\gamma_1 & \beta_1\beta_2 & \nu\beta_1\gamma_2 & \beta_1\beta_3 & \nu\beta_1\gamma_3 \\ & \gamma_1^2 & \nu\beta_2\gamma_1 & \gamma_1\gamma_2 & \nu\beta_3\gamma_1 & \gamma_1\gamma_3 \\ & & \beta_2^2 & \nu\beta_2\gamma_2 & \beta_2\beta_3 & \nu\beta_2\gamma_3 \\ & & & \gamma_2^2 & \nu\beta_3\gamma_2 & \gamma_2\gamma_3 \\ & & & & \beta_3^2 & \nu\beta_3\gamma_3 \\ & & & & & \gamma_3^2 \end{bmatrix} \tag{3-9}$$

sym

$$[\tilde{K}_s] = \frac{hE}{8\Delta_e(1+\nu)} \begin{bmatrix} \gamma_1^2 & \beta_1\gamma_1 & \gamma_1\gamma_2 & \beta_2\gamma_1 & \gamma_1\gamma_3 & \beta_3\gamma_1 \\ & \beta_1^2 & \beta_1\gamma_2 & \beta_1\beta_2 & \beta_1\gamma_3 & \beta_1\beta_3 \\ & & \gamma_2^2 & \beta_2\gamma_2 & \gamma_2\gamma_3 & \beta_3\gamma_2 \\ & & & \beta_2^2 & \beta_2\gamma_3 & \beta_2\beta_3 \\ \text{sym} & & & & \gamma_3^2 & \beta_3\gamma_3 \\ & & & & & \beta_3^2 \end{bmatrix} \quad (3-10)$$

ซึ่ง  $E$ ,  $\nu$  และ  $h$  คือค่ามอดุลัส (modulus) อัตราส่วนของปัวซอง (Poisson's ratio) และความหนาในแต่ละอิลิเมนต์ตามลำดับ เมื่อคำนวณเมทริกซ์ความแข็งของสปริงเฉพาะถิ่นได้แล้ว จากนั้นแปลงกลับเป็นเมทริกซ์ความแข็งของสปริงที่แท้จริงได้ในสมการที่ (3-11)

$$[K] = [R]^T [\tilde{K}] [R] \quad (3-11)$$

โดยที่

$$[R] = \begin{bmatrix} \cos(\tilde{x}, x) & \cos(\tilde{x}, y) & 0 & 0 & 0 & 0 \\ \cos(\tilde{y}, x) & \cos(\tilde{y}, y) & 0 & 0 & 0 & 0 \\ 0 & 0 & \cos(\tilde{x}, x) & \cos(\tilde{x}, y) & 0 & 0 \\ 0 & 0 & \cos(\tilde{y}, x) & \cos(\tilde{y}, y) & 0 & 0 \\ 0 & 0 & 0 & 0 & \cos(\tilde{x}, x) & \cos(\tilde{x}, y) \\ 0 & 0 & 0 & 0 & \cos(\tilde{y}, x) & \cos(\tilde{y}, y) \end{bmatrix} \quad (3-12)$$

จากสมการที่ (3-12) สมาชิกในเมทริกซ์  $[R]$  จะประกอบไปด้วยฟังก์ชันโคไซน์ระบุทิศทาง (directional cosine) ซึ่งเป็นค่าที่ใช้สำหรับถ่ายโอนจากระบบพิกัดเฉพาะถิ่นสู่ระบบพิกัดวงกว้าง ดังแสดงด้วยความสัมพันธ์นี้

$$\begin{aligned} \cos(\tilde{x}, x) &= \frac{x_2 - x_1}{\sqrt{(x_2 - x_1)^2 + (y_2 - y_1)^2}} & \cos(\tilde{x}, y) &= \frac{y_2 - y_1}{\sqrt{(x_2 - x_1)^2 + (y_2 - y_1)^2}} \\ \cos(\tilde{y}, x) &= -\frac{y_2 - y_1}{\sqrt{(x_2 - x_1)^2 + (y_2 - y_1)^2}} & \cos(\tilde{y}, y) &= \frac{x_2 - x_1}{\sqrt{(x_2 - x_1)^2 + (y_2 - y_1)^2}} \end{aligned}$$

เมทริกซ์มวล:  $[M]_{6 \times 6}$

ดำเนินการโดยพิจารณาการวางตัวของอิลิเมนต์ในระนาบพิกัดเฉพาะถังก่อนเช่นกัน ดังแสดงได้ในสมการที่ (3-13)

$$[\tilde{M}] = \frac{\rho h \Delta_e}{12} \begin{bmatrix} 2 & 0 & 1 & 0 & 1 & 0 \\ 0 & 2 & 0 & 1 & 0 & 1 \\ 1 & 0 & 2 & 0 & 1 & 0 \\ 0 & 1 & 0 & 2 & 0 & 1 \\ 1 & 0 & 1 & 0 & 2 & 0 \\ 0 & 1 & 0 & 1 & 0 & 2 \end{bmatrix} \quad (3-13)$$

ซึ่ง  $\rho$  คือค่าความหนาแน่นมวล (mass density) ในแต่ละอิลิเมนต์ จากนั้นแปลงกลับเป็นเมทริกซ์มวลที่แท้จริงได้ในสมการที่ (3-14)

$$[M] = [R]^T [\tilde{M}] [R] \quad (3-14)$$

การนำสมการการเคลื่อนที่ของแต่ละอิลิเมนต์ที่ได้มาประกอบกันเป็นสมการรวมสำหรับการเคลื่อนที่ของระบบ โดยหากเราแบ่งลักษณะรูปร่างของปัญหาออกเป็นอิลิเมนต์ย่อยซึ่งประกอบด้วย  $n$  จุดต่อ จึงก่อให้เกิดระบบสมการรวมสำหรับการเคลื่อนที่ของระบบ ซึ่งประกอบด้วยสมการย่อยจำนวนทั้งสิ้น  $2n$  สมการ ดังแสดงด้วยสมการที่ (3-15) ทั้งนี้เนื่องจากการพิจารณาการกระจัดจะพิจารณาทั้งแนวแกน  $x$  และแกน  $y$  ร่วมกัน

$$[M]_{2n \times 2n} \{\ddot{d}\}_{2n \times 1} + [C]_{2n \times 2n} \{\dot{d}\}_{2n \times 1} + [K]_{2n \times 2n} \{d\}_{2n \times 1} = \{F\}_{2n \times 1} \quad (3-15)$$

### 3.3 การหาผลเฉลยสำหรับการสั่นสะเทือน

ในการวิเคราะห์สถานะชั่วคราวในขณะที่มีมอเตอร์หมุนไป ดังสมการการเคลื่อนที่ที่เวลา  $t$  ใดๆ ที่แสดงด้วยสมการที่ (3-16)

$$[M]\{\ddot{d}\}^t + [C]\{\dot{d}\}^t + [K]\{d\}^t = \{F\}^t \quad (3-16)$$

ซึ่งด้วย  $t$  หมายถึงค่าที่มีการเปลี่ยนแปลงตามเวลา จะสังเกตเห็นว่าเมทริกซ์  $[M]$ ,  $[C]$  และ  $[K]$  จะไม่มีการเปลี่ยนแปลงตามเวลาเมื่อมอเตอร์หมุนไป การแก้สมการสถานะชั่วคราวในงานวิจัยนี้ จะใช้วิธี

ผลต่างกลาง (central difference) เพราะเป็นวิธีที่นิยมใช้กันแพร่หลายสำหรับการแก้สมการการเคลื่อนที่ในสถานะชั่วคราว (Kwon and Bang, 2000) โดยเมื่อพิจารณาวิธีผลต่างกลาง จะได้

$$\{\ddot{d}\}^t = \frac{1}{\Delta t^2} [\{d\}^{t+\Delta t} - 2\{d\} + \{d\}^{t-\Delta t}] \quad (3-17)$$

$$\{\dot{d}\}^t = \frac{1}{2\Delta t} [\{d\}^{t+\Delta t} - \{d\}^{t-\Delta t}] \quad (3-18)$$

แทนค่าสมการที่ (3-17) และ (3-18) ลงในสมการที่ (3-16) จะได้

$$[M_{eff}] \{d\}^{t+\Delta t} = \{F_{eff}\} \quad (3-19)$$

โดยที่

$$[M_{eff}] = \left[ \frac{1}{\Delta t^2} [M] + \frac{1}{2\Delta t} [C] \right] \quad (3-20)$$

$$\{F_{eff}\} = \{F\}^t - \left[ [K] - \frac{2}{\Delta t^2} [M] \right] \{d\}^t - \left[ \frac{1}{\Delta t^2} [M] - \frac{1}{2\Delta t} [C] \right] \{d\}^{t-\Delta t} \quad (3-21)$$

ซึ่ง  $[M_{eff}]$  และ  $\{F_{eff}\}$  คือเมทริกซ์มวลประสิทธิผล (effective mass matrix) และเวกเตอร์แรงประสิทธิผล (effective force matrix) ตามลำดับ

### 3.4 สรุป

บทที่ 3 นี้ ได้อธิบายการประยุกต์วิธีไฟไนต์เอลิเมนต์เพื่อคำนวณหาขนาดของการสั่นสะเทือนทางกลในมอเตอร์เหนี่ยวนำสามเฟสเมื่อโรเตอร์หมุน โดยพิจารณาในรูปแบบของฟังก์ชันการกระจัด ซึ่งอาศัยสมการการเคลื่อนที่ในรูปของสมการอนุพันธ์สามัญอันดับสอง โดยพิจารณาพื้นที่หน้าตัดของมอเตอร์ในรูปของแผ่นบางซึ่งมีความหนาน้อยมาก รายละเอียดต่างๆ ในบทนี้ จะนำไปสู่การประดิษฐ์โปรแกรมไฟไนต์เอลิเมนต์เพื่อใช้เป็นโปรแกรมจำลองผลการสั่นสะเทือนทางกลที่จะได้กล่าวถึงในบทที่ 4 ต่อไป

## บทที่ 4

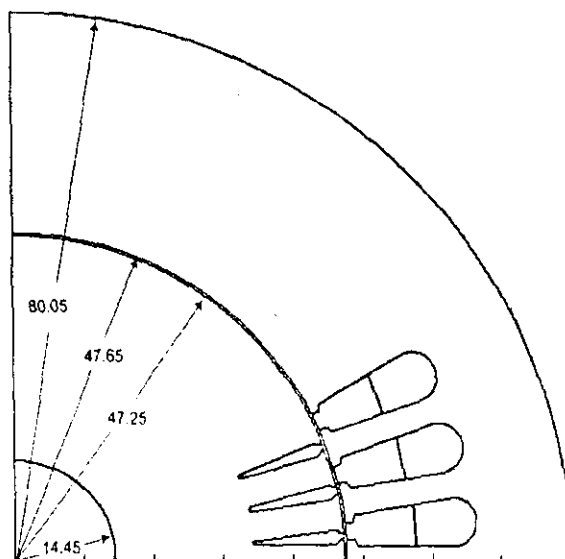
### โปรแกรมจำลองผลสนามแม่เหล็กและการสั้นสะท้อนทางกลของมอเตอร์เหนี่ยวนำ

#### 4.1 บทนำ

การจำลองผลเพื่อคำนวณหาค่าสนามแม่เหล็กและขนาดของการสั้นสะท้อนทางกลของมอเตอร์เหนี่ยวนำในงานวิจัยนี้ ได้ใช้คอมพิวเตอร์ Intel Pentium IV 1.60 GHz, 512 MB สำหรับประมวลผล โดยได้ประดิษฐ์ไฟไนท์อีลิเมนต์ขึ้นเป็นโปรแกรมคอมพิวเตอร์ที่พัฒนาขึ้นด้วย BORLAND C++ บนรากฐานของแบบจำลองทางคณิตศาสตร์ของสนามแม่เหล็กและสมการการเคลื่อนที่ที่ถูกต้อง โดยรับค่าอินพุตซึ่งเป็นคุณลักษณะของจุดต่อและอีลิเมนต์จากการสร้างกริดอัตโนมัติโดยใช้โปรแกรม MATLAB การจำลองผลนี้มีวัตถุประสงค์เพื่อศึกษาถึงการกระจายตัวของฟลักซ์แม่เหล็ก ณ ตำแหน่งต่างๆ บนพื้นที่หน้าตัดของมอเตอร์เมื่อโรเตอร์หมุนไป และวิเคราะห์ถึงขนาดและรูปร่างของการสั้นสะท้อนในมอเตอร์ ดังนั้นในบทที่ 4 นี้ จึงได้กล่าวถึงค่าพารามิเตอร์ต่างๆ ของมอเตอร์ที่ใช้ในการจำลองผล และอธิบายถึงโครงสร้างของโปรแกรมสร้างกริดอัตโนมัติ โปรแกรมจำลองผลสนามแม่เหล็ก และโปรแกรมคำนวณการสั้นสะท้อนทางกลในมอเตอร์

#### 4.2 พารามิเตอร์ของมอเตอร์

การจำลองผลสนามแม่เหล็กและการสั้นสะท้อนทางกลของมอเตอร์ ได้อาศัยพารามิเตอร์ต่างๆ ทั้งทางไฟฟ้าและทางกล โดยได้ดำเนินการรวบรวมไว้ในตารางที่ 4.1 ส่วนรายละเอียดภาคตัดและมิติต่างๆของมอเตอร์และร่องสเตเตอร์ได้แสดงไว้ในรูปที่ 4.1 และ 4.2 ตามลำดับ

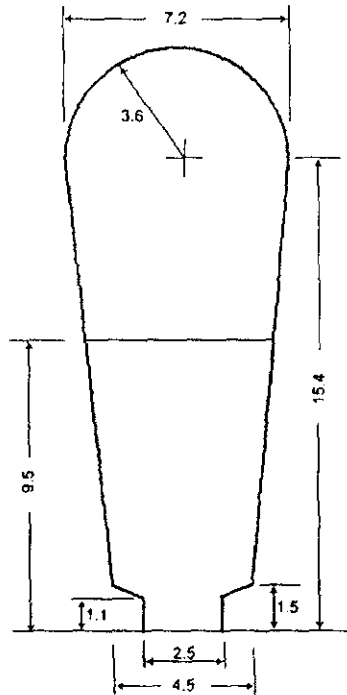


รูปที่ 4.1 ภาคตัดส่วนหนึ่งของมอเตอร์เหนี่ยวนำและมิติ (mm)

ตารางที่ 4.1 พารามิเตอร์ทางไฟฟ้าและทางกลของมอเตอร์เหนี่ยวนำสามเฟส

พารามิเตอร์	ค่า
กำลังงานขาออก	3 HP
แรงดันแหล่งจ่าย	380 V (ต่อแบบสตาร์)
จำนวนขั้ว	4 P
ความถี่แหล่งจ่าย	50 Hz
ความเร็วพิกัด	1455 rpm
ความต้านทานของขดลวดสเตเตอร์	1.11 $\Omega/\phi$
ความต้านทานของขดลวดโรเตอร์	0.47 $\Omega/\phi$
รีแอกแตนซ์ของขดลวดสเตเตอร์	1.05 $\Omega/\phi$
รีแอกแตนซ์ของขดลวดโรเตอร์	1.05 $\Omega/\phi$
รีแอกแตนซ์ที่เกิดจากสนามแม่เหล็ก	22.09 $\Omega/\phi$
โมเมนต์ความเฉื่อยของมอเตอร์	0.089 Kg.m <sup>2</sup>
มอดูลัสของแกนสเตเตอร์	1.2 · 10 <sup>11</sup> N/m <sup>2</sup>
มอดูลัสของเฟรม (อลูมิเนียม)	7.1 · 10 <sup>10</sup> N/m <sup>2</sup>
ความหนาแน่นมวลของแกนสเตเตอร์	7.8 · 10 <sup>3</sup> Kg/m <sup>3</sup>
ความหนาแน่นมวลของเฟรม	0.9 · 10 <sup>3</sup> Kg/m <sup>3</sup>
อัตราส่วนของปิวของ	0.25
ชนิดการพันขดลวดสเตเตอร์	แบบสองชั้น
จำนวนร่องของสเตเตอร์	36 ร่อง
จำนวนร่องของโรเตอร์	44 ร่อง
ความกว้างช่องอากาศ	0.4 mm
ระยะพิคซ์	7/9 ร่อง
จำนวนรอบการพัน/ขดลวด	15 รอบ
เส้นผ่าศูนย์กลางของขดลวดสเตเตอร์	1.8 mm
สภาพนำทางไฟฟ้าของแท่งตัวนำโรเตอร์	4.90 · 10 <sup>7</sup> $\Omega^{-1}/m$

หมายเหตุ แหล่งที่มาของพารามิเตอร์เหล่านี้ได้จากการรวบรวมข้อมูลจากหนังสือและบทความทางวิชาการจำนวนมาก ที่มีการดำเนินงานกับมอเตอร์ขนาดพิกัดใกล้เคียงกันกับงานวิจัยนี้ เพื่อให้ได้มาซึ่งค่าพารามิเตอร์ของมอเตอร์ที่สมบูรณ์และเพียงพอต่อการจำลองผล



รูปที่ 4.2 ภาคตัดของร่องสแกนเตอร์และมิติ (mm)

### 4.3 โครงสร้างของโปรแกรมจำลองผล

โปรแกรมจำลองผลเพื่อศึกษาถึงการกระจายตัวของสนามแม่เหล็ก และโปรแกรมจำลองผลเพื่อศึกษาถึงการสั้นสะท้อนทางกลในมอเตอร์เหนี่ยวนำสามเฟส เกิดจากการประดิษฐ์ไฟไนต์อีลิเมนต์ขึ้นเป็นโปรแกรมคอมพิวเตอร์ด้วย BORLAND C++ โดยกริดที่สร้างขึ้นเพื่อกำกับคุณลักษณะของจุดต่อและอีลิเมนต์ที่ป้อนให้แก่โปรแกรมไฟไนต์อีลิเมนต์ เกิดจากการพัฒนาโปรแกรมการสร้างกริดอัตโนมัติด้วย MATLAB ซึ่งรายละเอียดของโปรแกรมดังกล่าวสามารถแสดงได้ดังนี้

#### 4.3.1 โปรแกรมสร้างกริดอัตโนมัติ

โปรแกรมสำเร็จรูปสำหรับสร้างกริดที่ใช้กันอยู่ทั่วไปในวิธีไฟไนต์อีลิเมนต์ มีราคาแพงและขาดความยืดหยุ่นที่จะใช้กับงานที่มีการเปลี่ยนแปลงตำแหน่งและรูปร่างของวัตถุอยู่ตลอดเวลา อย่างไรก็ตามการสร้างกริดเมื่อโรเตอร์ของมอเตอร์เหนี่ยวนำมีการหมุนและมีรูปร่างของร่องโรเตอร์เปลี่ยนแปลงไป ดังนั้นจึงได้พัฒนาอัลกอริทึมขึ้นมาใหม่พร้อมประดิษฐ์ขึ้นเป็นโปรแกรมคอมพิวเตอร์เพื่อการสร้างกริดอัตโนมัติของมอเตอร์เหนี่ยวนำสามเฟส ซึ่งได้พัฒนาโปรแกรมขึ้นด้วย MATLAB แล้วคอมไพล์เป็นไฟล์ .exe ซึ่งผลลัพธ์ในรูปแบบเอาต์พุตไฟล์ จะได้รับการนำไปเป็นข้อมูลอินพุตให้แก่โปรแกรมคำนวณสนามแม่เหล็กดังที่จะได้กล่าวถึงในหัวข้อต่อไป ลักษณะโครงสร้างของโปรแกรมสร้างกริดอัตโนมัติสามารถอธิบายได้ดังนี้

โครงสร้างของโปรแกรมสร้างกริดอัตโนมัติประกอบด้วยโปรแกรมหลักและหลายโปรแกรมย่อยที่ทำหน้าที่ต่างๆ กัน ขั้นตอนการทำงานของโปรแกรมประกอบด้วย

โปรแกรมเริ่มต้นทำงาน โดยรับค่าอินพุตที่ประกอบด้วยรูปร่างของร่องโรเตอร์ และมุมที่โรเตอร์หมุนไปในทุกๆ รอบการคำนวณ ซึ่งจะเป็นการอ่านข้อมูลในช่วงแรกของโปรแกรมหลัก

ขั้นตอนการระบุหมายเลขของอิติเม้นท์และหมายเลขของจุดต่อ พร้อมทั้งค่าพิคคของแต่ละจุดต่อในส่วนของพื้นที่โรเตอร์ ทั้งแกนของโรเตอร์และร่องของโรเตอร์ รวมถึงการจัดกลุ่มพื้นที่ของแต่ละอิติเม้นท์และจุดต่อให้เป็นหมวดหมู่ เพื่อง่ายต่อการบ่งชี้ถึงแต่ละกลุ่มพื้นที่ที่มีค่าพารามิเตอร์ที่ต่างกัน และง่ายต่อการกำหนดค่าเงื่อนไขขอบเขต ซึ่งขั้นตอนดังกล่าวนี้จะปรากฏอยู่ในโปรแกรมย่อย

ขั้นตอนการระบุหมายเลขของอิติเม้นท์และหมายเลขของจุดต่อ พร้อมทั้งค่าพิคคของแต่ละจุดต่อในส่วนของพื้นที่ช่องอากาศ ที่เป็นชั้นแรกติดกับขอบของโรเตอร์จากจำนวนทั้งสิ้น 4 ชั้น โดยปรากฏอยู่ในโปรแกรมย่อย

ขั้นตอนการระบุหมายเลขของอิติเม้นท์และหมายเลขของจุดต่อ พร้อมทั้งค่าพิคคของแต่ละจุดต่อในส่วนของพื้นที่ช่องอากาศชั้นที่ 2, 3 และ 4 ซึ่งในขั้นตอนนี้ของช่องอากาศชั้นที่ 2 ต้องคำนึงถึงการเชื่อมโยงกริดให้เหมาะสมและสอดคล้องกับมุมต่างๆ ที่โรเตอร์หมุนเปลี่ยนตำแหน่งไป ซึ่งขั้นตอนทั้งหมดดังกล่าวนี้จะปรากฏอยู่ในโปรแกรมย่อย

ขั้นตอนการระบุหมายเลขของอิติเม้นท์และหมายเลขของจุดต่อ พร้อมทั้งค่าพิคคของแต่ละจุดต่อในส่วนของพื้นที่สเตเตอร์ ทั้งแกนของสเตเตอร์และร่องของสเตเตอร์ ซึ่งในขั้นตอนนี้ต้องคำนึงถึงการเชื่อมโยงกริดระหว่างส่วนของช่องอากาศและส่วนของสเตเตอร์ควบคู่ไปด้วย เพื่อสร้างอิติเม้นท์ของช่องอากาศในชั้นที่ 4 ที่ติดกับส่วนของสเตเตอร์อย่างเหมาะสม ทั้งนี้เนื่องจากส่วนของช่องอากาศและส่วนของสเตเตอร์มีจำนวนจุดต่อที่ไม่เท่ากัน ซึ่งขั้นตอนทั้งหมดดังกล่าวนี้จะปรากฏอยู่ในโปรแกรมย่อย

ขั้นตอนวาดภาพแสดงการวางตัวของแต่ละอิติเม้นท์พร้อมตำแหน่งของแต่ละจุดต่อตลอดทั้งพื้นที่หน้าตัดของมอเตอร์ โดยปรากฏอยู่ในโปรแกรมย่อย

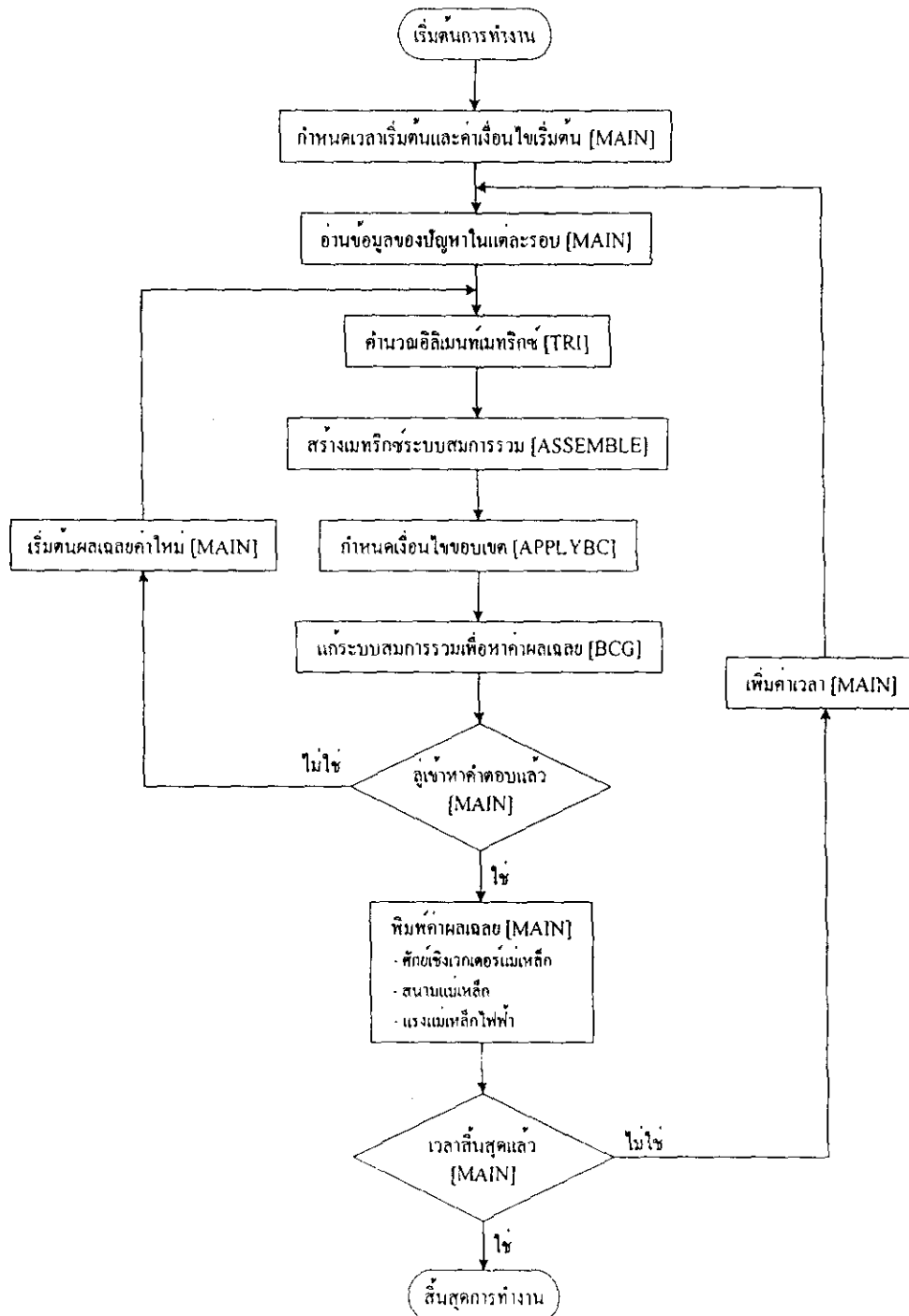
พิมพ์ผลเลขซึ่งให้รายละเอียดข้อมูลของจุดต่อและอิติเม้นท์ของแต่ละรอบลงในไฟล์ที่ต้องการ เพื่อใช้เป็นข้อมูลอินพุตสำหรับป้อนให้โปรแกรมคำนวณสนามแม่เหล็กที่จะได้กล่าวถึงในหัวข้อต่อไป ซึ่งจะอยู่ในส่วนของโปรแกรมหลัก

#### 4.3.2 โปรแกรมคำนวณสนามแม่เหล็ก

การคำนวณสนามแม่เหล็กในมอเตอร์เหนี่ยวนำสามเฟสสำหรับโรเตอร์หมุน เมื่อพิจารณาคุณสมบัติความไม่เป็นเชิงเส้น พร้อมทั้งคำนึงถึงการเปลี่ยนแปลงตามเวลา ค่อนข้างคำนวณได้ยากเนื่องจากมีความซับซ้อนสูง แต่ปัจจุบันคอมพิวเตอร์มีสมรรถนะสูงและมีหน่วยความจำขนาด



ใหญ่ จึงสามารถคำนวณสนามแม่เหล็กด้วยวิธีไฟไนท์อิลิเมนต์ได้ง่ายและรวดเร็วขึ้น โปรแกรมสำเร็จรูปสำหรับคำนวณค่าสนามแม่เหล็กที่ใช้กันอยู่ทั่วไป มีราคาแพง ประมวลผลช้า และไม่มีความคล่องตัวเมื่อพิจารณาถึงกรณีที่โรเตอร์หมุน ดังนั้นงานวิจัยนี้จึงประดิษฐ์ไฟไนท์อิลิเมนต์ขึ้นเป็นโปรแกรมคอมพิวเตอร์ด้วย BORLAND C++ เพื่อคำนวณค่าสนามแม่เหล็กในมอเตอร์เหนี่ยวนำ โครงสร้างของโปรแกรมคำนวณสนามแม่เหล็กอาจแทนได้ด้วยแผนภูมิในรูปที่ 4.3



รูปที่ 4.3 แผนภูมิแสดงการทำงานของโปรแกรมคำนวณสนามแม่เหล็ก

จากแผนภูมิในรูปที่ 4.3 ซึ่งแสดงโครงสร้างโปรแกรมจำลองผลของระบบโดยรวม เพื่อให้เกิดความเข้าใจถึงหน้าที่ของโปรแกรมแต่ละส่วน จะได้อธิบายถึงรายละเอียดหน้าที่ต่างๆ ดังต่อไปนี้

**โปรแกรมหลัก MAIN :** โปรแกรมหลักจะเริ่มทำงานด้วยการกำหนดค่าเวลาเริ่มต้น  $t=0$  สำหรับการคำนวณในรอบแรก ซึ่งจำนวนรอบหรือเวลาสิ้นสุดของการคำนวณ จะขึ้นอยู่กับจำนวนหรือเวลาที่ใช้ในการหมุนไปที่มุมต่างๆ ของมอเตอร์ โดยเมื่อมอเตอร์หมุนไปถึงลักษณะของอิเลิเมนต์ และจุดต่อจะแปรเปลี่ยนตามมุมที่หมุนไปด้วย โปรแกรมหลักยังมีหน้าที่ในการกำหนดค่าเงื่อนไขเริ่มต้น โดยงานวิจัยนี้มีค่าเงื่อนไขเริ่มต้นในรอบแรกคือการให้ผลเฉลยของค่าความแตกต่างในแต่ละรอบของศักย์เชิงเวกเตอร์แม่เหล็กเป็นศูนย์  $\Delta A(t=0) = 0$  ส่วนการหมุนรอบถัดไปจะใช้คำตอบจากรอบที่ผ่านมาเป็นค่าเงื่อนไขเริ่มต้น ทั้งนี้เพื่อให้การลู่เข้าหาคำตอบที่ถูกต้องดำเนินการได้รวดเร็ว จากนั้นโปรแกรมหลักจะรับค่าข้อมูลอินพุตซึ่งแสดงถึงลักษณะของอิเลิเมนต์และจุดต่อ จากเอาต์พุตไฟล์ของโปรแกรมการสร้างกริดอัตโนมัติที่คอมไพล์เป็นไฟล์ .exe ดังที่ได้กล่าวไว้แล้วในหัวข้อที่ผ่านมา โดยเมื่อโปรแกรมเริ่มคำนวณ โปรแกรมหลักจะมีหน้าที่แจ้งสถานะการคำนวณให้ผู้ใช้งานผ่านทางหน้าจอในทุกๆ รอบของการคำนวณ และหลังจากผลเฉลยของแต่ละรอบลู่เข้าหาคำตอบแล้ว จะพิมพ์ค่าผลเฉลยที่ต้องการออกมาและบันทึกไว้เป็นไฟล์ พร้อมทั้งส่งไฟล์นี้ให้แก่โปรแกรม MATLAB ไปดำเนินการทางด้านกราฟฟิคต่อ

**โปรแกรมย่อย TRI :** โปรแกรมย่อยนี้จะใช้คำนวณอิเลิเมนต์เมทริกซ์รูปสามเหลี่ยมสามจุดต่อของทุกๆ อิเลิเมนต์ ซึ่งในการคำนวณอิเลิเมนต์เมทริกซ์ของแต่ละอิเลิเมนต์ จะต้องคำนึงถึงความไม่เป็นเชิงเส้นของวัสดุที่ใช้ทำมอเตอร์ในแต่ละอิเลิเมนต์นั้นๆ ด้วย

**โปรแกรมย่อย ASSEMBLE :** โปรแกรมย่อยนี้ทำหน้าที่รวมอิเลิเมนต์เมทริกซ์ย่อยๆ ที่คำนวณจากโปรแกรมย่อย TRI เข้าเป็นเมทริกซ์ใหญ่ของระบบสมการรวม

**โปรแกรมย่อย APPLYBC :** โปรแกรมย่อยนี้ทำหน้าที่ประยุกต์เงื่อนไขขอบเขตก่อนทำการแก้ระบบสมการรวม โดยงานวิจัยนี้จะกำหนดค่าเงื่อนไขขอบเขตให้ขอบในที่ติดกับเพลลาและขอบนอกของมอเตอร์มีค่าศักย์เชิงเวกเตอร์แม่เหล็กเป็นศูนย์ ( $A = 0$ )

**โปรแกรมย่อย BCG :** โปรแกรมย่อยนี้จะทำหน้าที่แก้สมการเชิงเส้นเพื่อหาค่าผลเฉลยของระบบสมการรวมโดยการเลือกใช้วิธีไบ-คอนจูเกตเกรเดียนต์ (bi-conjugate gradient: BCG) ซึ่งวิธีนี้จะอาศัยกระบวนการทำซ้ำเพื่อลู่เข้าหาคำตอบ การใช้วิธีนี้จะเหมาะสมกับปัญหาที่มีขนาดใหญ่ โดยจะช่วยลดเวลาในการแก้สมการเชิงเส้นของระบบลงไปได้มาก และวิธีนี้ยังใช้ได้กับงานที่เมทริกซ์ของระบบไม่สมมาตร อย่างเช่นในงานวิจัยนี้ ทั้งนี้เป็นสาเหตุมาจากปัญหาที่นำมาพิจารณาที่มีความไม่เป็นเชิงเส้นปรากฏอยู่

### 4.3.3 โปรแกรมคำนวณการสันสะเทือน

การคำนวณขนาดของการสันสะเทือนทางกลในมอเตอร์เหนี่ยวนำสามเฟสสำหรับโรเตอร์หมุน ที่แสดงอยู่ในรูปของการกระจัดที่คิดเทียบไปจากรูปร่างดั้งเดิมของมอเตอร์ก่อนที่จะยังไม่มีความภายนอกกระทำ ก่อนข้างดำเนินการได้ยาก เนื่องจากผลลัพธ์ของการกระจัดอย่างละเอียดที่ครอบคลุมตลอดทั้งพื้นที่หน้าตัดของมอเตอร์ต้องอาศัยการคำนวณที่มีความซับซ้อนสูง ปัจจุบันคอมพิวเตอร์มีสมรรถนะสูงและมีหน่วยความจำขนาดใหญ่ จึงสามารถคำนวณการสันสะเทือนของมอเตอร์ในทุกๆ ตำแหน่งด้วยวิธีไฟไนต์อิลิเมนต์ได้ ดังนั้นงานวิจัยนี้จึงประดิษฐ์ไฟไนต์อิลิเมนต์ขึ้นเป็นโปรแกรมคอมพิวเตอร์ด้วย BORLAND C++ เพื่อคำนวณขนาดของการสันสะเทือนในมอเตอร์เหนี่ยวนำ ซึ่งลำดับการทำงานของโปรแกรมคำนวณการสันสะเทือน สามารถแทนได้ด้วยแผนภูมิดังรูปที่ 4.4

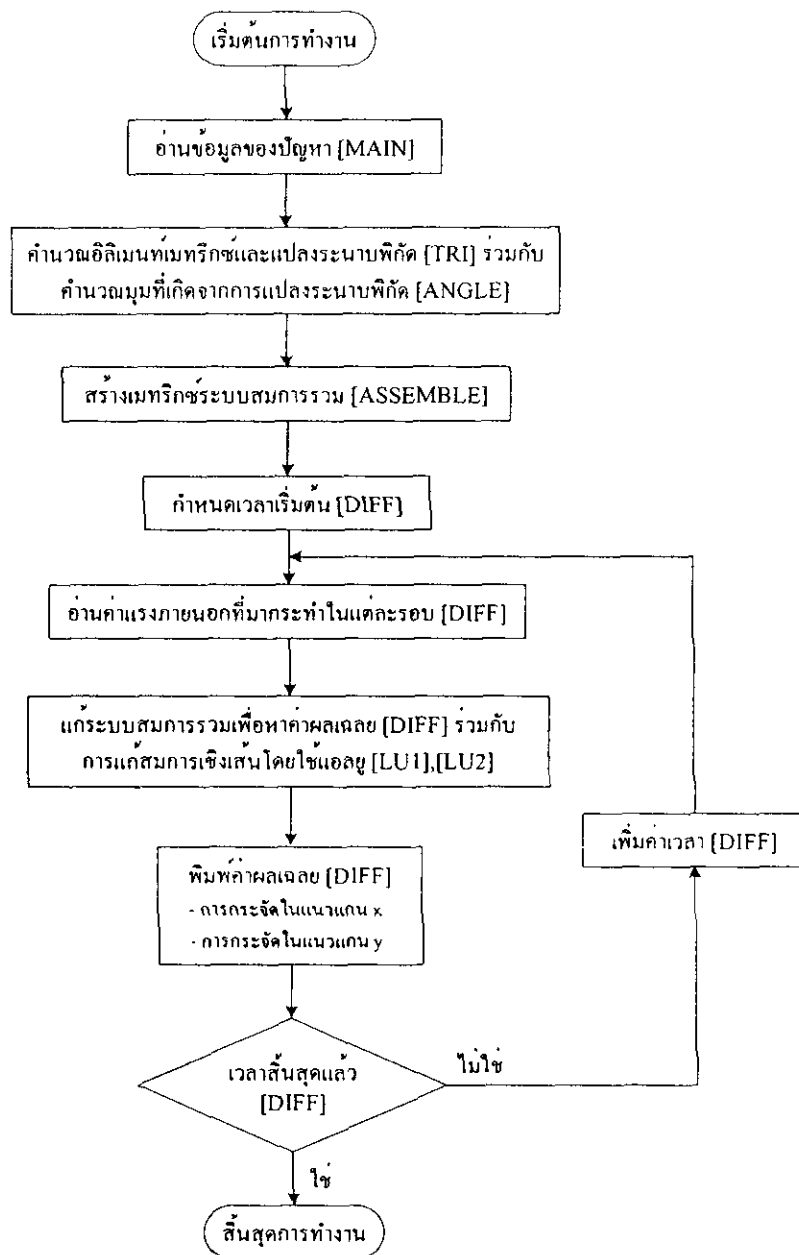
จากแผนภูมิดังรูปที่ 4.4 อาจเข้าใจได้ถึงลำดับการทำงานของโปรแกรม โดยโปรแกรมหลักและโปรแกรมย่อยต่างๆ มีหน้าที่ต่างกันไป ดังต่อไปนี้

*โปรแกรมหลัก MAIN* : โปรแกรมหลักทำหน้าที่รับค่าข้อมูลต่างๆ ได้แก่ จำนวนและตำแหน่งของจุดต่อ หมายเลขของจุดต่อที่ประกอบขึ้นเป็นอิลิเมนต์ จำนวนและหมายเลขของอิลิเมนต์ และค่าพารามิเตอร์ทางวัสดุที่ใช้ทำแกนสเตเตอร์และเฟรมของมอเตอร์ ซึ่งเป็นข้อมูลอินพุตที่เรียกใช้ตอนเริ่มต้นของโปรแกรมเพียงครั้งเดียว เนื่องจากเมื่อพิจารณาการสันสะเทือนจะพิจารณาในส่วนของแกนสเตเตอร์และเฟรมเท่านั้น ซึ่งจะไม่ปรากฏการเปลี่ยนแปลงพิคัดใดๆ เลยเมื่อโรเตอร์หมุนไป

*โปรแกรมย่อย TRI* : โปรแกรมย่อยนี้ใช้คำนวณอิลิเมนต์เมทริกซ์รูปสามเหลี่ยมสามจุดต่อของทุกๆ อิลิเมนต์ และทำหน้าที่ในการแปลงระนาบพิคัดวงกว้างไปเป็นระนาบพิคัดเฉพาะถิ่น โดยทำงานร่วมกับโปรแกรมย่อย *ANGLE* และแปลงกลับไปเป็นระนาบพิคัดวงกว้างตามเดิม เพื่อนำไปสร้างเป็นระบบเมทริกซ์สมการรวม

*โปรแกรมย่อย ANGLE* : โปรแกรมย่อยนี้ทำงานร่วมกับโปรแกรมย่อย *TRI* ในการคำนวณค่ามุมที่เปลี่ยนแปลงไปจากการแปลงระนาบพิคัดวงกว้างไปเป็นระนาบพิคัดเฉพาะถิ่น

*โปรแกรมย่อย ASSEMBLE* : โปรแกรมย่อยนี้ทำหน้าที่รวมอิลิเมนต์เมทริกซ์ย่อยๆ ที่คำนวณจากโปรแกรมย่อย *TRI* เข้าเป็นเมทริกซ์ใหญ่ของระบบสมการรวม



รูปที่ 4.4 แผนภูมิแสดงการทำงานของโปรแกรมคำนวณการสั่นสะเทือน

**โปรแกรมย่อย DIFF:** โปรแกรมย่อยนี้จะทำหน้าที่แก้สมการการเคลื่อนที่ในรูปของสมการสามัญอันดับสองเพื่อหาค่าผลเฉลยของระบบสมการรวม โดยเลือกใช้วิธีผลต่างกลาง และเมื่อเข้าสู่กระบวนการแก้ระบบสมการเชิงเส้น ได้เลือกใช้วิธีการแยกแบบแอลยูมาพิจารณา โดยจะทำงานร่วมกับโปรแกรมย่อย *LU1* และ *LU2* โปรแกรมย่อย *DIFF* เริ่มทำงานด้วยการกำหนดค่าเวลาเริ่มต้นที่  $t = 0$  และเวลาสิ้นสุด  $T_f$  ของการคำนวณ โดยรับค่าข้อมูลอินพุตซึ่งเป็นแรงแม่เหล็กไฟฟ้าที่เปลี่ยนแปลงไปตามการหมุนของโรเตอร์ ซึ่งได้จากผลลัพธ์ของโปรแกรมคำนวณสนามแม่เหล็กในหัวข้อที่ผ่านมา โดยโปรแกรมจะแจ้งสถานะการคำนวณผ่านทางหน้าจอทุกๆ รอบของการคำนวณ

และหลังจากถึงเวลาสิ้นสุดแล้ว จะพิมพ์ค่าผลเฉลยที่ต้องการออกมา ซึ่งประกอบด้วยค่าการกระจัดในแนวแกน  $x$  และ  $y$  ที่เปลี่ยนแปลงไปจากตำแหน่งดั้งเดิมของทุกๆ จุดต่อ พร้อมทั้งส่งค่าเหล่านี้ในรูปแบบเอาต์พุตไฟล์ให้แก่โปรแกรม MATLAB ไปดำเนินการทางด้านกราฟฟิคต่อ

โปรแกรมย่อย *LU1*: โปรแกรมย่อยนี้ทำงานร่วมกับโปรแกรมย่อย *DIFF* เพื่อการแก้ระบบสมการเชิงเส้นด้วยวิธีการแยกแบบแอลยู เฉพาะที่เวลาเริ่มต้นที่  $t = 0$  เท่านั้น

โปรแกรมย่อย *LU2*: โปรแกรมย่อยนี้ทำงานร่วมกับโปรแกรมย่อย *DIFF* เพื่อการแก้ระบบสมการเชิงเส้นด้วยวิธีการแยกแบบแอลยู เมื่อ  $t > 0$  จนถึงเวลาสิ้นสุด  $T_f$

#### 4.4 สรุป

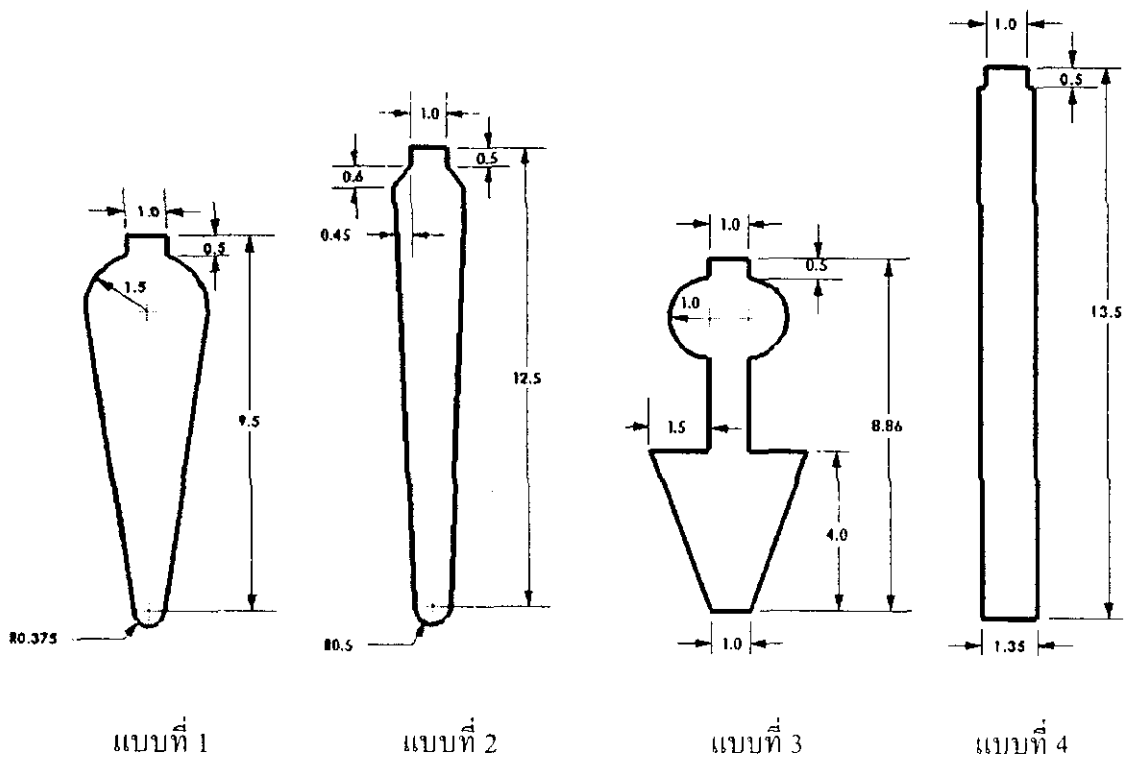
การวิเคราะห์สนามแม่เหล็กและการสั้นสะเทือนทางกลในมอเตอร์เหนี่ยวนำสามเฟส เมื่อพิจารณาปัญหาแบบไม่เป็นเชิงเส้นในสถานะชั่วคราวก่อนข้างดำเนินการ ได้ยากและมีความซับซ้อน การทำความเข้าใจอย่างละเอียดและลึกซึ้งต่อค่าสนามแม่เหล็กและขนาดของการสั้นสะเทือนทางกลที่แปรเปลี่ยนไปในขณะที่โรเตอร์หมุน จึงยากเกินกว่าที่จะคาดเดาหรือจินตนาการได้ เป็นเหตุให้ต้องพึ่งพาเทคนิคการจำลองผลระบบด้วยคอมพิวเตอร์ดังที่บทที่ 4 ได้นำเสนอไว้ โปรแกรมจำลองผลสนามแม่เหล็กและการสั้นสะเทือนทางกลในบทนี้ได้รับการพัฒนาขึ้นด้วย BORLAND C++ โดยมีโครงสร้างของโปรแกรมจำลองผลสนามแม่เหล็กและ โปรแกรมจำลองผลการสั้นสะเทือนดังที่อธิบายด้วยแผนภูมิในรูปที่ 4.3 และ 4.4 ตามลำดับ โปรแกรมดังกล่าวจะรับค่าอินพุตซึ่งแสดงตำแหน่งของอิสิเมนต์และจุดต่อจากโปรแกรมการสร้างกริดอัตโนมัติที่พัฒนาขึ้นด้วย MATLAB และโปรแกรมจำลองผลดังกล่าวจะส่งค่าผลลัพธ์ที่ได้ให้โปรแกรม MATLAB อีกครั้ง เพื่อการแสดงผลในรูปกราฟฟิค

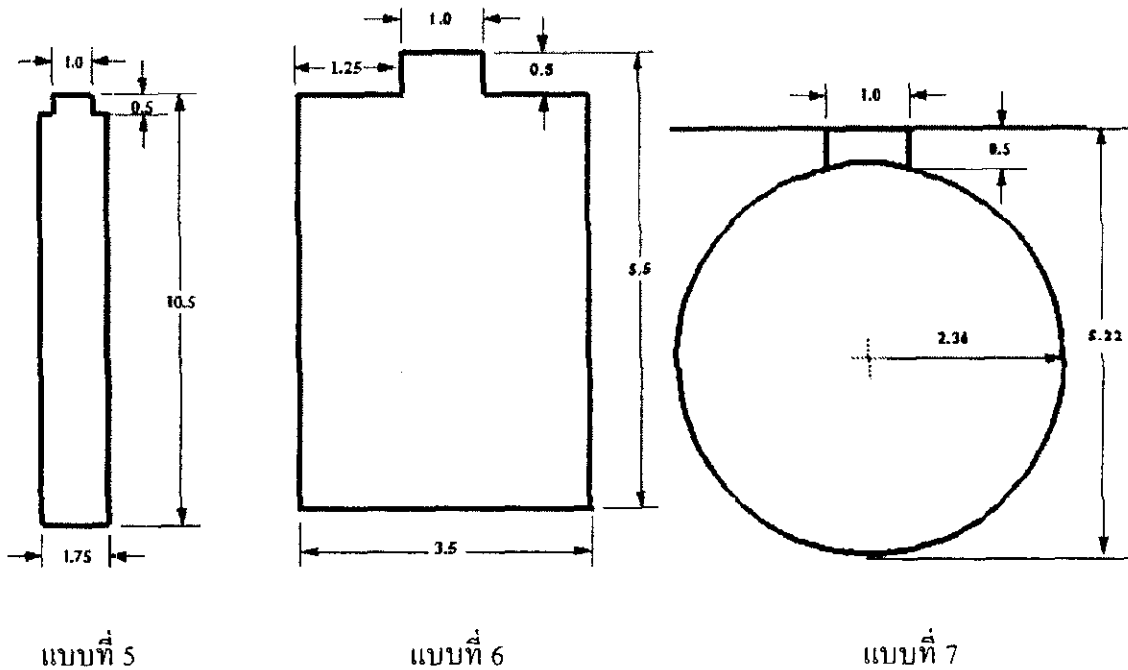
## บทที่ 5

### การศึกษาและวิเคราะห์ผลของการสั้นสะเทือนทางกลในมอเตอร์เมื่อพิจารณารูปร่าง ร่องโรเตอร์แบบต่างๆ ตามมาตรฐาน IEEE

#### 5.1 บทนำ

การศึกษาผลของการสั้นสะเทือนทางกลในมอเตอร์ของบทที่ 5 นี้ มีวัตถุประสงค์เพื่อเปรียบเทียบขนาดของการสั้นสะเทือนเมื่อพิจารณารูปร่างร่องโรเตอร์แบบต่างๆ ตามมาตรฐาน IEEE โดยพิจารณาแหล่งจ่ายไฟที่จ่ายเข้ามอเตอร์เป็นรูปคลื่นไซน์บริสุทธิ์อันเป็นแหล่งจ่ายพื้นฐาน ซึ่งในงานวิจัยนี้ได้พิจารณารูปร่างร่องโรเตอร์ทั้งหมด 7 แบบ ดังแสดงภาคตัดและมิติของร่องโรเตอร์ไว้ในรูปที่ 5.1 โดยมีเกณฑ์ขนาดพื้นที่หน้าตัดของร่องโรเตอร์มีค่าเท่ากันเท่ากับ  $18 \text{ mm}^2$  การศึกษาจะอาศัยการจำลองผลทางไฟฟ้าและทางกลโดยอาศัยโปรแกรมที่ได้กล่าวถึงไว้ในบทที่ 4 เพื่อแสดงถึงศักยภาพเชิงเวกเตอร์แม่เหล็กซึ่งได้รับการเสนอในรูปคอนทัวร์ให้เห็นถึงวิถีของเส้นแรงแม่เหล็กที่กระจายตัวอยู่บนพื้นที่หน้าตัดของมอเตอร์ พร้อมทั้งค่าสนามแม่เหล็กและแรงแม่เหล็กไฟฟ้าที่กระทำกับช่องอากาศอันเป็นตัวการที่ทำให้เกิดการสั้นสะเทือนในรูปของการกระจัดที่บิดเบี้ยวไปของสเตเตอร์ พร้อมทั้งอภิปรายผลลัพธ์ที่ได้ในเชิงเปรียบเทียบกับลักษณะทางกายภาพของรูปร่างร่องโรเตอร์ในแต่ละแบบ





แบบที่ 5

แบบที่ 6

แบบที่ 7

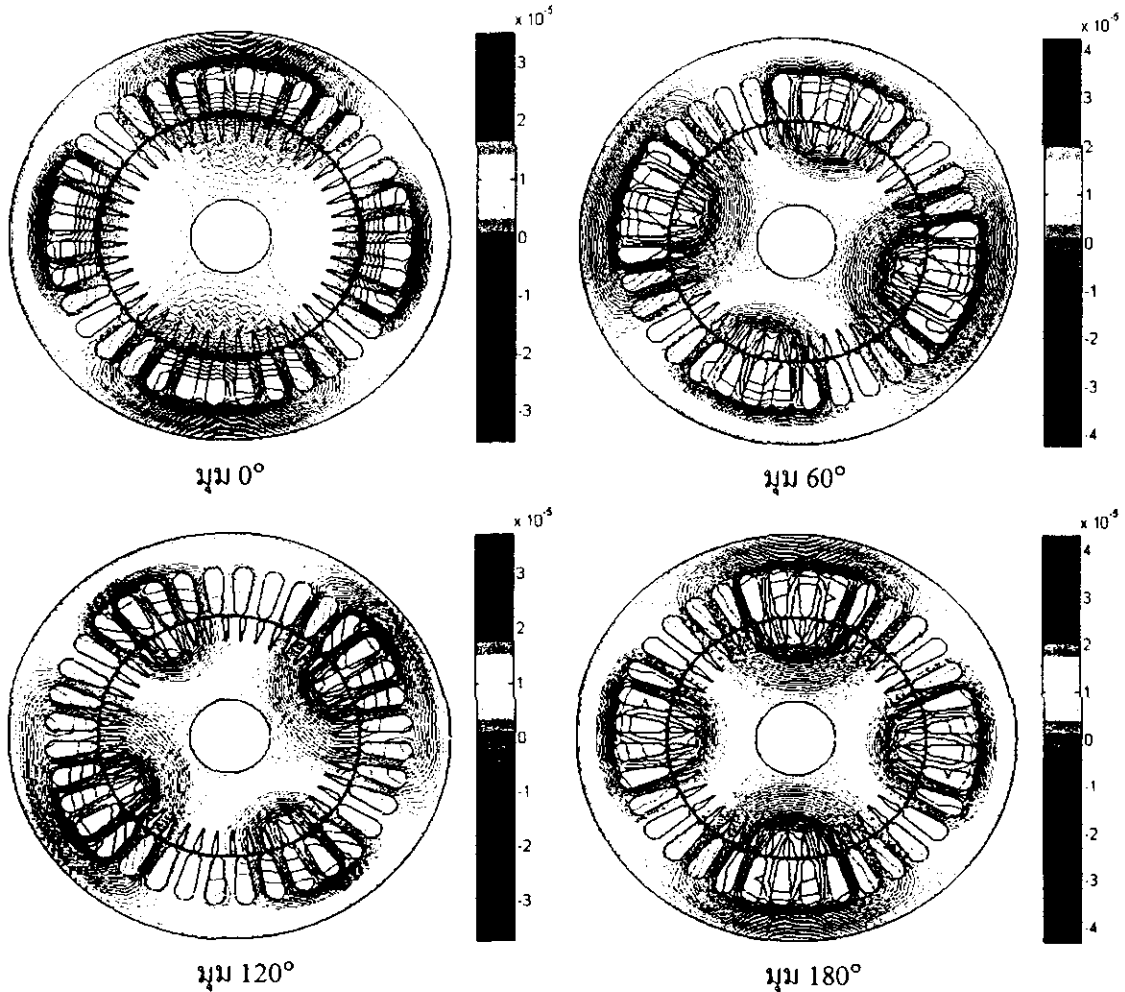
รูปที่ 5.1 ภาคตัดและมิติ (mm) ของร็องโรเตอร์แบบต่างๆ ทั้ง 7 แบบ ตามมาตรฐาน IEEE

## 5.2 ผลของสนามแม่เหล็กและการสั้นสะท้อนทางกล

ด้วยการคำนวณโดยโปรแกรมจำลองผลสนามแม่เหล็กที่พัฒนาขึ้น ผลลัพธ์ที่ปรากฏในขั้นต้นของการจำลองผลเมื่อพิจารณาร็องโรเตอร์แบบต่างๆ คือค่าศักย์เชิงเวกเตอร์แม่เหล็ก  $A$  (Wb/mm) ที่จุดต่อต่างๆ ซึ่งได้รับการแสดงผลในรูปคอนทัวร์ ให้เห็นถึงวิถีของเส้นแรงแม่เหล็กที่กระจายตัวอยู่บนพื้นที่หน้าตัดของมอเตอร์ เมื่อโรเตอร์หมุนไปที่ตำแหน่งมุมต่างๆ กัน ดังแสดงด้วยรูปที่ 5.2 ซึ่งเป็นการพิจารณาร็องโรเตอร์แบบที่ 1 เมื่อโรเตอร์หมุนทวนเข็มนาฬิกาทำมุม  $0^\circ$ ,  $60^\circ$ ,  $120^\circ$  และ  $180^\circ$  เทียบกับแกน  $x+$

จากรูปที่ 5.2 จะสังเกตเห็นว่า ทางเดินของเส้นแรงแม่เหล็กที่กระจายตัวอยู่บนพื้นที่หน้าตัดของมอเตอร์ เมื่อพิจารณามอเตอร์หมุนในสถานะอยู่ตัวและมีโหลดเต็มพิกัด ปรากฏให้เห็นถึงจำนวนขั้วแม่เหล็ก N (สีแดง) และ S (สีน้ำเงิน) สลับกันไปจำนวน 4 ขั้ว เท่ากับจำนวนขั้วของมอเตอร์ที่ใช้ในการจำลองผลอย่างเด่นชัด โดยเส้นแรงแม่เหล็กจะเริ่มเข้าทางเดินเมื่อโรเตอร์หมุนผ่านไปประมาณ  $180^\circ$  (ในกรณีที่พิจารณาในสภาวะไร้อะไรโหลดจะมีค่าเท่ากับ  $180^\circ$  พอดี (Ishibashi, Noda, and Mochizuki, 1998)) และเส้นแรงแม่เหล็กจะแสดงพฤติกรรมที่เรียกว่าสนามแม่เหล็กหมุน โดยมีทิศทางการหมุนทวนเข็มนาฬิกาไปในทิศทางเดียวกับการหมุนของโรเตอร์ที่ใช้ในการจำลองผล ส่วนทางเดินของเส้นแรงแม่เหล็กที่กระจายตัวอยู่บนพื้นที่หน้าตัดของมอเตอร์เมื่อพิจารณาร็องโรเตอร์แบบที่ 2 - แบบที่ 7 จะมีลักษณะคล้ายคลึงกับเมื่อพิจารณาร็องโรเตอร์แบบที่ 1 ซึ่งปรากฏให้เห็นถึง

ขั้วแม่เหล็ก N และ S สลับกันไป ประกอบกับแสดงพฤติกรรมของสนามแม่เหล็กหมุนเช่นกัน โดย ร่องโรเตอร์ทั้ง 7 แบบ ต่างมีวิถีของเส้นแรงแม่เหล็กและขนาดของศักย์เชิงเวกเตอร์แม่เหล็ก  $A$  ที่ใกล้เคียงกันมาก

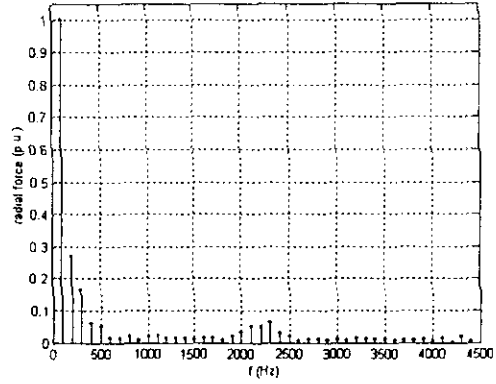
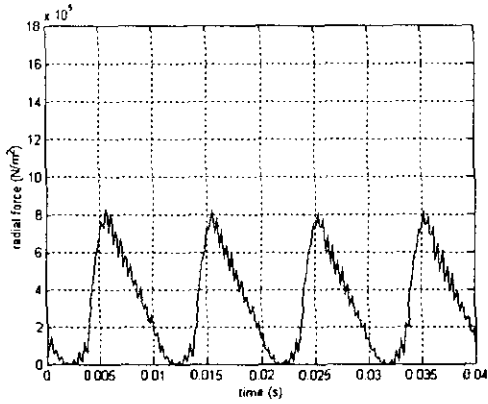


รูปที่ 5.2 เส้นแรงแม่เหล็กเมื่อพิจารณาร่องโรเตอร์แบบที่ 1 เมื่อโรเตอร์หมุนไป

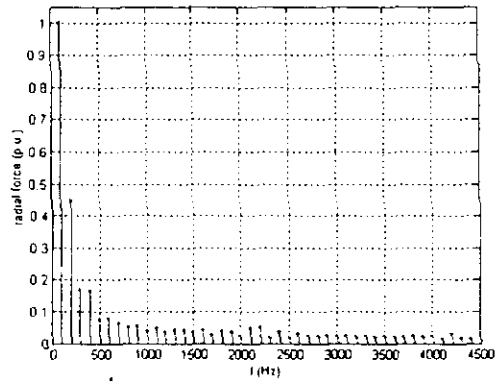
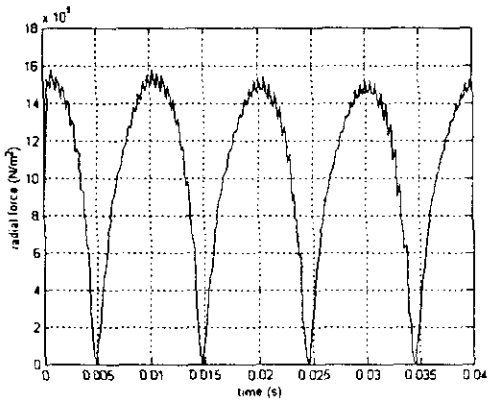
ค่าศักย์เชิงเวกเตอร์แม่เหล็กที่ได้จากการจำลองผลในแต่ละจุดต่อที่กระจายบนพื้นที่หน้าตัดตามแนวแกน  $z$  ของมอเตอร์ ( $A$ ) จะนำไปใช้ในการคำนวณหาค่าสนามแม่เหล็กในแนวรัศมี ( $B_r$ ) ที่กระทำกับช่องอากาศของมอเตอร์ตรงส่วนของฟันสเตเตอร์ในแต่ละซี่ทั้ง 36 ซี่ ที่มีมุมการหมุนของโรเตอร์แปรเปลี่ยนไป เมื่อคำนวณหาค่าสนามแม่เหล็กแล้ว จากนั้นจึงใช้สมการความเค้นของแมกซ์เวลล์หาค่าแรงแม่เหล็กไฟฟ้าในแนวรัศมี ( $F_r$ ) ที่กระทำกับช่องอากาศตรงฟันสเตเตอร์ในแต่ละซี่ โดยรูปที่ 5.3 เป็นการแสดงค่า  $F_r$  เทียบกับเวลาเมื่อพิจารณาร่องโรเตอร์แบบที่ 1 ควบคู่กับการแสดงสเปกตรัมเพื่อบ่งบอกถึงปริมาณฮาร์มอนิกที่ความถี่ต่างๆ โดยพิจารณา  $F_r$  กระทำกับช่องอากาศ



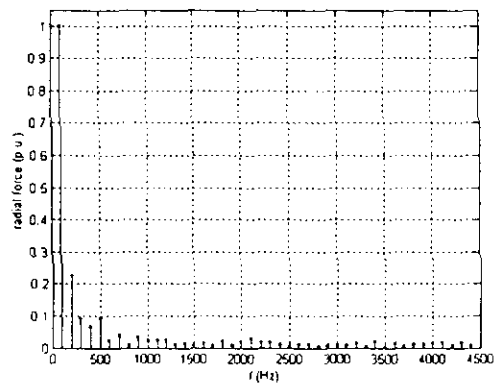
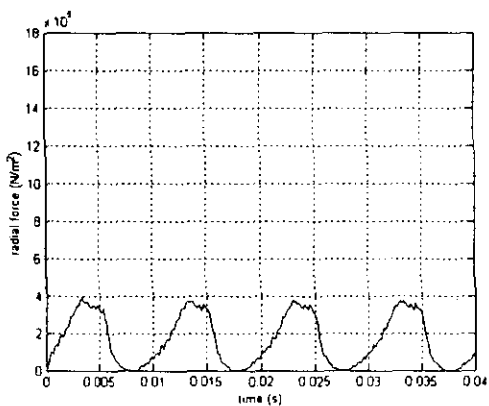
ตรงส่วนของฟืนสเตเตอร์เมื่อโรเตอร์หมุนครบ 1 รอบ เฉพาะในซี่ที่ 1, 5 และ 9 จากทั้งหมด 36 ซี่  
 ทังนี้ผลของ  $F_r$  จะเริ่มซ้ำเป็นคาบในทุกๆ 9 ซี่ ซึ่งสอดคล้องกับระยะ 1 พิตซ์ขั้วแม่เหล็ก



ซี่ที่ 1



ซี่ที่ 5



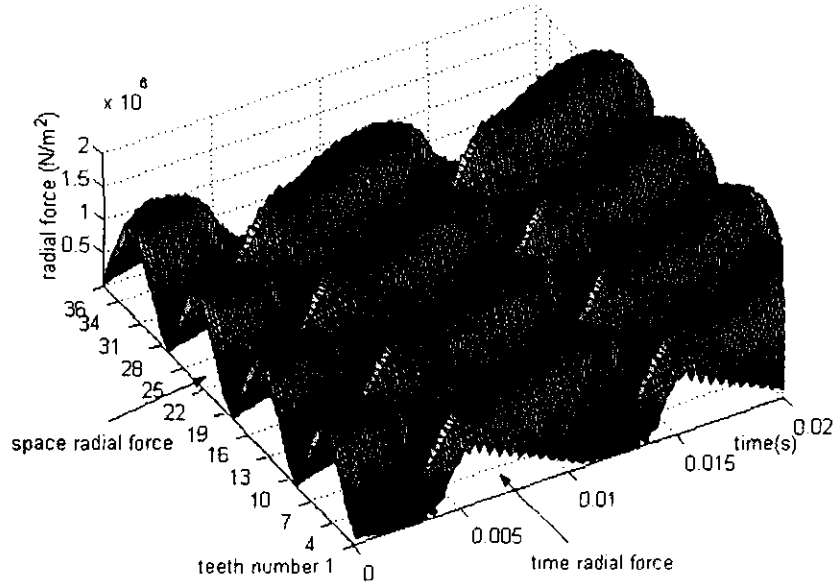
ซี่ที่ 9

รูปที่ 5.3 แรงแม่เหล็กไฟฟ้าและสเปกตรัมทางขนาดเมื่อพิจารณาร่องโรเตอร์แบบที่ 1  
 ที่กระทำกับฟืนสเตเตอร์

จากรูปที่ 5.3 จะสังเกตเห็นว่า รูปกราฟของ  $F_r$  เทียบกับเวลาเมื่อพิจารณาร่องโรเตอร์แบบที่ 1 จะมีลักษณะคล้ายรูปคลื่นไซน์ครึ่งคลื่นบวกและคล้ายฟันเลื่อยในบางกรณี ที่มีขนาดแตกต่างกันไปตามแรงที่กระทำกับฟันสเตเตอร์ในแต่ละซี่ และมีคาบประมาณ 0.01 วินาที หรือ 100 Hz (ในกรณีที่พิจารณาในสภาวะไร้อะไหล่จะมีค่าเท่ากับ 0.01 วินาทีพอดี ซึ่ง  $F_r$  จะมีความถี่เป็น 2 เท่า ของแหล่งจ่ายไฟฟ้า (Ishibashi, Noda, and Mochizuki, 1998)) โดยแรงแม่เหล็กไฟฟ้าที่กระทำกับฟันสเตเตอร์ในซี่ที่ 1 ดังแสดงในรูปที่ 5.3 จะมีค่าทั้งขนาดและเฟสเท่ากับแรงที่กระทำในซี่ที่ 10, 19 และ 28 ทุกประการ ซึ่งสอดคล้องกับระยะ 1 พิตซ์ขั้วแม่เหล็กของมอเตอร์ที่ใช้ในการจำลองผล และแรงแม่เหล็กไฟฟ้าที่กระทำกับฟันสเตเตอร์ในซี่อื่นๆ ก็มีลักษณะเป็นอย่างนี้เช่นกัน ส่วนการแสดงผลสเปกตรัมทางขนาดของ  $F_r$  ที่สอดคล้องกับรูปคลื่นของ  $F_r$  เทียบกับเวลาที่กระทำกับฟันสเตเตอร์ในแต่ละซี่ จะใช้เป็นตัวแทนเพื่อตรวจสอบถึงความราบเรียบในการกระจายตัวของ  $F_r$  โดยได้นำเทคนิคการวิเคราะห์สัญญาณตามแนวทางการวิเคราะห์องค์ประกอบของฮาร์มอนิกในสัญญาณทางไฟฟ้า มาประยุกต์ใช้เพื่อตรวจสอบถึงความราบเรียบในการกระจายตัวของ  $F_r$  (Kim, Kwon, and Park, 1999) โดยได้นำศัพท์เฉพาะทางวิศวกรรม THD (total harmonic distortion) ซึ่งใช้ระบุปริมาณของฮาร์มอนิกที่มีอยู่ทั้งหมด มาเป็นตัวแทนสำหรับแสดงผลในเชิงปริมาณของความราบเรียบในการกระจายตัวของ  $F_r$  โดยสเปกตรัมของค่า  $F_r$  ในซี่ที่ 1 ถึงซี่ที่ 9 เมื่อพิจารณาร่องโรเตอร์แบบที่ 1 มีค่า THD เท่ากับ 34.97%, 24.45%, 41.50%, 53.09%, 55.32%, 54.74%, 51.36%, 61.50% และ 28.65% ตามลำดับ โดยจะสังเกตเห็นว่าค่า THD ที่พิจารณาในแต่ละซี่จะมีค่าที่ไม่เท่ากัน ดังนั้นจึงหาค่า THD เฉลี่ย ซึ่ง ได้จากการพิจารณาสเปกตรัมของแรงแม่เหล็กไฟฟ้าที่กระทำกับฟันสเตเตอร์ในทุกๆ ซี่ ทั้งหมด 36 ซี่ โดยจะมีค่า THD เฉลี่ย เท่ากับ 45.06% หรือเพื่อให้เกิดความชัดเจนยิ่งขึ้น จึงแสดงค่า  $F_r$  เทียบกับเวลาประกอบกับการกระทำที่ฟันของสเตเตอร์ในแต่ละซี่เมื่อพิจารณาร่องโรเตอร์แบบที่ 1 ได้ดังรูปที่ 5.4 โดยการกระจายตัวของ  $F_r$  ที่ปรากฏนี้ จะส่งผลต่อขนาดและรูปร่างของถาดสันสะเทือน ดังที่จะได้กล่าวถึงถัดไป

ส่วนผลลัพธ์ในการแสดงค่า  $F_r$  เทียบกับเวลาของร่องโรเตอร์แบบที่ 2 - แบบที่ 7 ที่แสดงควบคู่กับสเปกตรัมทางขนาด จะปรากฏกราฟ  $F_r$  เทียบกับเวลาที่มีลักษณะคล้ายรูปคลื่นไซน์ครึ่งคลื่นบวกและคล้ายฟันเลื่อยในบางกรณี ที่มีขนาดของ  $F_r$  ต่างกับกรณีที่พิจารณาร่องโรเตอร์แบบที่ 1 เพียงเล็กน้อย เพื่อให้เห็นถึงความแตกต่างระหว่างร่องโรเตอร์ทั้ง 7 แบบ จึงนำ THD มาเป็นตัวแทนสำหรับเปรียบเทียบความราบเรียบในการกระจายตัวของ  $F_r$  โดยสเปกตรัมของ  $F_r$  ในซี่ที่ 1 ถึงซี่ที่ 9 ของร่องโรเตอร์ทั้ง 7 แบบมีค่า THD เฉลี่ยแสดงดังตารางที่ 5.1 ซึ่งจากตารางที่ 5.1 จะสังเกตเห็นว่าค่า THD เฉลี่ยเมื่อพิจารณาร่องโรเตอร์ทั้ง 7 แบบมีค่าไม่แตกต่างกันมากนัก โดยร่องโรเตอร์แบบที่ 7 มีค่า THD เฉลี่ยต่ำที่สุด ส่วนร่องโรเตอร์แบบที่ 4 มีค่า THD เฉลี่ยสูงที่สุด และเมื่อพิจารณาการ

กระจายตัวของ  $F_r$  เมื่อพิจารณาร่องโรเตอร์แบบที่ 2 - แบบที่ 7 ก็มีลักษณะคล้ายคลึงกับเมื่อพิจารณาร่องโรเตอร์แบบที่ 1 ที่แสดงในรูปที่ 5.4 โดยจะต่างกันที่ขนาดของ  $F_r$  เพียงเล็กน้อยเท่านั้น



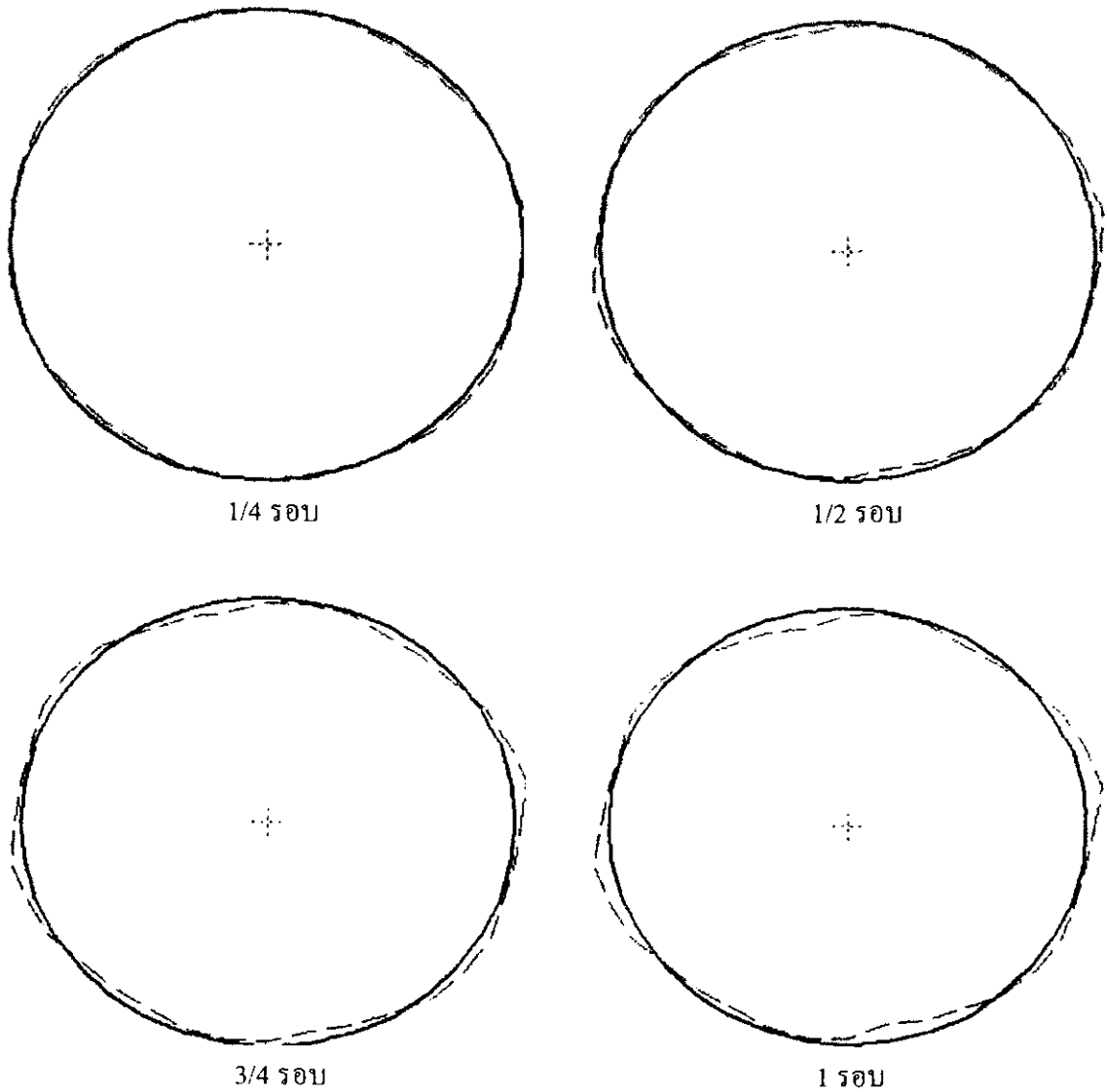
รูปที่ 5.4 การกระจายตัวของแรงแม่เหล็กไฟฟ้าเมื่อพิจารณาร่องโรเตอร์แบบที่ 1

ตารางที่ 5.1 ค่า THD ของแรงแม่เหล็กไฟฟ้าเมื่อพิจารณาร่องโรเตอร์ทั้ง 7 แบบ

รูปร่องโรเตอร์	ค่า THD (%)
แบบที่ 1	45.06
แบบที่ 2	46.31
แบบที่ 3	41.35
แบบที่ 4	47.52
แบบที่ 5	45.45
แบบที่ 6	41.00
แบบที่ 7	40.70

การศึกษาการสันสะเทือนในมอเตอร์ จะใช้โปรแกรมจำลองผลการสันสะเทือนดังแสดงรายละเอียดอยู่ในบทที่ 4 ซึ่งใช้วิธีไฟไนต์เอลิเมนต์เป็นเครื่องมือในการแก้ปัญหา วิธีการนี้สามารถนำมาซึ่งผลลัพธ์ของการกระจัดที่ละเอียดและครอบคลุมตลอดทั้งพื้นที่หน้าตัดของมอเตอร์ จากโปรแกรมจำลองผลการสันสะเทือน ผลลัพธ์ที่ปรากฏคือผลของการสันสะเทือนที่เป็นการกระจัดแสดงอยู่ในรูป

ของการบิดเบี้ยวไปจากเดิมตลอดวงรอบด้านในของสเตเตอร์ อันเป็นตัวชี้วัดถึงขนาดของการสั่นสะเทือนที่สังเกตและเข้าใจได้ง่าย ดังแสดงด้วยรูปที่ 5.5 เมื่อพิจารณาร่องโรเตอร์แบบที่ 1



รูปที่ 5.5 การบิดเบี้ยวของวงรอบด้านในของสเตเตอร์ขณะที่โรเตอร์หมุนเมื่อพิจารณาร่องโรเตอร์แบบที่ 1

จากรูปที่ 5.5 ซึ่งแสดงผลลัพธ์ของการกระจัดที่ครอบคลุมตลอดทั้งวงรอบด้านในของสเตเตอร์เมื่อโรเตอร์หมุนจนครบ 1 รอบ เมื่อใช้ร่องโรเตอร์แบบที่ 1 โดยเส้นประแสดงถึงการกระจัดที่ผิดรูปไปด้วยอัตราขยาย  $10^3$  เท่า จากตำแหน่งปกติซึ่งแทนด้วยเส้นทึบ การพิจารณาขนาดของการสั่นสะเทือนจะพิจารณาจากค่าเฉลี่ยของผลรวมขนาดของการกระจัดในแนวรัศมี ตลอดทั้งวงรอบด้านในของสเตเตอร์ที่บิดเบี้ยวไปจากเดิมเมื่อโรเตอร์หมุนครบ 1 รอบ ซึ่งเมื่อพิจารณาร่องโรเตอร์แบบที่ 1 นี้ จะได้ขนาดของการกระจัดเฉลี่ยมีค่าเท่ากับ  $6.3845 \times 10^{-8}$  mm ตามลำดับ ส่วนผลลัพธ์ในการแสดง

ค่าการสั่นสะเทือนของมอเตอร์เมื่อใช้ร็องโรเตอร์แบบที่ 2 - แบบที่ 7 จะปรากฏการบิดเบี้ยวของวงรอบค่านในสเตเตอร์ มีรูปร่างของการบิดเบี้ยวใกล้เคียงกับเมื่อใช้ร็องโรเตอร์แบบที่ 1 โดยจะมีความแตกต่างกันเพียงเล็กน้อยเท่านั้น ซึ่งค่าการกระจัดเฉลี่ยของร็องโรเตอร์ทั้ง 7 แบบที่ได้จากการบิดเบี้ยวไปของสเตเตอร์แสดงได้ดังตารางที่ 5.2 ซึ่งจากตารางที่ 5.2 ค่าการกระจัดเฉลี่ยเมื่อพิจารณาร็องโรเตอร์ทั้ง 7 แบบมีค่าไม่แตกต่างกันมากนัก โดยร็องโรเตอร์แบบที่ 7 มีค่าการกระจัดเฉลี่ยต่ำที่สุด ส่วนร็องโรเตอร์แบบที่ 4 มีค่าการกระจัดเฉลี่ยสูงที่สุด ซึ่งจะสังเกตเห็นว่า ค่าการกระจัดเฉลี่ยของร็องโรเตอร์ทั้ง 7 แบบ จะมีความสอดคล้องกับค่า THD ในตารางที่ 5.1 ทุกประการ โดยการสั่นสะเทือนซึ่งแสดงอยู่ในรูปของการกระจัดจะมีค่าน้อย เมื่อปริมาณของฮาร์มอนิกซึ่งแสดงอยู่ในรูปของค่า THD มีค่าน้อยด้วยเช่นกัน

ตารางที่ 5.2 ขนาดของการสั่นสะเทือนในมอเตอร์เมื่อพิจารณาร็องโรเตอร์ทั้ง 7 แบบ

ร็องโรเตอร์	การกระจัดเฉลี่ย ( $\times 10^{-3}$ mm)
แบบที่ 1	6.3845
แบบที่ 2	6.4125
แบบที่ 3	6.2347
แบบที่ 4	6.4305
แบบที่ 5	6.4036
แบบที่ 6	6.1982
แบบที่ 7	6.1747

### 5.3 อภิปรายและสรุป

ผลที่ปรากฏในตารางที่ 5.1 ซึ่งเป็นการแสดงค่า THD ของแรงแม่เหล็กไฟฟ้า ประกอบกับตารางที่ 5.2 ซึ่งเป็นการแสดงขนาดของการสั่นสะเทือนในมอเตอร์เมื่อพิจารณาร็องโรเตอร์ทั้ง 7 แบบ เป็นข้อยืนยันได้ว่าค่า THD ที่ใช้ระบุปริมาณฮาร์มอนิกของแรงแม่เหล็กไฟฟ้าจะแปรผันโดยตรงกับขนาดของการสั่นสะเทือน โดยขนาดของการสั่นสะเทือนของร็องโรเตอร์ทั้ง 7 แบบ ตามมาตรฐาน IEEE ที่แสดงด้วยรูปที่ 5.1 เมื่อเรียงตามลำดับจากน้อยไปมาก แสดงได้ดังตารางที่ 5.3

ตารางที่ 5.3 อันดับขนาดของการสั้นสะเทือนในมอเตอร์เมื่อพิจารณาร่องโรเตอร์ทั้ง 7 แบบ

อันดับ	รูปร่างร่องโรเตอร์
1	แบบที่ 7
2	แบบที่ 6
3	แบบที่ 3
4	แบบที่ 1
5	แบบที่ 5
6	แบบที่ 2
7	แบบที่ 4

หมายเหตุ: อันดับ 1 คือขนาดของการสั้นสะเทือนในมอเตอร์มีค่าน้อยที่สุด

จากตารางที่ 5.3 ร่องโรเตอร์แบบที่ 7 จะมีขนาดของการสั้นสะเทือนน้อยที่สุดโดยมีค่าการกระจัดเฉลี่ยเท่ากับ  $6.1747 \times 10^{-8}$  mm ส่วนร่องโรเตอร์แบบที่ 4 จะมีขนาดของการสั้นสะเทือนมากที่สุดโดยมีค่าการกระจัดเฉลี่ยเท่ากับ  $6.4305 \times 10^{-8}$  mm หรือคิดเป็นร้อยละ 3.98 ของขนาดการสั้นสะเทือนที่แตกต่างกัน ซึ่งถือได้ว่าร่องโรเตอร์ทั้ง 7 แบบ มีค่าการสั้นสะเทือนที่ไม่แตกต่างกันมากนัก ทั้งนี้เนื่องจากร่องโรเตอร์ทั้ง 7 แบบ ถูกกำหนดให้มีพื้นที่หน้าตัดที่เท่ากัน ประกอบกับวัสดุที่ใช้ทำแท่งตัวนำโรเตอร์เป็นชนิดเดียวกัน ดังนั้นค่าการสั้นสะเทือนในมอเตอร์ของงานวิจัยนี้ ซึ่งขึ้นอยู่กับขนาด รูปร่าง และชนิดของวัสดุที่ใช้ทำแท่งตัวนำ จึงมีลักษณะสมบัติที่ใกล้เคียงกัน โดยจะขึ้นอยู่กับความลึกของร่องโรเตอร์ที่ใช้วางแท่งตัวนำเป็นส่วนหลัก ซึ่งเมื่อพิจารณารูปร่างของร่องโรเตอร์ทั้ง 7 แบบ ที่แสดงในรูปที่ 5.1 จะสังเกตเห็นว่า ร่องโรเตอร์แบบที่ 7 ซึ่งมีความลึกของร่องโรเตอร์ตื้นที่สุด ก็จะมีขนาดของการสั้นสะเทือนต่ำที่สุด และร่องโรเตอร์แบบที่ 4 ซึ่งมีความลึกของร่องโรเตอร์ลึกที่สุด ก็จะมีขนาดของการสั้นสะเทือนสูงที่สุดเช่นกัน ส่วนร่องโรเตอร์แบบอื่นๆ ความลึกของร่องโรเตอร์ต่างก็แปรผันโดยตรงกับขนาดของการสั้นสะเทือน ที่เป็นเช่นนี้เพราะโรเตอร์ที่มีร่องลึกจะมีโอกาสเกิดเส้นแรงแม่เหล็กรั่ว (flux linkage) หรือรีแอกแตนซ์ซึ่งเป็นตัวการทำให้เกิดการสั้นสะเทือนในปริมาณที่สูงกว่าร่องโรเตอร์แบบตื้น ซึ่งเส้นแรงแม่เหล็กรั่วนี้จะส่งผลให้แรงแม่เหล็กไฟฟ้าที่กระทำกับช่องอากาศของมอเตอร์มีขนาดและฮาร์มอนิกที่สูงขึ้น จึงทำให้ขนาดของการสั้นสะเทือนมีค่าสูงขึ้นตาม แต่การสั้นสะเทือนเมื่อพิจารณาร่องโรเตอร์แบบต่างๆ ไม่ได้มีแค่ปัจจัยหลักเพียงความลึกของร่องอย่างเดียวเท่านั้น ยังมีปัจจัยทางด้านรูปทรงเรขาคณิตของร่องประกอบด้วย ซึ่งปัจจัยทางด้านรูปทรงเรขาคณิตอาจมีผลต่อการสั้นน้อยกว่าปัจจัยทางด้านความลึกมาก ทั้งนี้เนื่องจากข้อจำกัดทางด้านพื้นที่หน้าตัดที่เท่ากันในแต่ละร่อง

ในบทที่ 5 นี้ ได้ดำเนินการศึกษาผลของการสั่นสะเทือนทางกลในมอเตอร์ พร้อมแสดงผลและอภิปรายผลของร่องโรเตอร์ทั้ง 7 แบบ ตามมาตรฐาน IEEE ดังแสดงในรูปที่ 5.1 โดยมีวัตถุประสงค์เพื่อเปรียบเทียบขนาดของการสั่นสะเทือนเมื่อพิจารณารูปร่างร่องโรเตอร์แบบต่างๆ ที่มีเกณฑ์ขนาดพื้นที่หน้าตัดของร่องโรเตอร์มีค่าเท่ากัน โดยเมื่อเลือกใช้ร่องโรเตอร์แบบที่ 7 ที่ปรากฏในงานวิจัยนี้ จะได้ขนาดของการสั่นสะเทือนมีค่าต่ำที่สุด

## บทที่ 6

### สรุปและข้อเสนอแนะ

#### 6.1 สรุป

งานวิจัยนี้ ได้นำเสนอแบบจำลองทางคณิตศาสตร์และการจำลองผลสนามแม่เหล็กและการสั้นสะท้อนทางกลในมอเตอร์เหนี่ยวนำสามเฟสชนิดกรงกระรอก เพื่อเปรียบเทียบขนาดของการสั้นสะท้อนเมื่อพิจารณารูปร่างร่องโรเตอร์แบบต่างๆ ตามมาตรฐาน IEEE ของมอเตอร์พิกัด 3 แรงม้า การจำลองผลได้ใช้วิธีไฟไนต์เอลิเมนต์แบบ 2 มิติ ร่วมกับกระบวนการนิวตัน-ราฟสันเป็นเครื่องมือสำหรับแก้ปัญหาไม่เชิงเส้นที่มีการเปลี่ยนแปลงตามเวลา ประกอบกับวัสดุที่ใช้ทำมอเตอร์มีความไม่เป็นเชิงเส้นสูง เพื่อศึกษาถึงแรงแม่เหล็กไฟฟ้าที่เป็นแรงภายนอกมากระทำกับมอเตอร์ให้เกิดการสั้นสะท้อน การประดิษฐ์ไฟไนต์เอลิเมนต์ขึ้นเป็นโปรแกรมคอมพิวเตอร์ใช้ภาษาการโปรแกรม BORLAND C++ โดยรับค่าอินพุตจากโปรแกรมการสร้างกริดอัตโนมัติที่พัฒนาขึ้นด้วย MATLAB พร้อมแสดงผลด้วยภาพกราฟฟิกต่างๆ ที่แสดงให้เห็นถึงคุณลักษณะทางไฟฟ้าและทางกลของมอเตอร์ เพื่อง่ายต่อการวิเคราะห์ผล

การทำความเข้าใจถึงสนามแม่เหล็กที่ไม่เป็นเชิงเส้นและมีการเปลี่ยนแปลงตามเวลาในมอเตอร์ค่อนข้างทำได้ยาก จึงต้องพึ่งพาแบบจำลองทางคณิตศาสตร์ของสนามแม่เหล็กในมอเตอร์และประยุกต์ไฟไนต์เอลิเมนต์เพื่อใช้ในการจำลองผล ซึ่งรายละเอียดดังกล่าวได้อธิบายไว้ในบทที่ 2 ของงานวิจัย ส่วนการคำนวณขนาดของการสั้นสะท้อนในมอเตอร์ในรูปของการกระจัดที่ครอบคลุมตลอดทั้งพื้นที่หน้าตัดของมอเตอร์ต้องอาศัยการคำนวณที่มีความซับซ้อนสูง ทำให้ต้องพึ่งพาแบบจำลองทางคณิตศาสตร์และการจำลองผลด้วยการประยุกต์ใช้ไฟไนต์เอลิเมนต์เช่นกัน แบบจำลองทางคณิตศาสตร์ของการสั้นสะท้อนในมอเตอร์ และขั้นตอนต่างๆ ในการประยุกต์ใช้ไฟไนต์เอลิเมนต์เพื่อคำนวณหาค่าการสั้นสะท้อนดังกล่าว ได้แสดงรายละเอียดไว้ในบทที่ 3 เนื้อหาในบทที่ 4 นำเสนอการอธิบายโครงสร้างของโปรแกรมเพื่อใช้จำลองผลสนามแม่เหล็กและจำลองผล การสั้นสะท้อน ตลอดจนโปรแกรมการสร้างกริดอัตโนมัติ การดำเนินงานในบทที่ 5 เป็นการศึกษาและวิเคราะห์ผลลัพธ์ทางไฟฟ้าและทางกลที่ได้จากการจำลองผลสนามแม่เหล็กและการสั้นสะท้อนในมอเตอร์ เมื่อพิจารณารูปร่างร่องโรเตอร์ทั้ง 7 แบบตามมาตรฐาน IEEE ดังที่แสดงไว้ในรูปที่ 5.1 โดยพิจารณาแหล่งจ่ายรูปคลื่นไซน์อันเป็นแหล่งจ่ายพื้นฐาน และมีเกณฑซ์ขนาดพื้นที่หน้าตัดของร่องโรเตอร์ที่เท่ากันเป็นข้อกำหนดในการพิจารณา

การเปรียบเทียบขนาดของการสั้นสะท้อนทางกลในมอเตอร์เมื่อพิจารณารูปร่างร่องโรเตอร์ทั้ง 7 แบบโดยเรียงตามลำดับจากน้อยไปมากปรากฏผลดังนี้ ร่องโรเตอร์แบบที่ 7, ร่องโรเตอร์แบบที่ 6,



ร่องโรเตอร์แบบที่ 3, ร่องโรเตอร์แบบที่ 1, ร่องโรเตอร์แบบที่ 5, ร่องโรเตอร์แบบที่ 2 และร่องโรเตอร์แบบที่ 4 โดยร่องโรเตอร์แบบที่ 7 จะมีขนาดของการสันสะท้อนน้อยที่สุด หรืออาจสังเกตได้จากการพิจารณาปริมาณของฮาร์มอนิกที่เป็นตัวแทนสำหรับวัดค่าความราบเรียบในการกระจายตัวของแรงแม่เหล็กไฟฟ้าอันเป็นตัวแทนสำคัญที่ทำให้เกิดการสันสะท้อนในมอเตอร์ ซึ่งร่องโรเตอร์แบบที่ 7 ได้ปรากฏปริมาณของฮาร์มอนิกมีค่าต่ำที่สุดสอดคล้องกับขนาดของการสันสะท้อนที่มีค่าต่ำที่สุดเช่นกัน และเมื่อพิจารณารูปร่างร่องโรเตอร์แบบต่างๆ ทั้ง 7 แบบที่มีผลต่อการสันสะท้อน จึงอาจสรุปได้ว่า ขนาดของการสันสะท้อนจะมีค่าลดลงเมื่อเลือกใช้ร่องโรเตอร์ที่ถี่ขึ้น แต่การสันสะท้อนเมื่อพิจารณารูปร่างร่องโรเตอร์นั้นไม่ได้มีแค่ปัจจัยหลักเพียงความลึกของร่องอย่างเดียวเท่านั้น ยังมีปัจจัยทางด้านรูปทรงเรขาคณิตของร่องประกอบด้วย ซึ่งปัจจัยทางด้านรูปทรงเรขาคณิตอาจส่งผลกระทบต่อ การสันสะท้อนน้อยกว่าปัจจัยทางด้านความลึก ทั้งนี้อาจมีเหตุผลเนื่องจากข้อกำหนดความต้องการด้านพื้นที่หน้าตัดที่ต้องเท่ากันของร่องแต่ละแบบ และวัสดุที่ใช้ทำแท่งตัวนำโรเตอร์เป็นชนิดเดียวกัน ดังนั้นในการพิจารณาร่องโรเตอร์สำหรับลดการสันสะท้อนทางกลในมอเตอร์ จึงต้องคำนึงถึงความลึกของร่องซึ่งเป็นปัจจัยหลัก ควบคู่ไปกับปัจจัยทางด้านรูปทรงเรขาคณิตของร่อง

## 6.2 ข้อเสนอแนะงานวิจัยในอนาคต

1. ปรับปรุงโปรแกรมการสร้างกริดอัตโนมัติให้มีความยืดหยุ่นและมีประสิทธิภาพสูงขึ้น และปรับปรุงโปรแกรมไฟไนต์อิลิเมนต์ที่ใช้ในการจำลองผลให้ประมวลผลได้รวดเร็วยิ่งขึ้น การคำนวณอาจต้องพึ่งพาคอมพิวเตอร์สมรรถนะสูงหรือการประมวลผลแบบขนาน

2. นำลักษณะการมีความสมมาตรของรูปทรงมอเตอร์มาร่วมพิจารณา ซึ่งอาจใช้การประมวลผลโดยวิธีไฟไนต์อิลิเมนต์เพียง 1/4 ของรูปทรงกลมของมอเตอร์ จึงสามารถประหยัดเวลาและหน่วยความจำของคอมพิวเตอร์ในการจำลองผลลงไปได้มาก

3. นำวิธีผลต่างสืบเนื่อง (finite difference method) หรือวิธีอิลิเมนต์ขอบ (boundary element method) มาแก้ปัญหาของงานวิจัยแทนวิธีไฟไนต์อิลิเมนต์ที่ดำเนินการอยู่ ซึ่งมีขั้นตอนการคำนวณงานค่อนข้างยุ่งยาก ซับซ้อน โดยวิธีการที่จะนำมาทดแทนดังกล่าว มีการคำนวณที่ไม่ยุ่งยาก และใช้เวลาในการประมวลผลเร็ว รวมถึงมีความสะดวกในการเขียน โปรแกรมคอมพิวเตอร์ แต่อาจมีข้อจำกัดในกรณีที่ปัญหาที่มีความไม่เป็นเชิงเส้นสูง ดังนั้นจึงต้องพัฒนาวิธีการดังกล่าวนี้ให้รองรับปัญหาในลักษณะเช่นนี้ด้วย

4. พัฒนาไฟไนต์อิลิเมนต์เป็นแบบ 3 มิติ จากแบบ 2 มิติที่ปรากฏแล้วในงานวิจัยนี้ เพื่อให้ผลลัพธ์ที่ได้มีความถูกต้อง ละเอียด และแม่นยำมากยิ่งขึ้น ทั้งนี้เนื่องจากการพิจารณาไฟไนต์อิลิเมนต์แบบ 3 มิติ สามารถหลีกเลี่ยงข้อจำกัดบางอย่างในการพิจารณาปัญหาในแบบไฟไนต์

อิลิเมนต์ 2 มิติ อาทิเช่น ผลกระทบต่างๆ ที่เกิดจากความหนาของมอเตอร์ และผลของร่องเฉียงที่ควร  
ใช้ไฟไนท์อิลิเมนต์แบบ 3 มิติในการพิจารณา เป็นต้น

## บรรณานุกรม

- เฉลิมพล น้ำค้าง. (2538). ทฤษฎีสนามไฟฟ้าและสนามแม่เหล็ก (พิมพ์ครั้งที่ 4). กรุงเทพฯ: ศูนย์สื่อเสริมกรุงเทพ.
- ถาวร อมตกิตติ. (2545). มอเตอร์ประสิทธิภาพสูง. ไฟฟ้าและอุตสาหกรรม. 1 (3): 27-36.
- ปราโมทย์ เฉชะอำไพ. (2542). ไฟไนต์เอลิเมนต์ในงานวิศวกรรม (พิมพ์ครั้งที่ 2). กรุงเทพฯ: จุฬาลงกรณ์มหาวิทยาลัย.
- ปราโมทย์ เฉชะอำไพ. (2544). ระเบียบวิธีเชิงตัวเลขในงานวิศวกรรม (พิมพ์ครั้งที่ 3). กรุงเทพฯ: จุฬาลงกรณ์มหาวิทยาลัย.
- พีรศักดิ์ วรสุนทรโรสด และ มาบุญชี มาการิชาวา. (2538). เทคนิคการซ่อมแซมเลือกประเภทและติดตั้งมอเตอร์เหนี่ยวนำ. กรุงเทพฯ: ซีเอ็ดดูเคชั่น.
- Alger, P. L. (1970). Induction machines: their behavior and uses (2nd ed.). New York:Gordon and Breach Publishers.
- Bickford, W. B. (1994). A first course in the finite element method (2nd ed.). USA: IRWIN.
- Berman, M. (1993). On the reduction of magnetic pull in induction motors with off-centre rotor. Industry Applications Society Annual Meeting, IEEE. 1: 343-350.
- Brunelli, B., Casadei, D., Reggiani, U., and Serra, G. (1983). Transient and steady-state behaviour of solid rotor induction machines. IEEE Transactions on Magnetics. 19 (6): 2650-2654.
- Chapman, S. J. (1998). Electric machinery fundamentals (3rd ed.). Singapore:McGraw-Hill.
- Chari, M. V. K., and Silvester, P. P. (1980). Finite elements in electrical and magnetic field problems. New York: John Wiley & Sons.
- Cochran, P. L. (1989). Polyphase induction motors: analysis, design, and application. New York:Marcel Dekker.
- Davis, J. T., and Bryant, R. A. (1993). NEMA induction motor vibration measurement: a comparison of methods with analysis. Petroleum and Chemical Industry Conference, Industry Applications Society 40th Annual, IEEE. 205-209.
- Demerdash, N. A., and Gillott, D. H. (1974). A new approach for determination of eddy current and flux penetration in nonlinear ferromagnetic materials. IEEE Transactions on Magnetics. 74: 682-685.

- Dorrell, D. G. (1996). Calculation of unbalanced magnetic pull in small cage induction motors with skewed rotors and dynamic rotor eccentricity. IEEE Transactions on Energy Conversion. 11 (3): 483-488.
- Dorrell, D. G., Thomson, W. T., and Roach, S. (1995). Analysis of airgap flux, current and vibration signals as a function of the combination of static and dynamic airgap eccentricity in 3-phase induction motors. Industry Applications Conference, Thirtieth IAS Annual Meeting, IEEE. 1: 563-570.
- Durantay, L., Laurent, F., Messin, Y., and Kromer, V. (1999). Large band reduction of magnetic vibrations of induction machines with "breaking of impedance" interface. Electric Machines and Drives International Conference, IEEE. 475-477.
- Finley, W. R. (1991). Noise in induction motors-causes and treatments. IEEE Transactions on Industry Applications. 27 (6): 1204-1213.
- Finley, W. R., Hodowanec, M. M., and Holter, W. G. (1999). An analytical approach to solving motor vibration problems. Petroleum and Chemical Industry Conference, Industry Applications Society 46th Annual, IEEE. 217-232.
- Fu, W. N. (1999). Electromagnetic field analysis of induction motors by finite element method and its application to phantom loading. Ph.D. Dissertation, Hong Kong Polytechnic University, China.
- George, A., and Liu, J. W. (1981). Computer solution of large sparse linear positive definite systems. Prentice-Hall.
- Guldemir, H. (2003). Detection of airgap eccentricity using line current spectrum of induction motors. Electric Power Systems Research. 64:109-117.
- Hameyer, K., and Belmans, R. (1999). Numerical modelling and design of electrical machines and devices. Southampton, Boston: WIT Press.
- Henneberger, G., Sattler, Ph. K., Hadrys, W., and Shen, D. (1992). Procedure for the numerical computation of mechanical vibrations in electrical machines. IEEE Transactions on Magnetics. 28 (2): 1351-1354.
- Hirotsuka, I., Tsuboi, K., and Ishibashi, F. (1997). Effect of slot-combination on electromagnetic vibration of squirrel-cage induction motor under loaded condition. Power Conversion Conference-Nagaoka, IEEE. 2: 843-848.

- Ho, S. L., Li, H. L., Fu, W. N., and Wong, H. C. (2000). A novel approach to circuit-field-torque coupled time stepping finite element modeling of electric machines. IEEE Transactions on Magnetics. 36 (4): 1886-1889.
- Huebner, K. H., Dewhurst, D. L., Smith, D. E., and Byrom, T. G. (2001). The finite element method for engineers (4th ed.). USA: John Wiley & Sons, Inc.
- Ishibashi, F., Noda, S., and Mochizuki, M. (1998). Numerical simulation of electromagnetic vibration of small induction motors. IEE Proc.-Electr. Power Appl. 145 (6): 1998.
- Ishibashi, F., Kamimoto, K., Noda, S., and Itomi, K. (2003). Small induction motor noise calculation. IEEE Transactions on Energy Conversion. 18 (3): 357-361.
- Kako, F., Tsuruta, T., Nagaishi, K., and Kohmo, H. (1983). Experimental study on magnetic noise of large induction motors. IEEE Transactions on Power Apparatus and Systems. 102 (8): 2805-2810.
- Kenjo, T. (1991). Electric motors and their controls. New York: Oxford University Press.
- Kwon, Y. W., and Bang H. (2000). The finite element method using MATLAB (2nd ed.). Boca Raton: CRC Press.
- Nagwa, M. E., Anthony, R. E., and Graham, E. D. (1992). Detection of broken bars in the cage rotor on an induction machine. IEEE Transactions on Industry Applications. 28 (1): 165-171.
- Preston, T. W., Reece, A. B. J., and Sangha, P. S. (1988). Induction motor analysis by time-stepping techniques. IEEE Transactions on Magnetics. 24 (1): 471-474.
- Rao, J. S., (1999). Dynamics of plates. New Delhi: Narosa Publishing House.
- Sakamoto, S., Hirata, T., Kobayashi, T., and Kajiwara, K. (1999). Vibration analysis considering higher harmonics of electromagnetic forces for rotating electric machines. IEEE Transactions on Magnetics. 35 (3): 1662-1665.
- Salon, S. J. (1995). Finite element analysis of electrical machines. USA: Kluwer Academic Publishers.
- Shen, L. C., and Kong, J. A. (1995). Applied electromagnetism (3rd ed.). Boston: PWS Publishing Company.
- Silvester, P. P., and Ferrari, R. L. (1996). Finite elements for electrical engineers (3rd ed.). New York: Cambridge University Press.

- Tarnhuvud, T., and Reichert, K. (1988). Accuracy problems of force and torque calculation in FE-systems. IEEE Transactions on Magnetics. 24 (1): 443-446.
- Timar, P. L., Fazekas, A., Kiss, J., Miklos, A., and Yang, S. J. (1989). Noise and vibration of electrical machines. Hungary: Elsevier Science Publishers.
- Vassent, E., Meunier, G., and Foggia, A. (1991). Simulation of induction machines-using complex magnetodynamic finite element method coupled with the circuit equations. IEEE Transactions on Magnetics. 27 (5): 4246-4249.
- Verma, S. P., and Balan, A. (1994). Determination of radial-forces in relation to noise and vibration problems of squirrel-cage induction motors. IEEE Transactions on Energy Conversion. 9 (2): 404-412.
- Wang, C., and Lai, J. C. S. (1999). Vibration analysis of an induction motor. Journal of Sound and Vibration. 224(4): 733-756.
- William, H. H., Jr. (1989). Engineering electromagnetics (5th ed.). Singapore: McGraw-Hill.
- Yang, S. J. (1981). Low-noise electrical motors. New York: Oxford University Press.

## ภาคผนวก

### การเผยแพร่ผลงานวิจัย

#### รายชื่อบทความวิจัยที่ได้รับการตีพิมพ์ในการประชุมวิชาการนานาชาติ

1. P. Pao-la-or, T. Kulworawanichpong, S. Sujitjorn, and S. Peaiyoung, "Computation of Flux and Electromagnetic Force Distributions in Induction Motors", Proc. the 5<sup>th</sup> WSEAS/IASME International Conference on Electric Power Systems, High Voltages, Electric Machines (POWER'05). Tenerife, Spain, December 16-18, 2005, pp. 110-117.

#### รายชื่อบทความวิจัยที่ได้รับการตีพิมพ์ในวารสารวิชาการนานาชาติ

1. P. Pao-la-or, T. Kulworawanichpong, S. Sujitjorn, and S. Peaiyoung, "Distributions of Flux and Electromagnetic Force in Induction Motors: A Finite Element Approach", WSEAS Transactions on Systems, No. 3, Vol. 5, 2006, pp. 617-624.

#### รายการจดลิขสิทธิ์

1. สราวุฒิ สุจิตจร, ธนัชชัย กุลวรรวณิชพงษ์ และ เผด็จ เผ่าละออ "โปรแกรมคำนวณสนามแม่เหล็กโดยวิธีไฟไนท์อีลิเมนต์สำหรับโรเตอร์หมุนของมอเตอร์เหนี่ยวนำสามเฟส (ภาษา C)", 28 ตุลาคม 2548, เลขที่คำขอ 111580.

2. สราวุฒิ สุจิตจร, ธนัชชัย กุลวรรวณิชพงษ์ และ เผด็จ เผ่าละออ "โปรแกรมคำนวณการสั่นสะเทือนโดยวิธีไฟไนท์อีลิเมนต์สำหรับโรเตอร์หมุนของมอเตอร์เหนี่ยวนำสามเฟส (ภาษา C)", 28 ตุลาคม 2548, เลขที่คำขอ 111581.

3. สราวุฒิ สุจิตจร, ธนัชชัย กุลวรรวณิชพงษ์ และ เผด็จ เผ่าละออ "โปรแกรมสร้างกริดอัตโนมัติสำหรับโรเตอร์หมุนของมอเตอร์เหนี่ยวนำสามเฟส (MATLAB)", 28 ตุลาคม 2548, เลขที่คำขอ 111582.

#### รายการจดสิทธิบัตร

1. สราวุฒิ สุจิตจร, สมโภชน์ ผิวเหลือง, ธนัชชัย กุลวรรวณิชพงษ์ และ เผด็จ เผ่าละออ "รูปร่างร่องโรเตอร์ที่ลดการสั่นสะเทือนของมอเตอร์เหนี่ยวนำสามเฟส", 15 พฤศจิกายน 2548, เลขที่คำขอ 106156.

## ประวัติผู้วิจัย

นาวาอากาศโท ดร.สรารุฒิ สุจิตจร เป็นศาสตราจารย์ประจำสาขาวิชาวิศวกรรมไฟฟ้า สำนักวิชาวิศวกรรมศาสตร์ มหาวิทยาลัยเทคโนโลยีสุรนารี สำเร็จการศึกษาปริญญาตรีจากโรงเรียนนายเรืออากาศ และปริญญาเอกจาก University of Birmingham ประเทศอังกฤษ ดำเนินงานวิจัยด้าน Modelling, Identification, Control, Applied AI และ Signal Processing นอกจากนี้ยังมีความชำนาญด้านเครื่องสายไทยและการฝึกสุนัข มีผลงานวิจัยตีพิมพ์ระดับชาติและนานาชาติมากกว่า 80 เรื่อง ตำรา 2 เล่ม CAI 2 ชุด จดสิทธิบัตรการประดิษฐ์ 5 ผลงาน และลิขสิทธิ์โปรแกรม 4 ผลงาน

นายเผด็จ เผ่าละออ เกิดเมื่อวันที่ 1 สิงหาคม พ.ศ.2519 เกิดที่อำเภอเมือง จังหวัดนครราชสีมา สำเร็จการศึกษาระดับปริญญาตรีวิศวกรรมศาสตรบัณฑิต (วิศวกรรมไฟฟ้า) จากมหาวิทยาลัยเทคโนโลยีสุรนารี จังหวัดนครราชสีมา เมื่อ พ.ศ.2541 ภายหลังสำเร็จการศึกษาได้เข้าทำงานในตำแหน่งผู้ช่วยสอนและวิจัย สาขาวิชาวิศวกรรมไฟฟ้า สำนักวิชาวิศวกรรมศาสตร์ มหาวิทยาลัยเทคโนโลยีสุรนารี เป็นเวลา 1 ปี และสำเร็จการศึกษาระดับปริญญาโทวิศวกรรมศาสตรมหาบัณฑิต (วิศวกรรมไฟฟ้า) จากมหาวิทยาลัยเทคโนโลยีสุรนารี เมื่อ พ.ศ.2545 โดยขณะกำลังศึกษาระดับปริญญาโทได้รับทุนอุดหนุนวิจัยทางด้านการอนุรักษ์พลังงานจากทางมหาวิทยาลัย และในปีเดียวกันนี้ ได้เข้าศึกษาต่อในระดับปริญญาเอก สาขาวิชาวิศวกรรมไฟฟ้า มหาวิทยาลัยเทคโนโลยีสุรนารี โดยรับทุนตาม โครงการพัฒนาอาจารย์วิทยาเขตสารสนเทศ ตามความต้องการของ มหาวิทยาลัยเทคโนโลยีสุรนารี โดยระหว่างศึกษาได้เป็นอาจารย์พิเศษที่สาขาวิชาวิศวกรรมไฟฟ้า มหาวิทยาลัยเทคโนโลยีสุรนารี